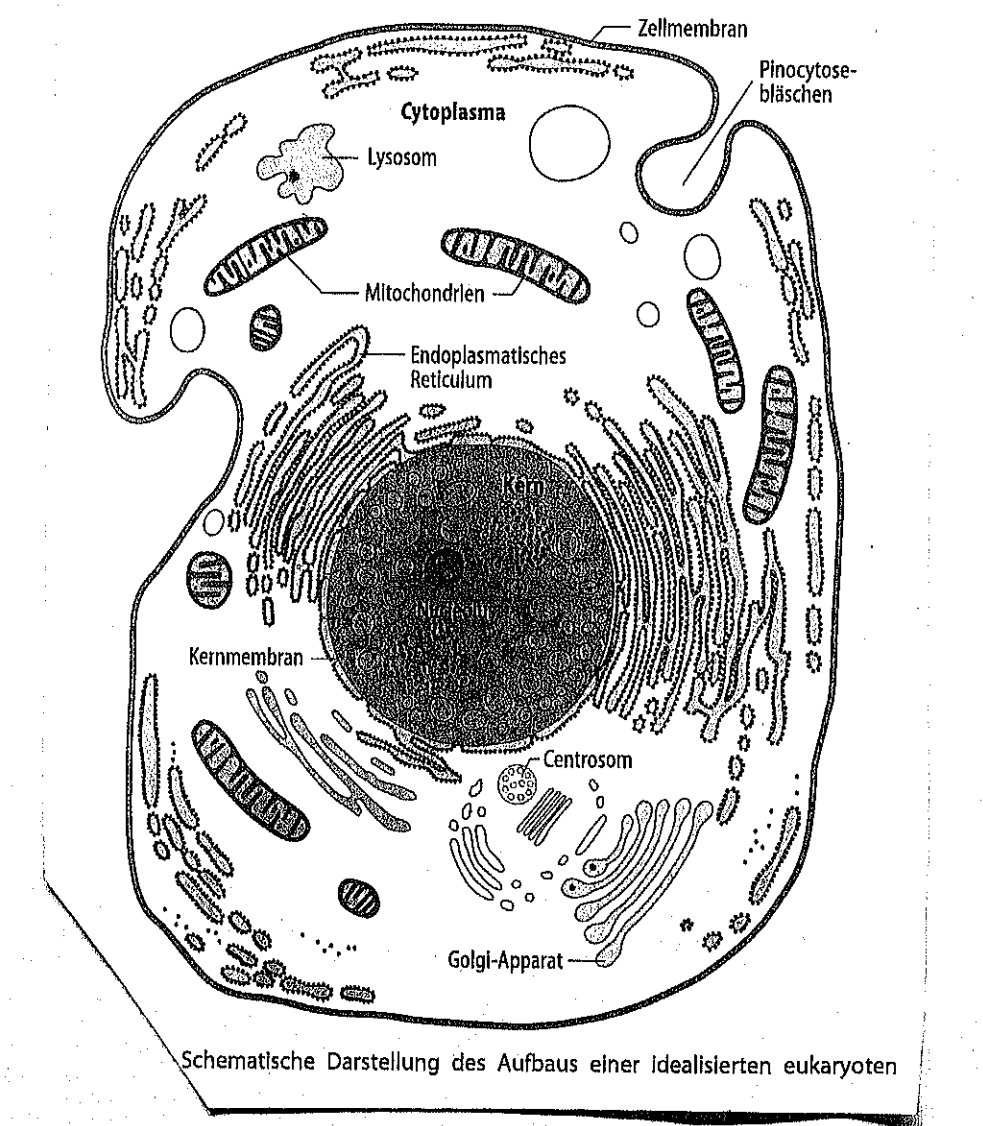


Wichtige intrazelluläre Organellen und Kompartimente

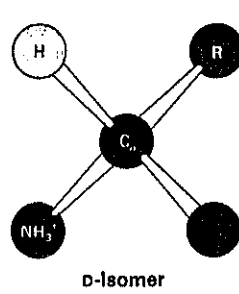
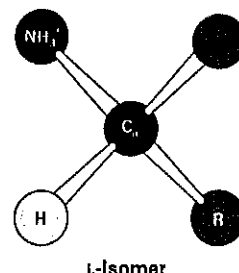
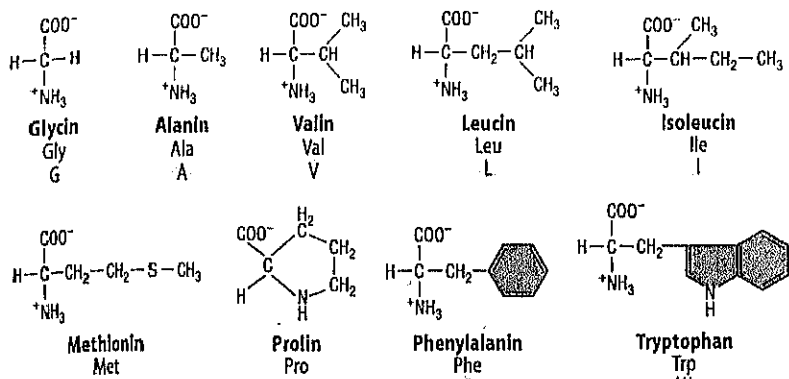
| Kompartiment | Funktion (Auswahl) |
|-------------------------------------|--|
| Zellkern | Informationsspeicherung und Verdopplung bei Zellteilung (Replikation) |
| Mitochondrien | β-Oxidation der Fettsäuren Citratzyklus |
| Peroxisomen | Energiekonserverung durch Atmungskette und oxidative Phosphorylierung |
| Lysosomen | Stoffwechsel von Peroxisiden Intrazelluläre Degradation vieler Makromoleküle |
| Glattes endoplasmatisches Retikulum | Membransynthese Blottransformation |
| Rauhes endoplasmatisches Retikulum | Biosynthese von Membran- und Sekretproteinen Proteinglycosylierung |
| Golgi-Apparat | Reifung von Glycoproteinen Synthese von Lysosomen, Peroxisomen u.a. Vesikeltransport |

| Hierarchischer Aufbau des Organismus | | |
|--------------------------------------|---|--|
| Struktur | Beispiel | Funktion |
| Organe und Gewebe | Leber, Nieren, Muskulatur u.a. | Spezifische Funktionen im Organismus |
| Zellen | Hepatocyten, Epithelzellen, Ganglionzellen u.a. | Kleinste Funktionseinheiten von Organen und Geweben |
| Subzelluläre Organellen | Mitochondrien, Zellkern, Ribosomen u.a. | Zellatmung, Informationsspeicherung, Proteinbiosynthese u.a. |
| Makromoleküle | Proteine, Nucleinsäuren, Homo- und Heteroglycane, Lipide | Aufrechterhaltung von Struktur und Funktion der Zelle |
| Bausteine | Aminosäuren, Nucleotide, Monosaccharide, Fettsäuren, Steroide | Aufbau von Makromolekülen |
| Atome | Wasserstoff (H), Kohlenstoff (C), Sauerstoff (O), Stickstoff (N), Phosphor (P), Schwefel (S) u.a. | Aufbau von Bausteinen |

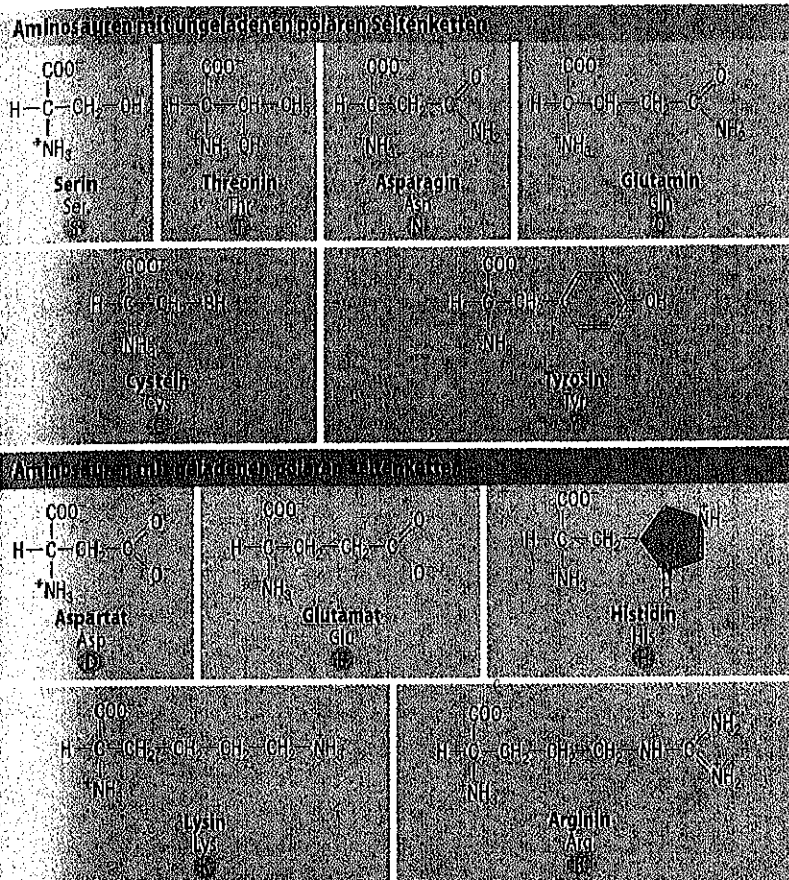


| Aufbau und Funktion von Makromolekülen | | | |
|--|--|---|---|
| Makromolekül | Baustein | Funktion (Auswahl) | Beispiele (Auswahl) |
| Proteine | Polymere aus 20 proteinogenen Aminosäuren in für jedes Protein spezifischer Sequenz | Strukturproteine Enzyme Transportproteine Rezeptoren Immunglobuline | Kollagen, Myosin, Tubulin Dehydrogenasen, Lyasen, Transferasen Ionen-ATPasen, Glucosetransporter Hormonrezeptoren, T-Zellrezeptor Immunglobulin A, G, D, E, M |
| Nukleinsäuren | DNA: Polymere aus 4 Desoxyribonucleotiden spezifischer Sequenz RNA: Polymere aus 4 Ribonucleotiden spezifischer Sequenz | Informations- speicherung und -übertragung | DNA: Informations- speicherung RNA: Informations- übertragung |
| Homoglycane | Polymer aus Glucose | Speichersubstanz | Glycogen |
| Heteroglycane | Saccharide aus 2 bis ca. 15 unterschiedlichen Monosacchariden, an Proteine gebunden | Modifikation der Struktur und Funktion von Glykoproteinen | Glycoproteine |
| Glykosaminoglycane | repetitive Disaccharide aus Aminozuckern und Uronsäuren | Bestandteil der extrazellulären Matrix | Hyaluronsäure, Chondroitinsulfate |
| Lipide | Ester von Fettsäuren mit Glycerin oder Sphingosin, die zusätzlich Phosphate, alkooholische Verbindungen oder Saccharide enthalten können | Aufbau von Membranen; Speichersubstanz | Phospholipide, Sphingolipide, Trilacylglycerine |

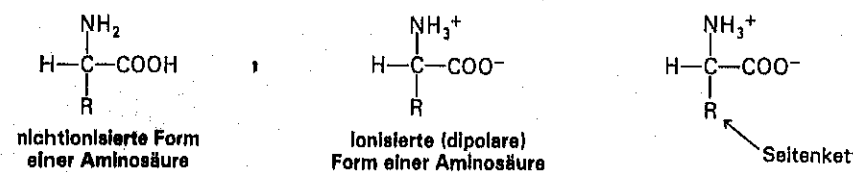
Aminosäuren mit apolaren Seitenketten



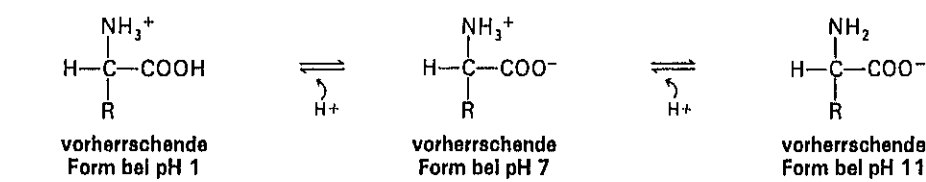
2.7 Absolute Konfiguration der L- und D-Isomere von Aminosäuren. R steht jeweils für die Seitenkette.



Die 20 proteinogenen Aminosäuren. Die Aminosäuren sind nach chemischen Eigenschaften ihrer Seitenketten geordnet. Unter den Formeln stehen jeweils die Trivialnamen sowie 3- und 1-Buchstaben-Abkürzungen.



2.5 Struktur der nichtionisierten und der Zwitterionenform einer Aminosäure.



2.6 Ladungszustand einer Aminosäure in Abhängigkeit vom pH-Wert.

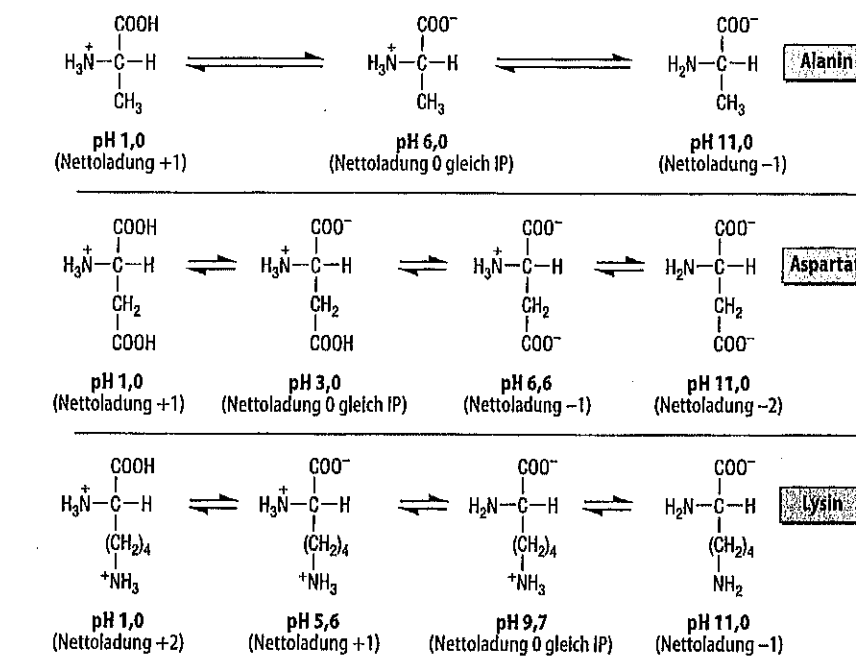


Abb.2.3 Dissoziationsverhalten der Carboxyl- und Aminogruppen von Alanin, Aspartat und Lysin bei verschiedenen pH-Werten

Tabelle 2.2 pK-Werte der funktionellen Gruppen der Aminosäuren Alanin, Aspartat und Lysin mit Berechnung der isolektrischen Punkte (IP)

| | Alanin | Aspartat | Lysin |
|-------------------|----------------------|----------------------|-----------------------|
| pK-Werte | | | |
| α-COOH | 2,35 | 2,09 | 2,18 |
| α-NH ₂ | 9,69 | 9,82 | 8,95 |
| γ-COOH | | 3,86 | |
| ε-NH ₂ | | | 10,53 |
| IP | $2,35 + 9,69 = 6,02$ | $2,09 + 3,86 = 2,97$ | $8,95 + 10,53 = 9,74$ |

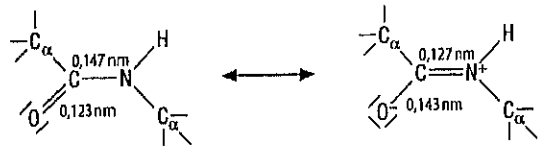


Abb. 3.8 Mesomerie der Peptidbindung. Oben die beiden Grenzstrukturen; unten der mesomere Zwischenzustand mit Transstellung der Peptidbindung (Raster)

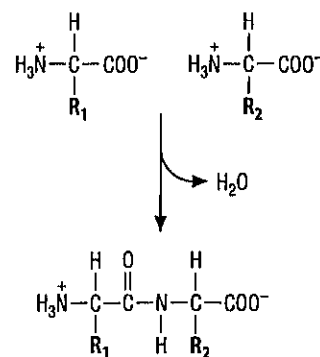


Abb. 3.1 Entstehung der Peptidbindung. Durch Wasserabspaltung zwischen der Carboxylgruppe einer Aminosäure und der Amino- gruppe der folgenden Aminosäure entsteht formal eine Peptidbindung.

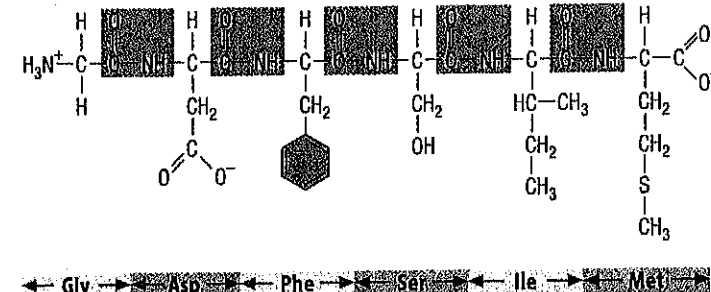
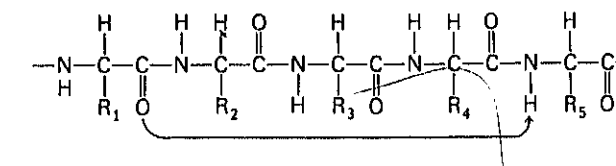
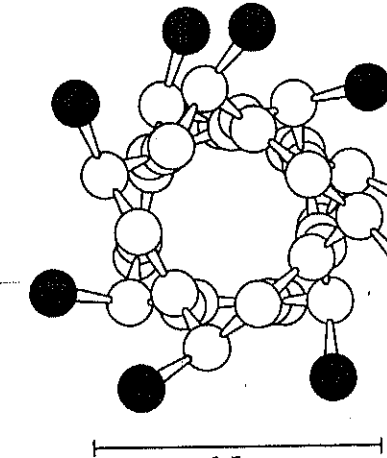


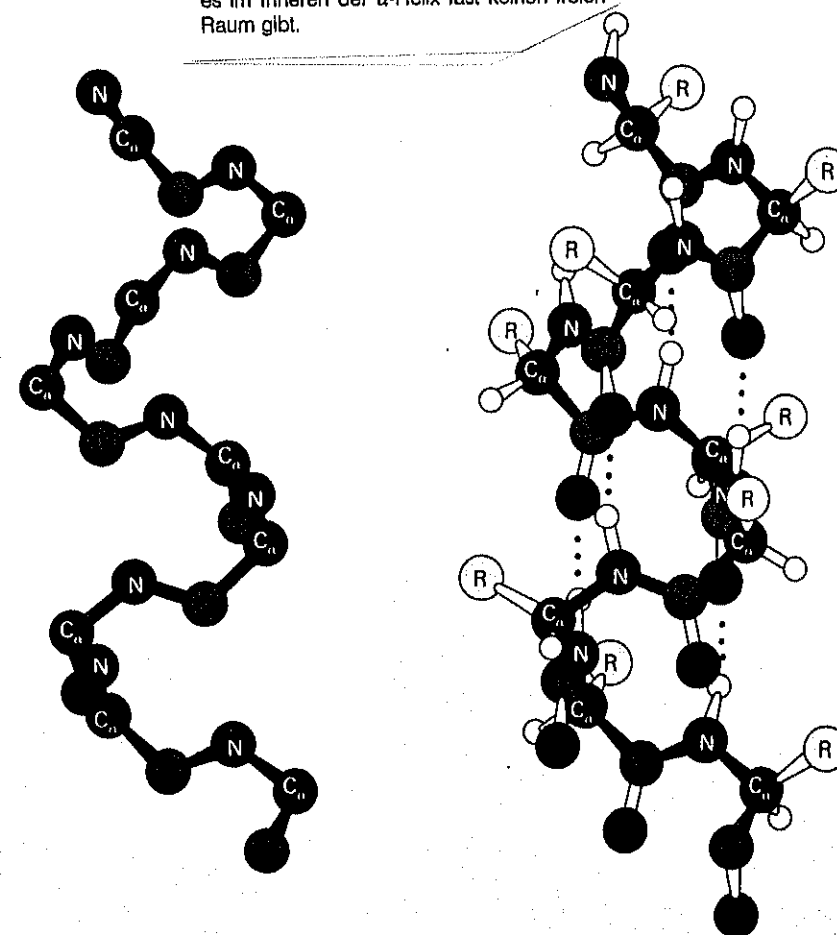
Abb. 3.2 Rückgrat einer Peptidkette. Die einzelnen Peptidbindungen, die das Rückgrat (Hauptkette) eines Peptids bilden, sind rot gerastert, die α -C-Atome gelb und die Aminoseitenketten blau hervorgehoben



2.33 In der α -Helix bildet sich jeweils zwischen der CO-Gruppe des Restes n und der NH-Gruppe des Restes ($n + 4$) eine Wasserstoffbrücke aus.



2.32 Querschnitt durch eine α -Helix. Die Seitenketten (grün) ragen nach außen. Die van-der-Waals-Radien der Atome sind in Wirklichkeit größer als hier dargestellt, so daß es im Inneren der α -Helix fast keinen freien Raum gibt.



2.31 Modell einer rechtsgängigen α -Helix. In A sind nur die α -Kohlenstoffatome auf einem helikalen Faden dargestellt, in B nur die Stickstoffe (N), die α -Kohlenstoffe (C_α) und die Carbonylkohlenstoffe (C) des Rückgrats; C zeigt die gesamte Helix. Wasserstoffbrückenbindungen (in C durch rote Punktierung dargestellt) zwischen NH- und CO-Gruppen stabilisieren die Helix.

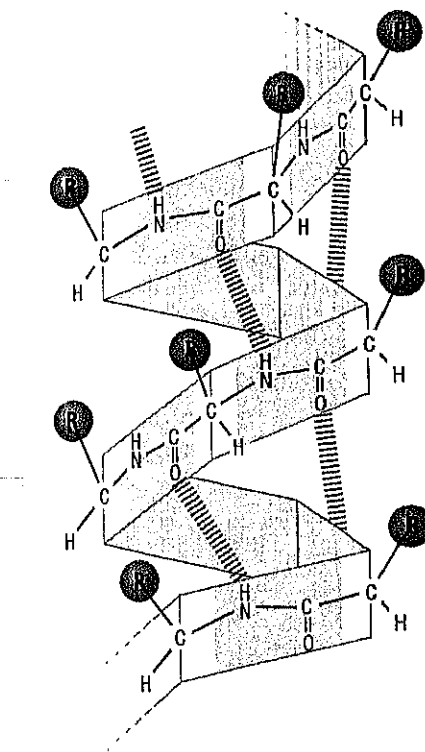
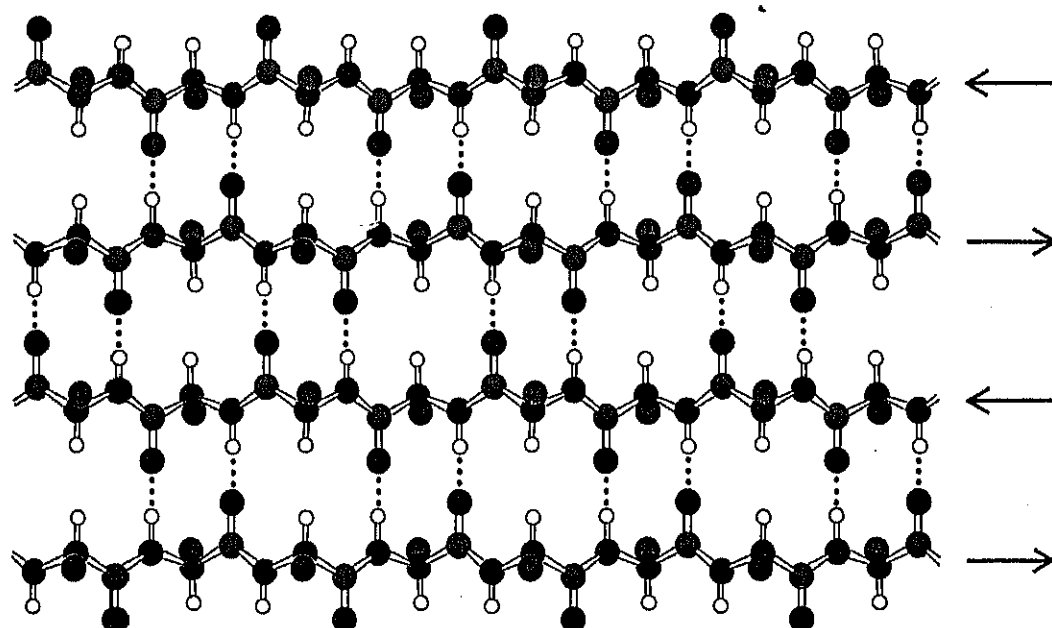


Abb. 3.9 Anordnung einer Polypeptidkette als α -Helix. Die die Helix stabilisierenden Wasserstoff-Brückenbindungen sind blau gestrichelt



2.35 Antiparalleles β -Faltblatt. Benachbarte Stränge laufen in entgegengesetzte Richtungen. Wasserstoffbrücken zwischen NH- und CO-Gruppen von nebeneinanderliegenden Strängen stabilisieren die Struktur. Die Seitenketten (grün) befinden sich über und unter der Faltblatt ebene.

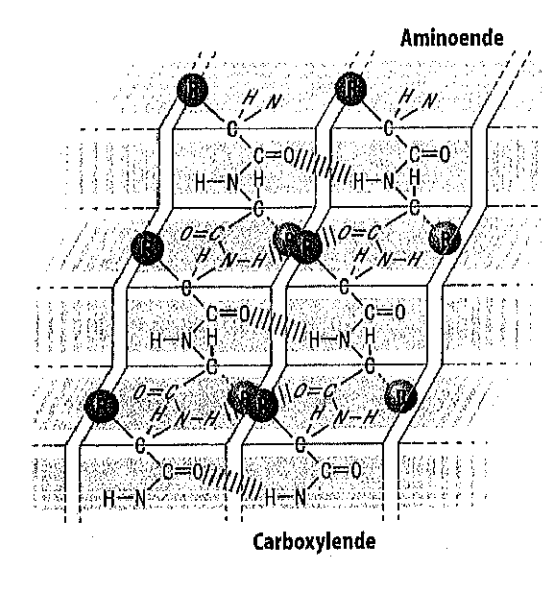
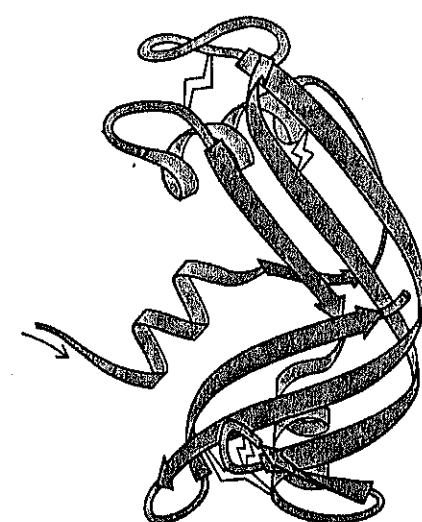


Abb.3.10 Parallele Faltblattanordnung von zwei Polypeptidketten



2.39 Bändermodell der Ribonuclease S. In ihm sind α -Helix-Abschnitte rot dargestellt, β -Faltblatt-Strukturen grün und Disulfidbrücken gelb. (Mit freundlicher Genehmigung von Dr. Jane Richardson.)

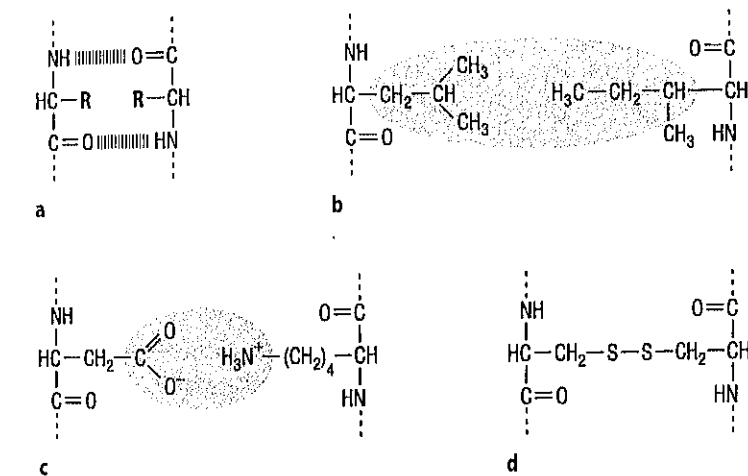


Abb.3.11 a-d Bindungen, die für die Ausbildung der Tertiärstruktur wichtig sind.
a Wasserstoff-Brückenbindungen; b hydrophobe Wechselwirkungen; c Ionenbindungen; d Disulfidbindungen

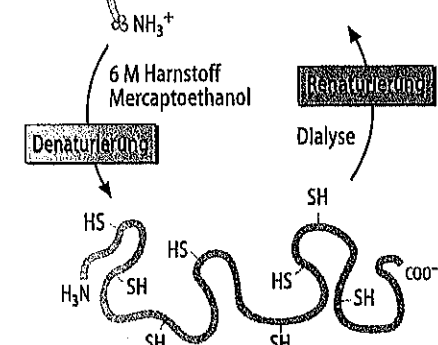
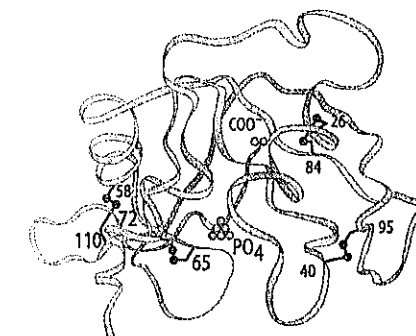
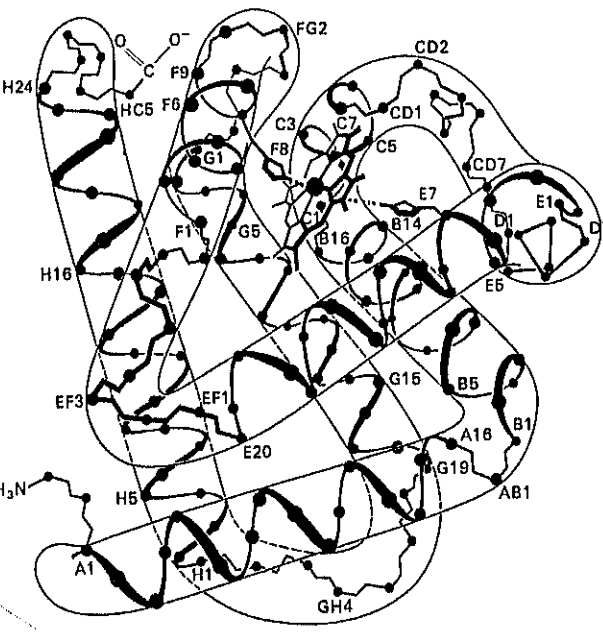


Abb.3.13 Denaturierung und Renaturierung der Ribonuclease aus Pankreas. Das native Enzym mit den vier Disulfidbrücken wird durch Behandlung mit einem Überschuss an Thiolen (z.B. Mercaptoethanol) in Gegenwart hoher Harnstoffkonzentrationen entfaltet und somit denaturiert. Nach Entfernung von Harnstoff und Mercaptoethanol durch Dialyse erreicht das Enzym wieder seine ursprüngliche Aktivität und Raumstruktur. Es ist renaturiert

Val-Leu-Ser-Glu-Gly-Glu-Trp-Gln-Leu-Val-
 N1 A1 A2 A3 A4 A5 A6 A7 A8 10
 Leu-His-Val-Trp-Ala-Lys-Val-Glu-Ala-Asp-
 A9 A10 A11 A12 A13 A14 A15 A16 A17 A18 20
 Val-Ala-Gly-His-Gly-Gln-Asp-Ile-Leu-Ile-
 B2 B3 B4 B5 B6 B7 B8 B9 B10 B11 30
 Arg-Leu-Phe-Lys-Ser-His-Pro-Glu-Thr-Leu-
 B12 B13 B14 B15 B16 C1 C2 C3 C4 C5 40
 Glu-Lys-Phe-Asp-Arg-Phe-Lys-His-Leu-Lys-
 C6 C7 CD1 CD2 CD3 CD4 CD5 CD6 CD7 CD8 50
 Thr-Glu-Ala-Glu-Met-Lys-Ala-Ser-Glu-Asp-
 D1 D2 D3 D4 D5 D6 D7 E1 E2 E3 60
 Leu-Lys-Lys-His-Gly-Val-Thr-Val-Leu-Thr-
 E4 E5 E6 E7 E8 E9 E10 E11 E12 E13 70
 Ala-Leu-Gly-Ala-Ile-Leu-Lys-Lys-Lys-Gly-
 E14 E15 E16 E17 E18 E19 E20 EF1 EF2 EF3 80
 His-His-Glu-Ala-Glu-Leu-Lys-Pro-Leu-Ala-
 EF4 EF5 EF6 EF7 EF8 F1 F2 F3 F4 F5 90
 Gln-Ser-His-Ala-Thr-Lys-His-Lys-Ile-Pro-
 F6 F7 F8 F9 FG1 FG2 FG3 FG4 FG5 G1 100
 Ile-Lys-Tyr-Leu-Glu-Phe-Ile-Ser-Glu-Ala-
 G2 G3 G4 G6 G8 G7 G8 G9 G10 G11 110
 Ile-Ile-His-Val-Leu-His-Ser-Arg-His-Pro-
 G12 G13 G14 G15 G16 G17 G18 G19 GH1 GH2 120
 Gly-Asn-Phe-Gly-Ala-Asp-Ala-Gln-Gly-Ala-
 GH3 GH4 GH5 GH6 H1 H2 H3 H4 H5 H6 130
 Met-Asn-Lys-Ala-Leu-Glu-Leu-Phe-Arg-Lys-
 H7 H8 H9 H10 H11 H12 H13 H14 H16 H18 140
 Asp-Ile-Ala-Ala-Lys-Tyr-Lys-Glu-Leu-Gly-
 H17 H18 H19 H20 H21 H22 H23 H24 HC1 HC2 150
 Tyr-Gln-Gly
 HC3 HC4 HC5 153



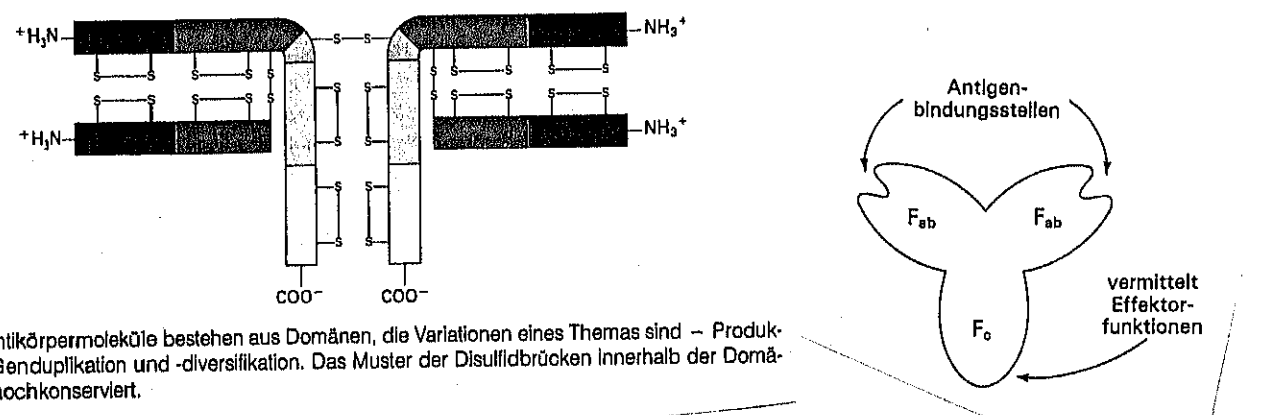
7.7 Modell des Myoglobins bei hoher Auflösung. Nur die α -Kohlenstoffatome sind dargestellt. Die Hämgruppe ist rot wiedergegeben. (Nach Dickerson, R. E. In: Neurath, H. (Hrsg.) *The Proteins*. 2. Aufl. London/New York (Academic Press) 1964. Bd. 2, S. 634.)

Tabelle 3.2 Funktionen von Proteinen (Auswahl)

| Protein | Funktion | Verantwortliches Strukturelement |
|------------------------|--|--|
| Enzyme | Katalyse | Aktives Zentrum mit spezifischen Aminosäureresten |
| Kollagene | Bildung der extrazellulären Matrix | Fibrilläre Struktur durch Bildung der Kollagentripelhelix |
| Myosine | Mobilität | Fibrilläre Struktur und Myosin-ATPase als katalytisch aktives Zentrum |
| Membranproteine | Vielfältig, z.B. Kanäle, Carrier, Rezeptoren | Verankerung in Membran durch hydrophobe α -Helix |
| Histone | Bildung des Chromatins | Wechselwirkung mit DNA aufgrund zahlreicher basischer Aminosäuren |
| Immunglobuline | Markierung körperfremder Verbindungen (Antigene) | Bindung von Antigenen an spezifische Bindungsstellen im variablen Teil der Immunglobuline |
| Transkriptionsfaktoren | Regulation der Gentranskription | Ausbildung spezifischer Strukturen für die Erkennung von Basensequenzen der DNA (z.B. Zinkfinger, Leucinzipper u.a.) |

Tabelle 3.1 Peptide als Hormone und Neurotransmitter (Auswahl)

| Peptid | Amino-säure-reste | Entstehung aus | Funktion |
|--------------------------------------|-------------------|---------------------|--|
| Thyreotropin Releasing Hormon (TRH) | 3 | TRH-Prohormon | Stimulierung der TSH-Sekretion |
| Corticotropin Releasing Hormon (CRH) | 41 | CRH-Prohormon | Stimulierung der ACTH-Sekretion |
| Adrenocorticotropes Hormon (ACTH) | 36 | Proopiomelanocortin | Stimulierung der Glucocorticoid-Sekretion |
| Vasopressin | 9 | Propro-Vasopressin | Antidiurese, Blutdruckregulation |
| Angiotensin II | 8 | Angiotensinogen | Blutdruckregulation |
| Insulin | 51 | Propro-Insulin | Regulation von Kohlenhydrat- und Fettstoffwechsel |
| Glucagon | 29 | Propro-Glucagon | Regulation des Kohlenhydratstoffwechsels der Leber |
| Endorphine | (10-30) | Proopiomelanocortin | Liganden für Opiatrezeptoren |
| Enkephaline | 9 | Proopiomelanocortin | Liganden für Opiatrezeptoren |



3.28 Antikörpermoleküle bestehen aus Domänen, die Variationen eines Themas sind – Produkte von Genduplikation und -diversifikation. Das Muster der Disulfidbrücken innerhalb der Domänen ist hochkonserviert.

3.36 Schematische Darstellung des Immunglobulins G (IgG), der Hauptklasse von Antikörpern im Blutplasma. IgG enthält zwei antigenbindende F_{ab} -Einheiten und eine F_c -Einheit, die Effektorfunktionen wie etwa die Lyse von Zellmembranen vermittelt.

Tabelle 4.1 Einteilung der Enzyme in Hauptklassen. (S Substrat)

| Hauptklasse | Katalysierte Reaktion | Beispiele |
|---------------------|--|---|
| 1. Oxido-reduktasen | $S_{\text{red}} + S'_{\text{ox}} \rightleftharpoons S_{\text{ox}} + S'_{\text{red}}$ | Lactatdehydrogenase (S.106) Glutamatdehydrogenase (S.261) Succinatdehydrogenase (S.217) Pyruvatdehydrogenase (S.213) |
| 2. Transferasen | $S - X + S' \rightleftharpoons S + S' - X$ | Hexokinase (S.102) Phosphorylase (S.120) |
| 3. Hydrolasen | $S - S' + H_2O \rightarrow S - OH + S' - H$ | Proteasen, Peptidasen Esterasen Glykosidasen |
| 4. Lyasen | | Nichthydrolytische Abspaltung von Gruppen Aldolase (S.103) Transketolase (S.111) Fumarase (S.217) |
| 5. Isomerasen | | Retinalisomerase (S.587) Triosephosphat-Isomerase (S.103) UDP-Galaktose-4-Epimerase (S.134) |
| 6. Ligasen | Energieabhängige Verknüpfung von Bindungen | Pyruvatcarboxylase (S.113) Thiokinase (S.160) Glutaminsynthetase (S.261) |

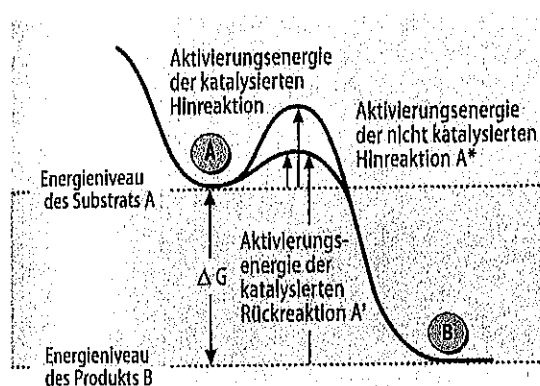


Abb. 4.2 Energiediagramm einer Reaktion In Ab- bzw. Anwesenheit eines Enzyms

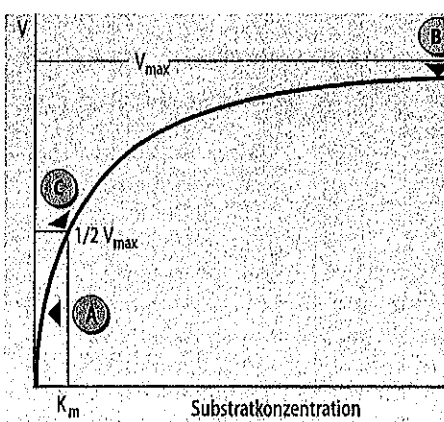
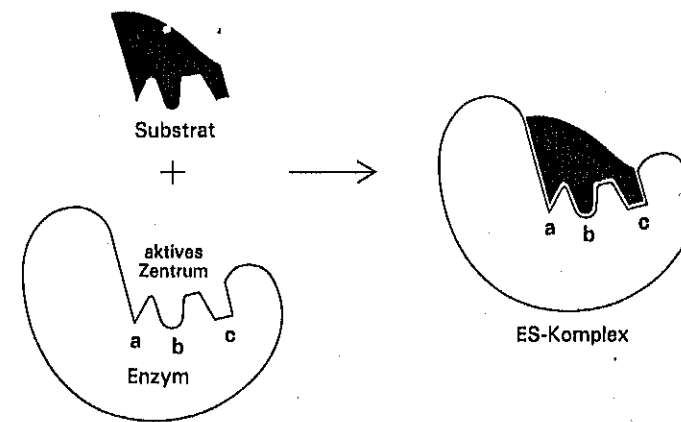


Abb. 4.3 Abhängigkeit der Reaktionsgeschwindigkeit eines Enzyms von der Substratkonzentration. (Einzelheiten s. Text)



8.13 Schloß-Schlüssel-Modell der Enzym-Substrat-Wechselwirkung. Das aktive Zentrum des Enzyms hat eine zum Substrat komplementäre Gestalt.

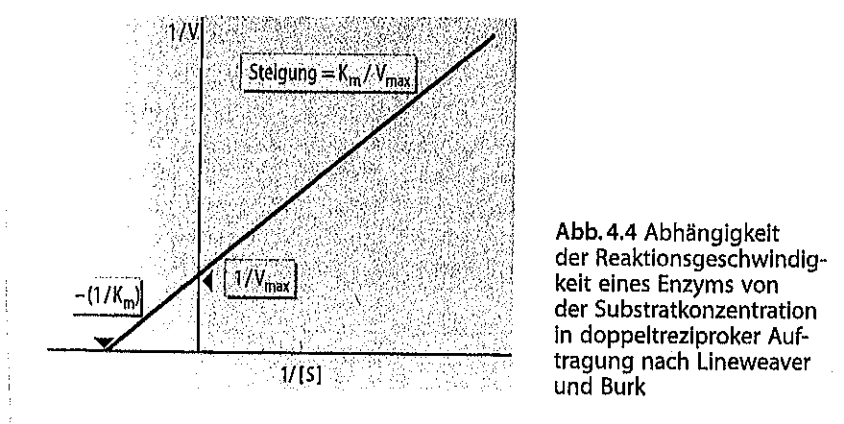
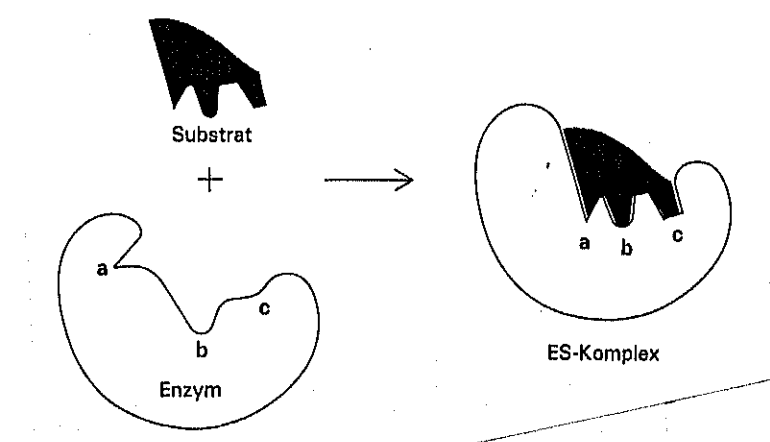
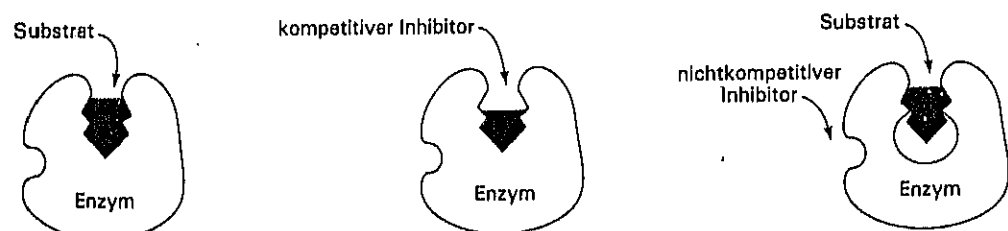


Abb. 4.4 Abhängigkeit der Reaktionsgeschwindigkeit eines Enzyms von der Substratkonzentration in doppeltreziproker Auftragung nach Lineweaver und Burk



8.14 Modell des *induced fit* (der „induzierten Anpassung“) bei der Enzym-Substrat-Wechselwirkung. Das Enzym verändert seine Form bei Substratbindung. Das aktive Zentrum hat die zum Substrat komplementäre Gestalt erst nach dessen Bindung.



8.19 Unterschied zwischen einem kompetitiven und einem nichtkompetitiven Inhibitor. Links ist der normale Enzym-Substrat-Komplex gezeigt. Ein kompetitiver Inhibitor verhindert die Bindung des Substrats an das Enzym (Mitte). Ein nichtkompetitiver Inhibitor dagegen hemmt die Substratbindung nicht (rechts).

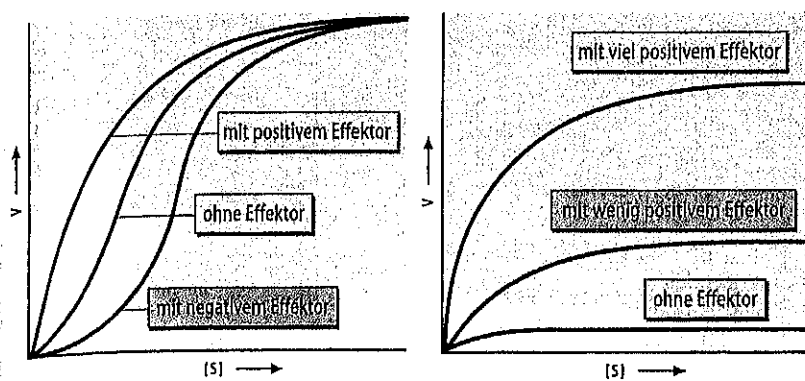
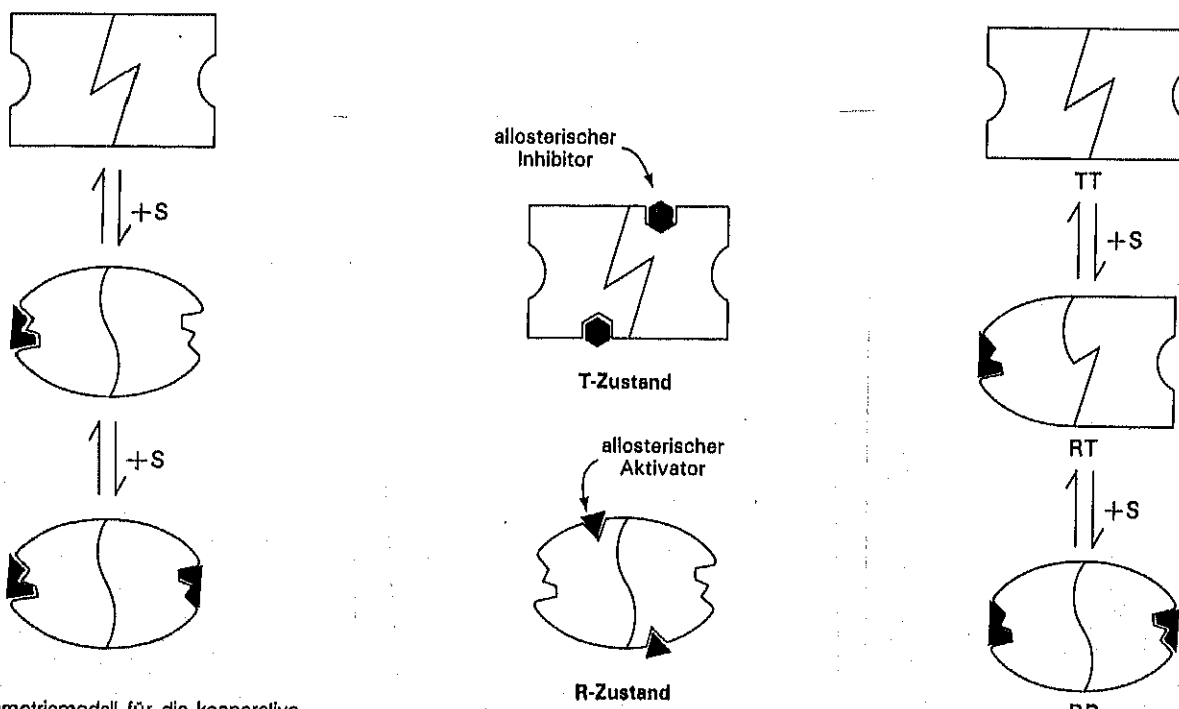


Abb. 4.7 Kinetik allosterischer Enzyme in Anwesenheit positiver bzw. negativer allosterischer Effektoren. Links Enzym des K-Typs; rechts Enzym des V-Typs

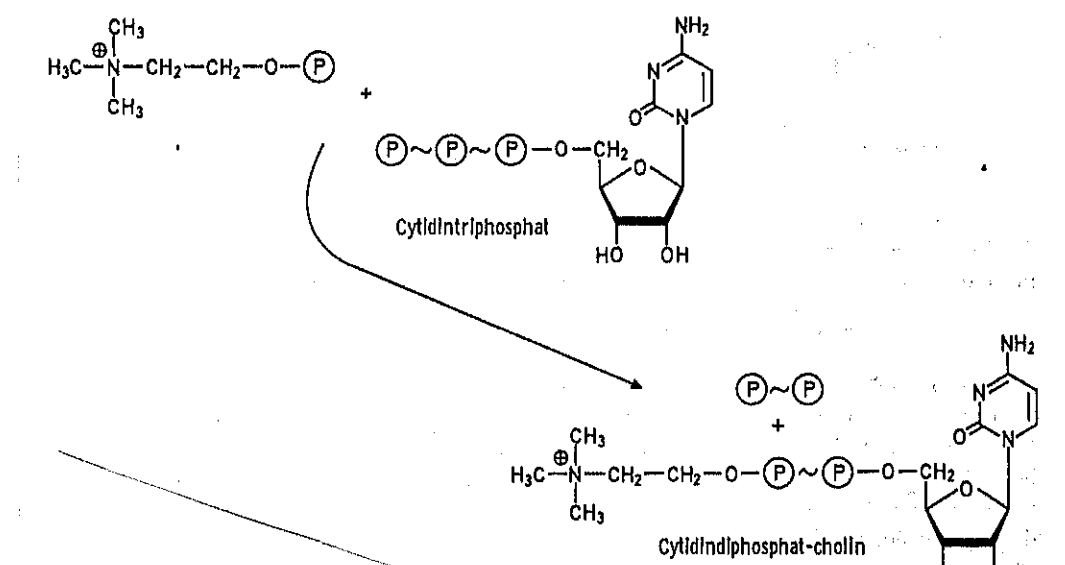
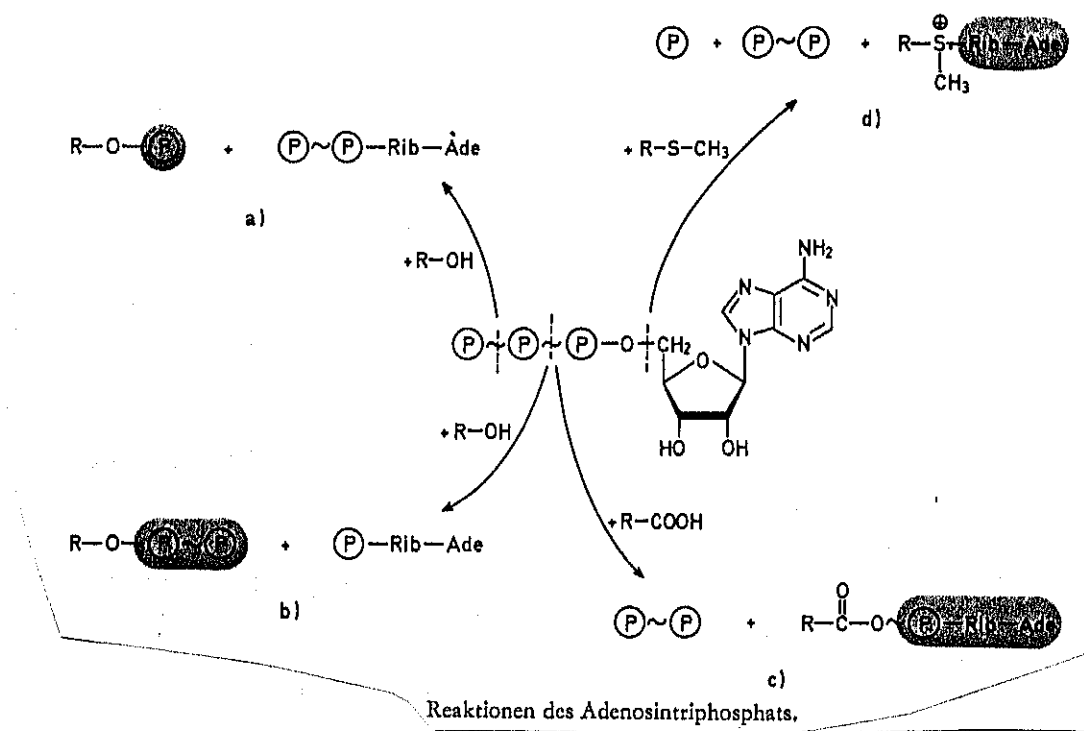
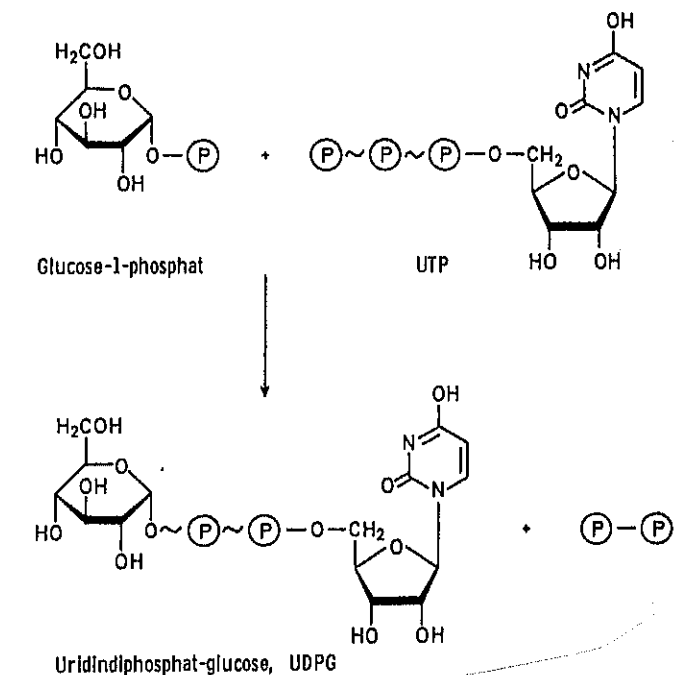
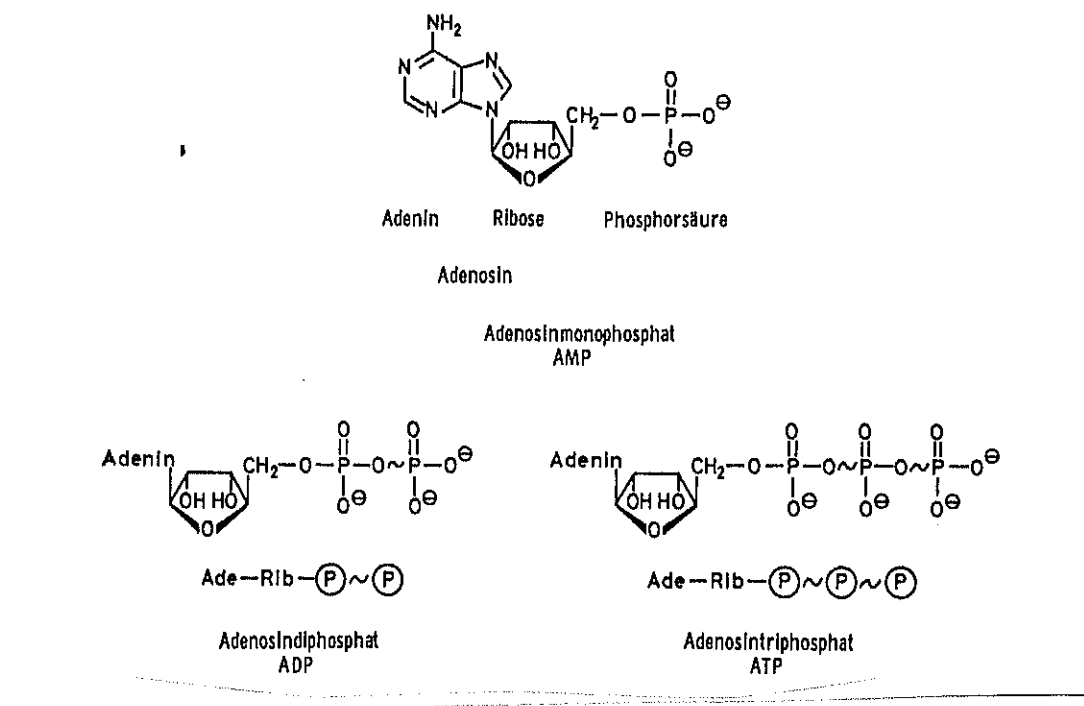


10.13 Symmetriemodell für die kooperative Substratbindung eines allosterischen Enzyms. In diesem Beispiel besitzt der T-Zustand eine vernachlässigbar geringe Affinität zu dem Substrat. Die TT-Form mit niedriger Affinität geht mit der Bindung des ersten Substratmoleküls in die RR-Form über, die eine hohe Affinität aufweist.

10.14 Im Symmetriemodell stabilisiert ein allosterischer Inhibitor (dargestellt durch ein Sechseck) den T-Zustand, wohingegen ein allosterischer Aktivator (Dreieck) den R-Zustand stabilisiert.

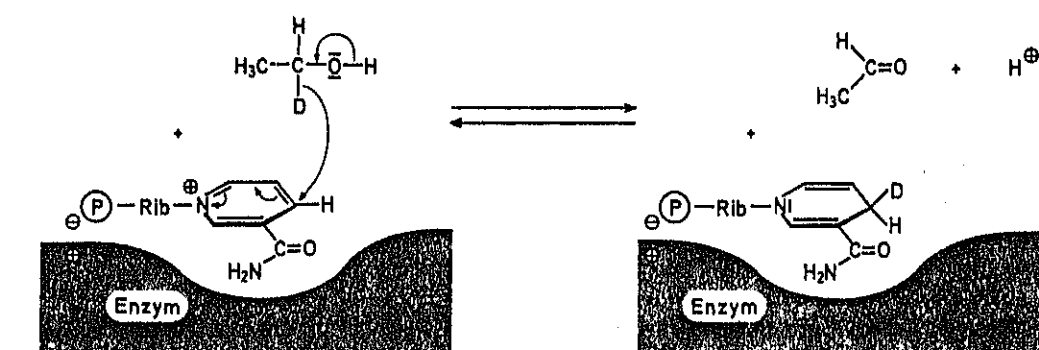
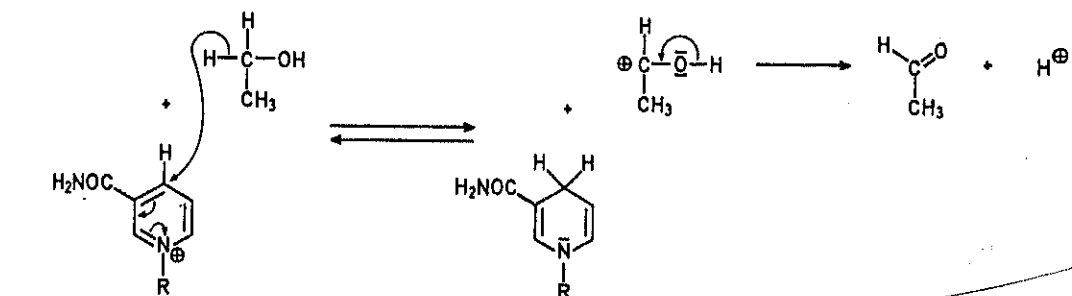
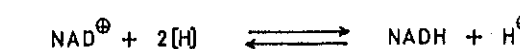
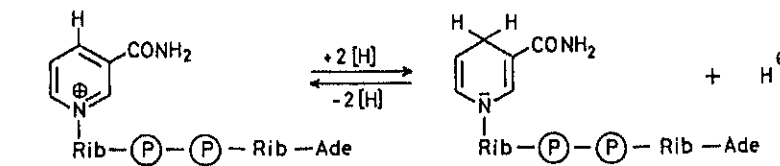
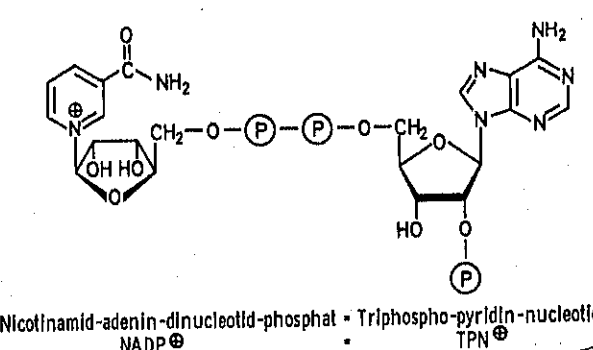
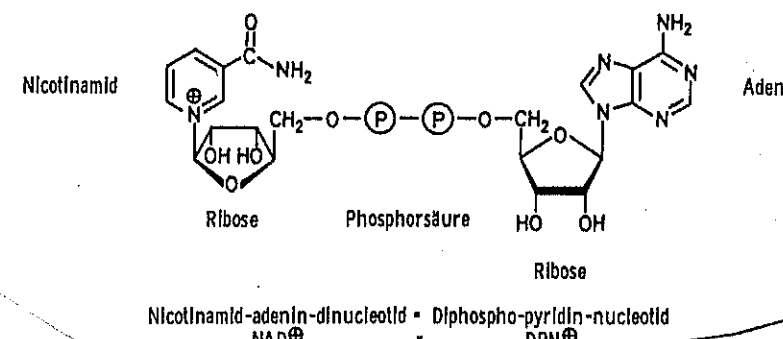
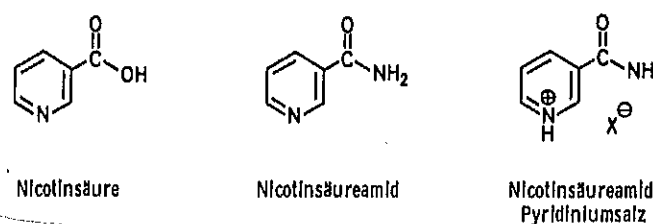
10.16 Sequenzmodell für die Substratbindung an ein allosterisches Enzym. Die Bindung erfolgt kooperativ, wenn das unbesetzte aktive Zentrum in RT eine höhere Substrataffinität besitzt als die aktiven Zentren im TT-Zustand.

| Coenzyme und prosthetische Gruppen | | | |
|--|--|--|---------------------|
| Coenzym | Häufig gebrauchte Abkürzung | Übertragene Gruppe | Zugehöriges Vitamin |
| <i>I. Wasserstoffübertragende Coenzyme:</i> | | | |
| Nicotinamid-adenin-dinucleotid = Diphospho-pyridin-nucleotid (Codehydrase I) | NAD ⁺ (DPN ⁺) | Wasserstoff | Nicotinsäureamid |
| Nicotinamid-adenin-dinucleotid- phosphat = Triphospho-pyridin-nucleotid (Codehydrase II) | NADP ⁺ (TPN ⁺) | Wasserstoff | Nicotinsäureamid |
| Flavinmononucleotid | FMN | Wasserstoff | Riboflavin |
| Flavin-adenin-dinucleotid | FAD | Wasserstoff | Riboflavin |
| Ubichinon | Q | Wasserstoff | ----- |
| Zellhämme | Elektronen | ----- | ----- |
| Liponsäure | Lip (S ₂) | Wasserstoff und Acylgruppen | ----- |
| <i>II. Gruppenübertragende Coenzyme:</i> | | | |
| Adenosintriphosphat | ATP | Phosphorsäurerest (und AMP-Rest) | ----- |
| Phosphoadenylysäure-sulfat | PAPS | Schwefelsäurerest | ----- |
| Pyridoxalphosphat | PLP | Aminogruppe | Pyridoxin |
| Cytidindiphosphat | CDP | Phosphorylcholin und verwandte Gruppen | ----- |
| Uridindiphosphat | UDP | Zucker, Uronsäure | ----- |
| <i>Coenzyme für C₁-Transfer:</i> | | | |
| Adenosyl-methionin | | Methylgruppe | (Methionin) |
| Tetrahydrofolsäure | | Formylgruppe | Folsäure |
| Biotin | | Carboxylgruppen (CO ₂) | Biotin |
| <i>Coenzyme für C₂-Transfer:</i> | | | |
| Coenzym A | | Acetyl (Acyl) | Pantothenäure |
| Thiaminpyrophosphat | | C ₂ -Aldehydgruppen | Thiamin |
| <i>III. Coenzyme der Isomerasen und Lyasen:</i> | | | |
| Uridindiphosphat | | Zuckerisomerisierung | ----- |
| Pyridoxalphosphat | | Decarboxylierung | Pyridoxin |
| Thiaminpyrophosphat | | Decarboxylierung | Thiamin |
| B ₁₂ -Coenzym | | Carboxylverschiebung | Cobalamin |



Tab. 10-1. Redoxpotentiale bei pH 7 (E'_o) für einige biochemische Redoxsysteme (25°C)

| ΔG° kcal | a) Coenzyme E'_o Volt | Substanz | b) Substrate E'_o Volt | Substanz |
|--------------------------|-------------------------------|--|--------------------------------|--|
| -0,43 | | Ferredoxin | -0,57 | Acetaldehyd/Essigsäure |
| -14 | | | -0,42 | $H_2/2 H^\oplus$ |
| | -0,31 | $NAD \cdot H + H^\oplus / NAD^\oplus$ | -0,20 | Äthylalkohol/Acetaldehyd |
| | -0,21 | Riboflavin- $\text{P}_1 \cdot H_2$ / Riboflavin- P_1 | -0,185 | Lactat/Pyruvat |
| | 0,00 | Flavoprotein (Ubichinon-Reduktase) | -0,166 | Malat/Oxalacetat |
| -14 | +0,10 | Ubihydrochinon/Ubichinon | -0,03 | Succinat/Fumarat |
| | +0,12 | Cytochrom b | +0,01 | Methylenblau/Leukofarbstoff |
| | +0,26 | Cytochrom c | +0,20 | Ascorbinsäure/Dehydroascorbinsäure (pH 3,3) |
| -24 | +0,29 | Cytochrom a | +0,81 | $\frac{1}{2} O_2/O^{2\ominus}$ |



Zur Stereospezifität der Nicotinamid-nucleotid-Katalyse. Das Deuteriumatom wird auf die „A-Seite“ übertragen.

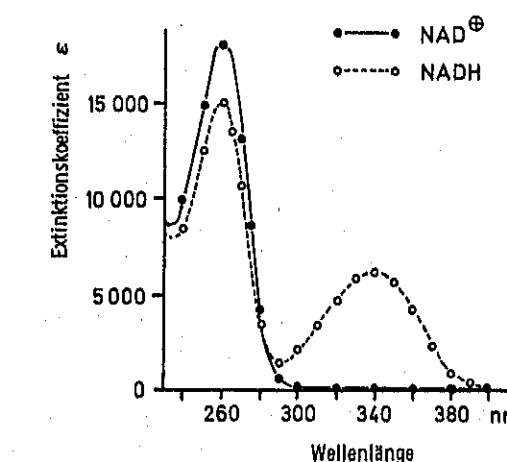


Abb. 6-1. Ultravioletabsorptionsspektrum der Pyridinnucleotide. Die reduzierte Form weist ein Maximum bei 340 nm auf.

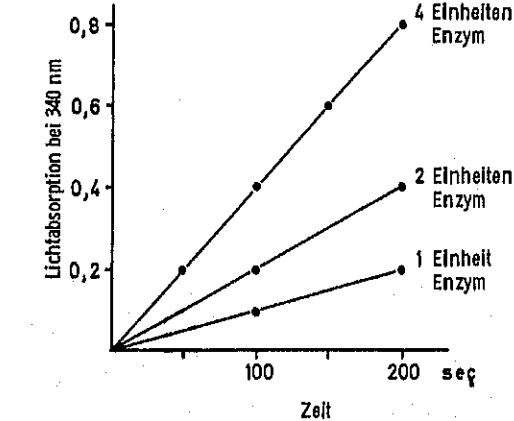


Abb. 6-2. „Optischer Test“ einer Dehydrogenase. Die Absorptionsänderung ist gegen die Zeit aufgetragen. Wird mehr Enzym verwendet, dann verläuft die Reaktion rascher.

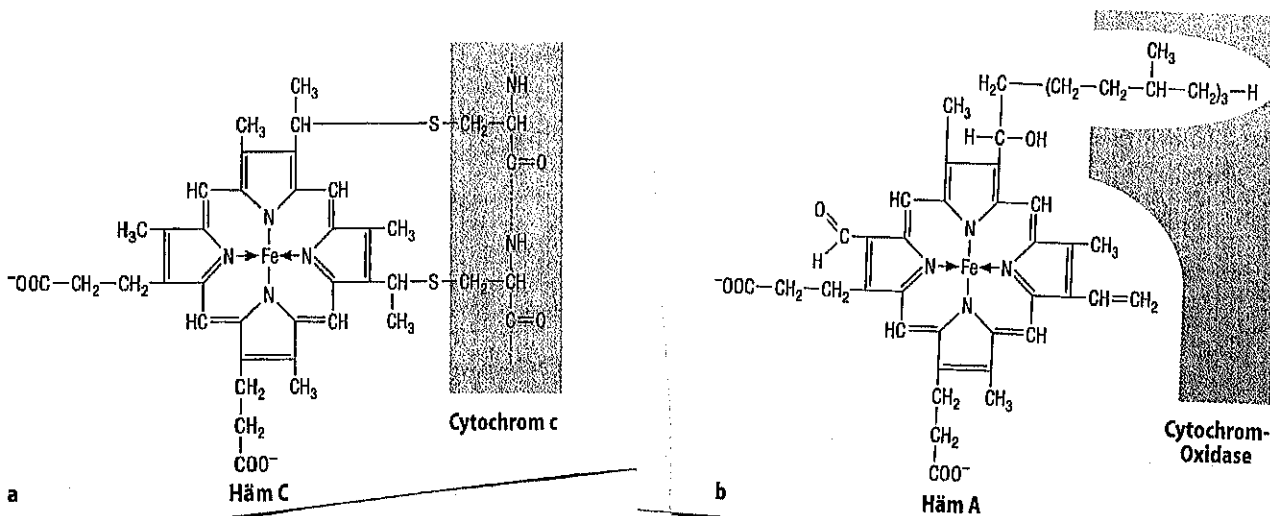
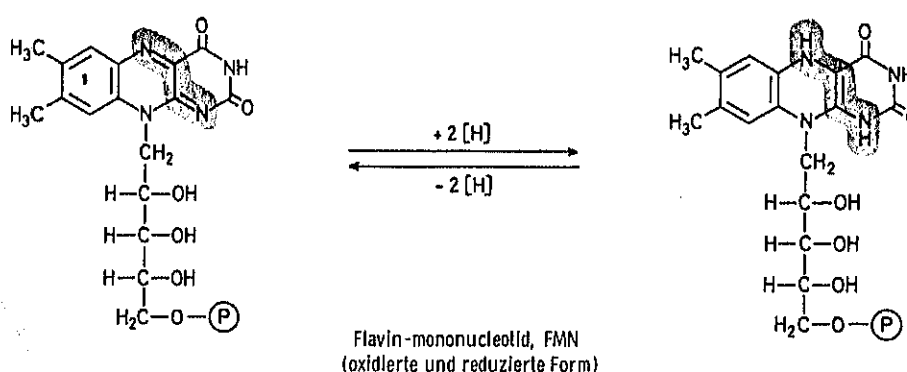
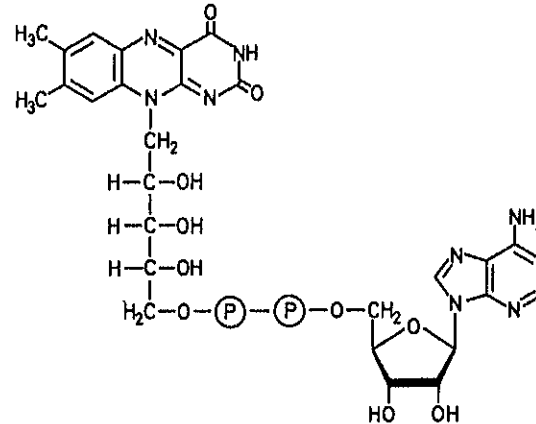
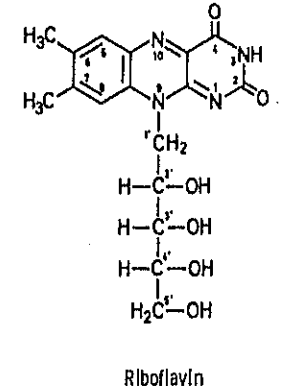
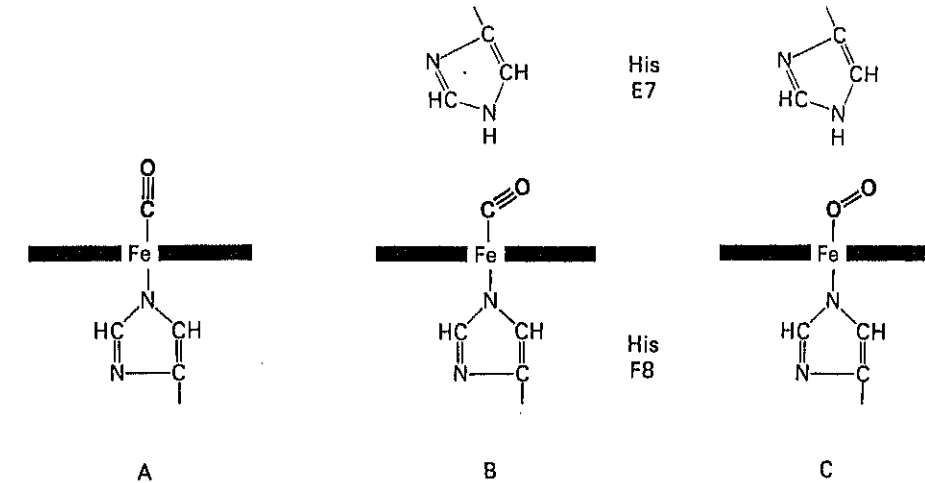
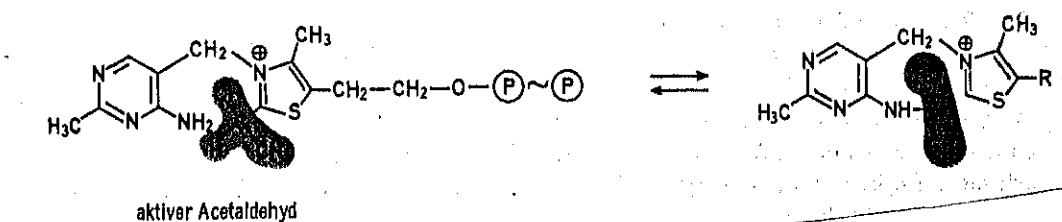
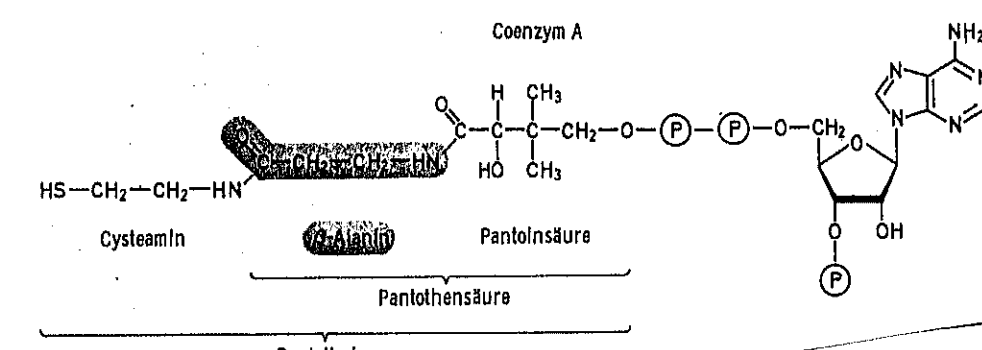
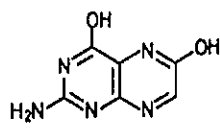


Abb. 8.3 a, b Struktur von Häm c und Häm a. a Häm c ist über eine Thioetherbrücke mit einem Cysteinylrest des Cytochrome c-Proteins verknüpft. b Beim Häm a, einem wichtigen Bestandteil der Cytochromoxidase, erfolgt keine kovalente Verknüpfung mit dem Enzymprotein. Die Hämgruppe ist vielmehr mit einer isopropenoiden Seitenkette in einem hydrophoben Bezirk des Cytochromoxidase-Proteins fixiert

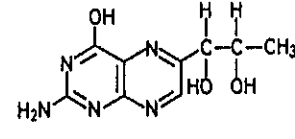


7.16 Strukturelle Grundlage der verminderten Kohlenmonoxidaffinität von Myoglobin und Hämoglobin: A) lineare Bindung von CO an ein isoliertes Eisenporphyrin; B) abgewinkelte Bindung von CO an Myoglobin und Hämoglobin, wobei das distale Histidin (E7) das CO-Moleköl an einer linearen Anlagerung hindert und so die CO-Affinität deutlich herabsetzt; C) gewinkelte Bindung von Sauerstoff in Myoglobin und Hämoglobin. Auch isolierte Eisenporphyrine binden O₂ unter einem Winkel.

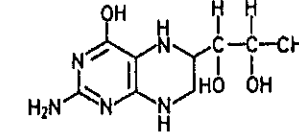




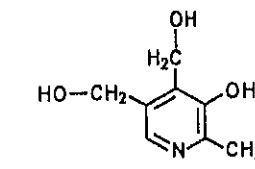
Xanthopterin



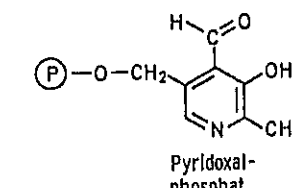
Biopterin



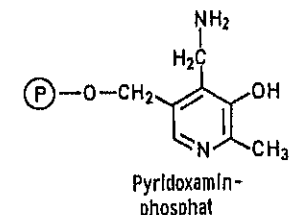
Tetrahydrobiopterin



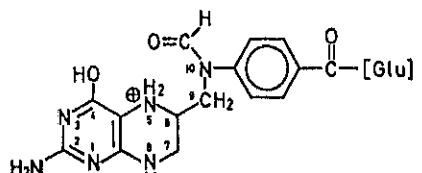
Pyridoxol



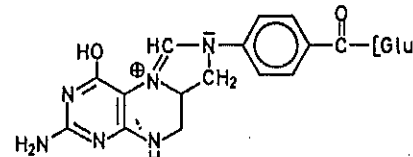
Pyridoxal-
phosphat



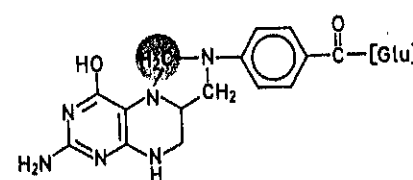
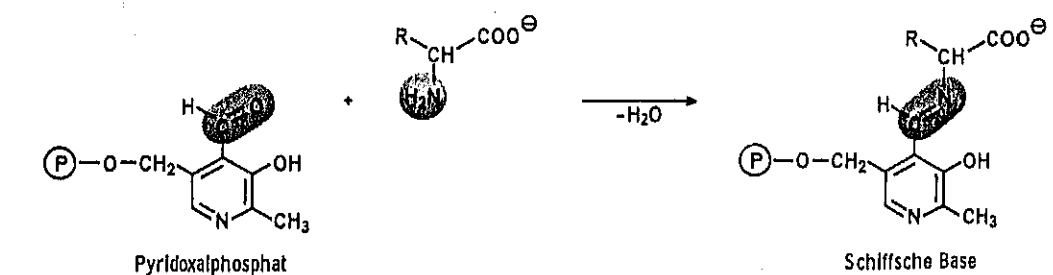
Pyridoxamin-
phosphat



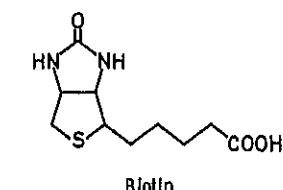
N^{10} -Formyl-tetrahydrofolsäure



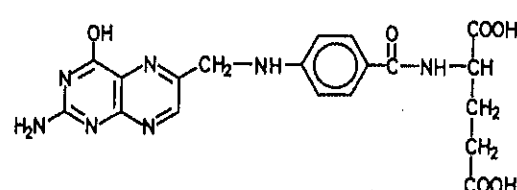
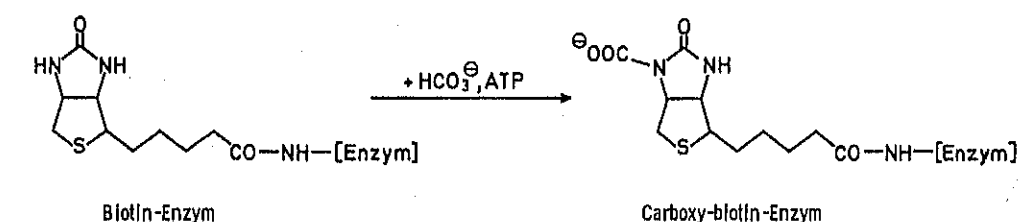
N^5, N^{10} -Methenyl-tetrahydrofolsäure



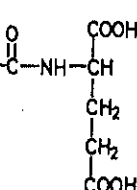
N^5, N^{10} -Methylene-tetrahydrofolsäure



Biotin

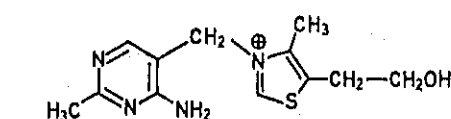


Pterinsäure

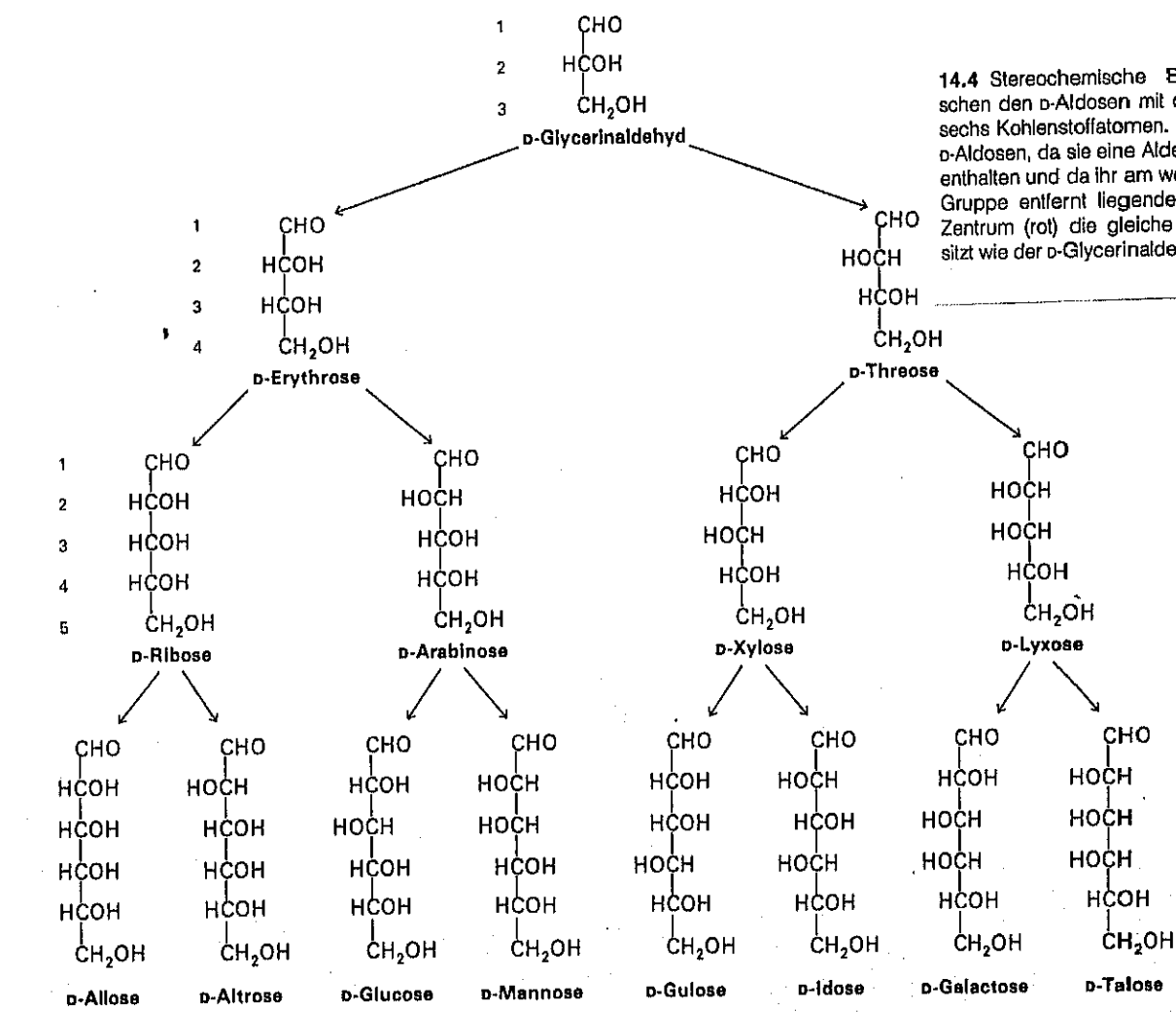
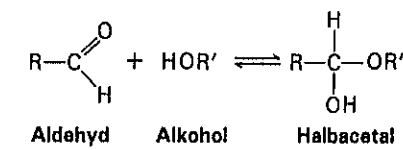
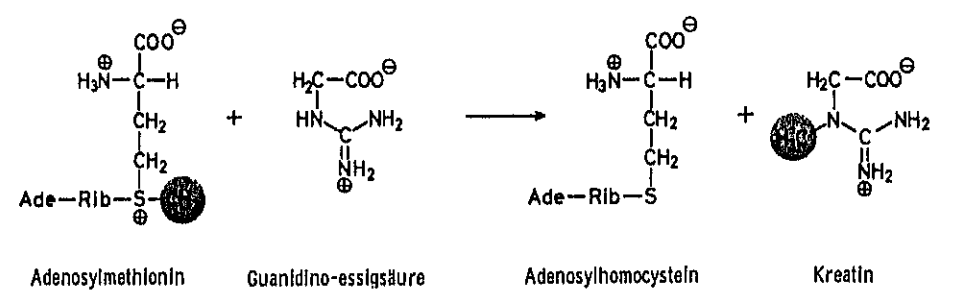
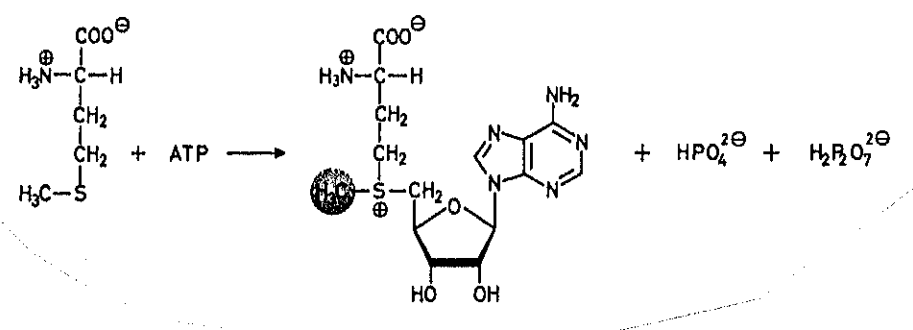


Glutaminsäure

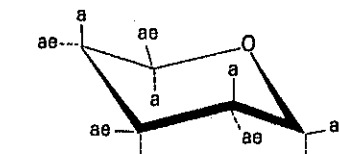
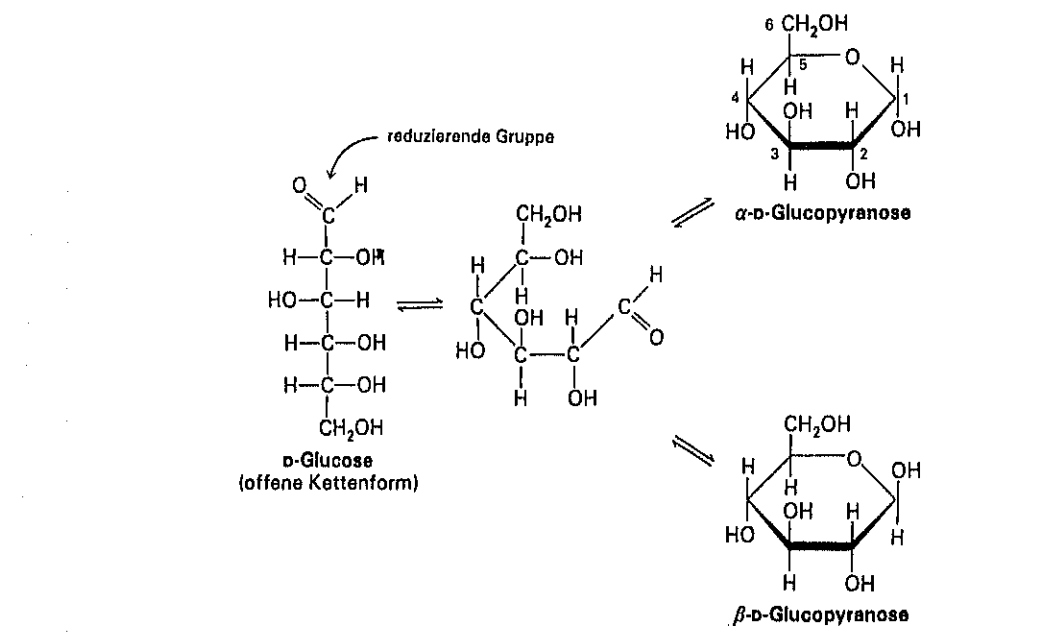
Pteroylglutaminsäure - Folsäure



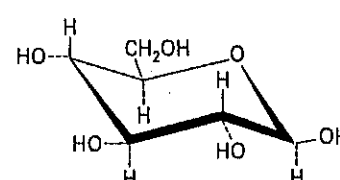
Thiamin



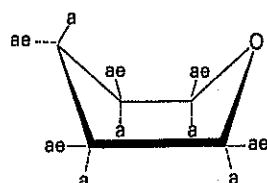
14.4 Stereochemische Beziehungen zwischen den D-Aldosen mit drei, vier, fünf und sechs Kohlenstoffatomen. Diese Zucker sind D-Aldosen, da sie eine Aldehydgruppe (grün) enthalten und da ihr am weitesten von dieser Gruppe entfernt liegendes asymmetrisches Zentrum (rot) die gleiche Konfiguration besitzt wie der D-Glyceraldehyd.



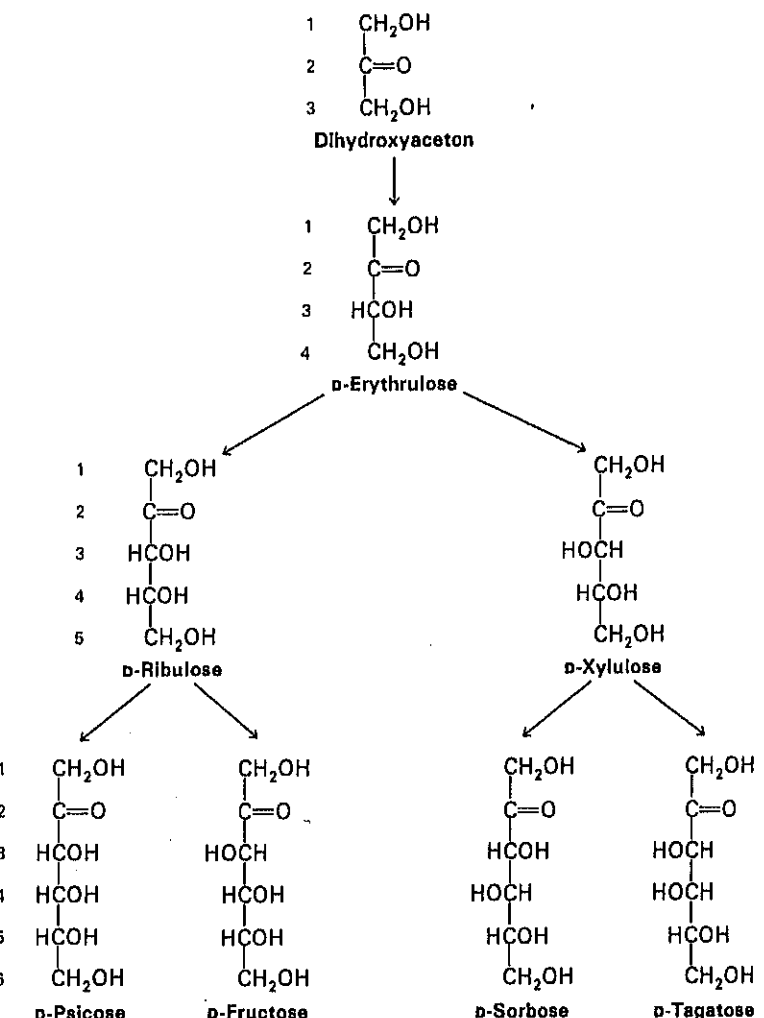
eine Sesselform
einer Pyranose
(ae = äquatorialer Substituent;
a = axialer Substituent)



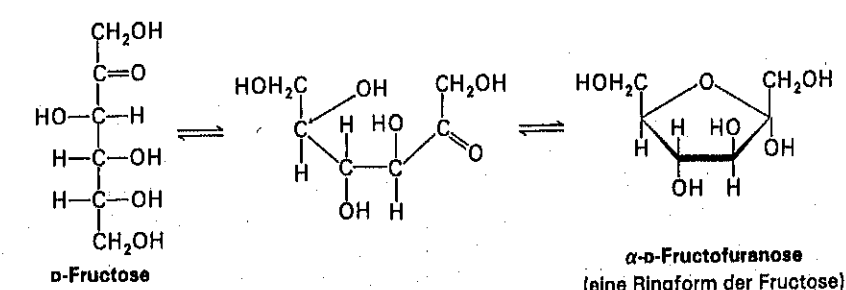
eine Sesselform der
 $\beta\text{-D-Glucopyranose}$



14.8 Sessel- und Bootkonformation von Pyranoseringen. Die Sesselform ist energetisch begünstigt.



14.5 Stereochemische Beziehungen zwischen den α -Ketosen mit drei, vier, fünf und sechs Kohlenstoffatomen. Diese Zucker sind α -Ketosen, da sie eine Ketogruppe (grün) enthalten und da ihr am weitesten von dieser Gruppe entferntes asymmetrisches Zentrum (rot) die gleiche Konfiguration besitzt wie der α -Glycerinaldehyd.



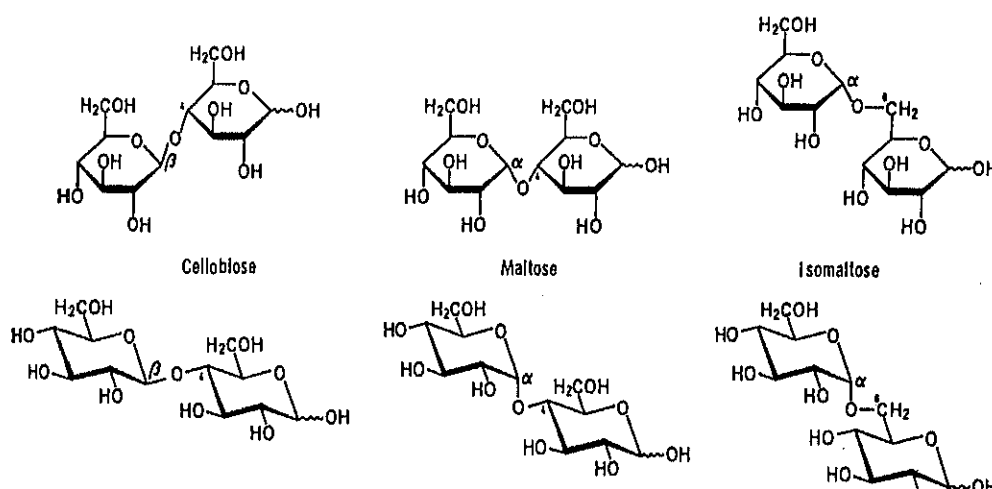


Abb. 17-1. Disaccharide vom Maltosetyp, oben in der Haworth-Schreibweise, darunter in der (wirklichkeitsnäheren) Sesselform.

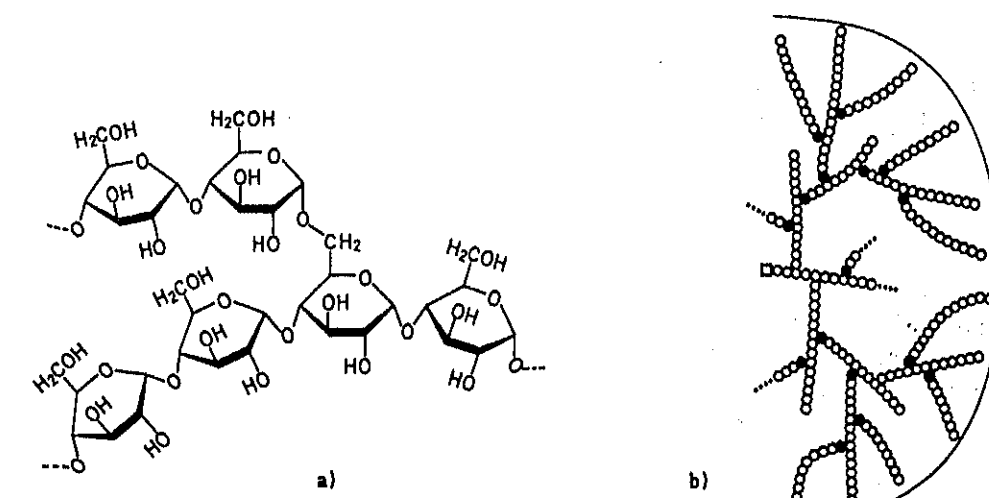
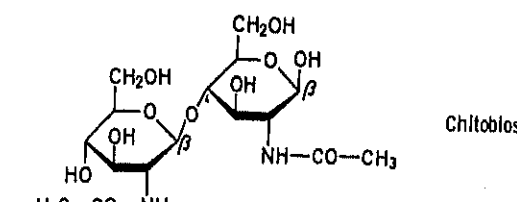


Abb. 17-3. Aufbau des Glykogenmoleküls. a) Formelschema der Verzweigungsstelle, b) Diagramm des Glykogenmoleküls, schematisch (nach WHELAN). Das Quadrat bedeutet die reduzierende Endgruppe, die ausgefüllten Kreise symbolisieren Glucosereste, die als Verzweigung in 1→6-Bindung vorliegen. Ein Teil der nichtreduzierenden Endgruppen ist im Inneren des Moleküls vergraben und dem enzymatischen Angriff nicht zugänglich. Die Abbildung zeigt natürlich nur einen Ausschnitt aus dem Makromolekül.



Chitobiose

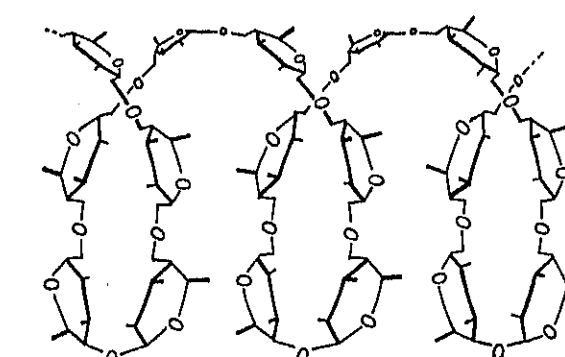
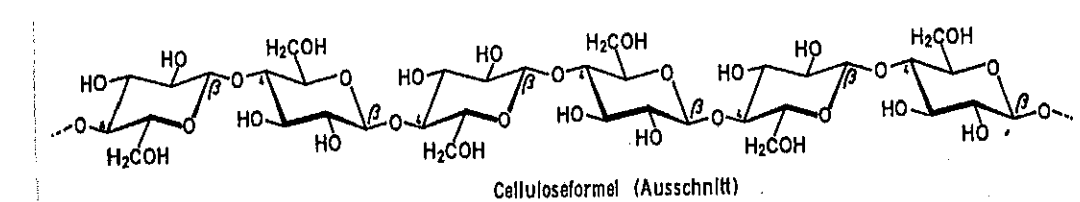
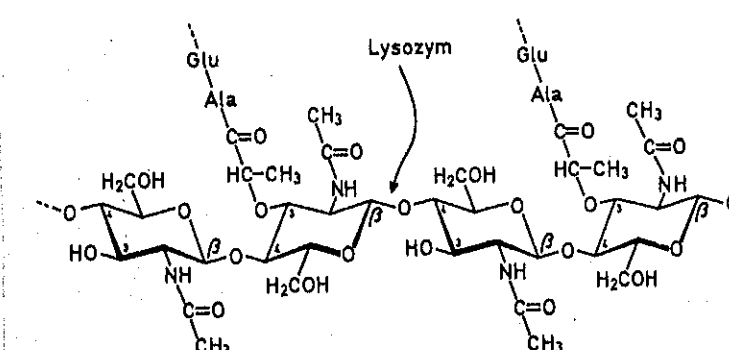


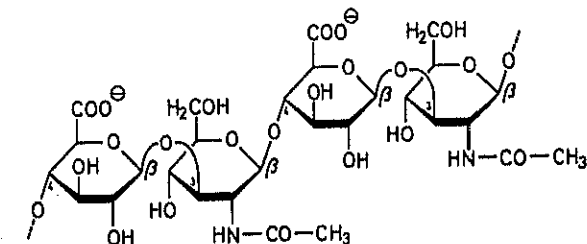
Abb. 17-2. Amylose.



Celluloseformel (Ausschnitt)



Murein (Ausschnitt)



Hyaluronsäure

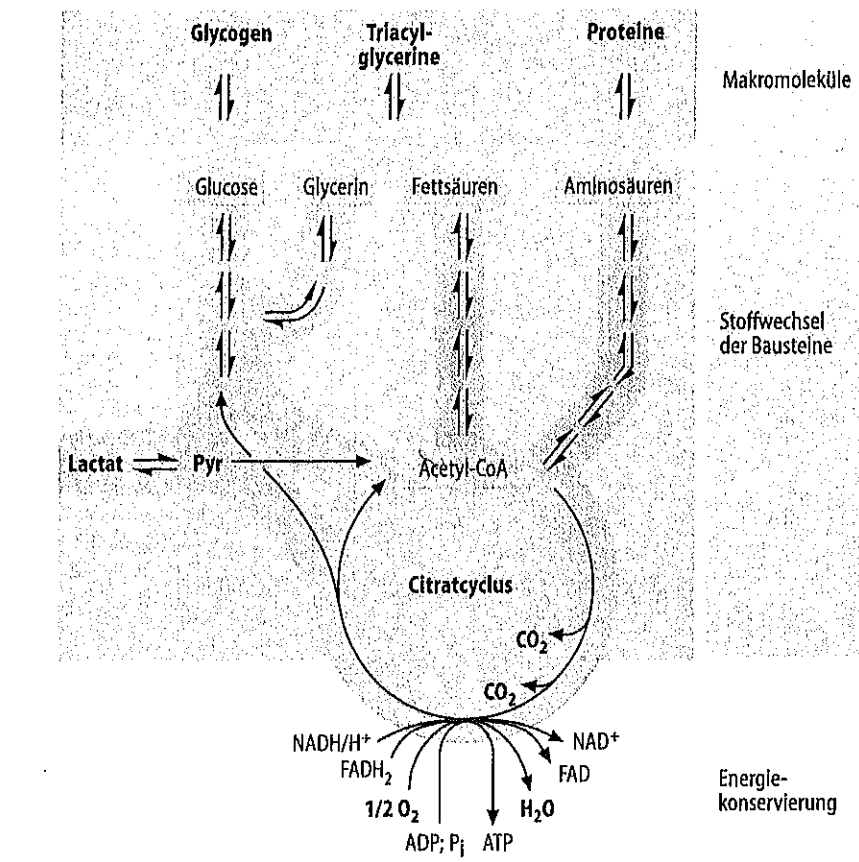


Abb. 1.6 Übersicht über den Ablauf des Intermediärstoffwechsels. (Einzelheiten s. Text) Rote Pfeile katabole Reaktionen; schwarze Pfeile anabole Reaktionen; blau Reaktionen der Energiekonservierung

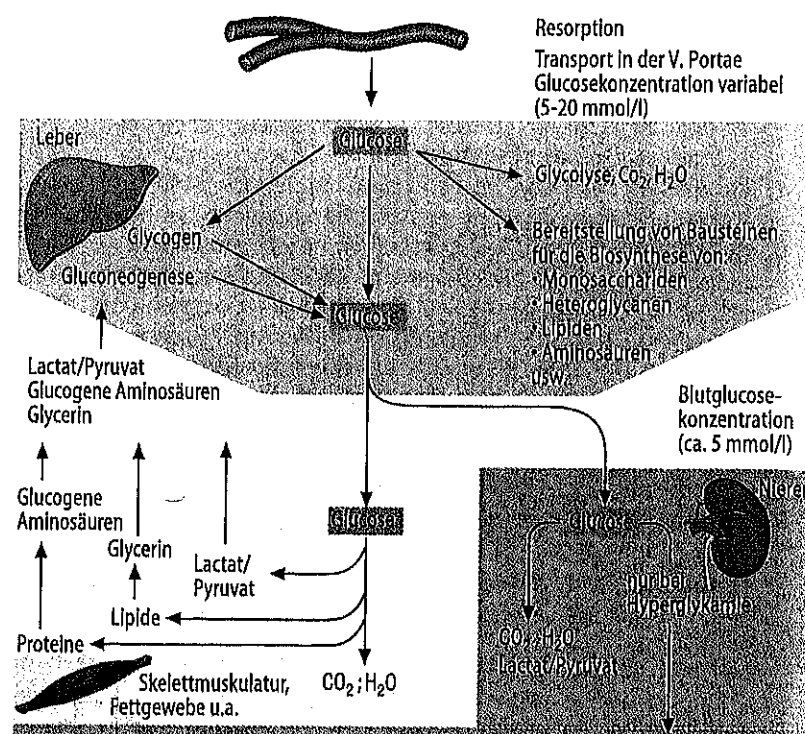


Abb. 5.9 Grundzüge des Glucosestoffwechsels im menschlichen Organismus. (Einzelheiten s. Text)

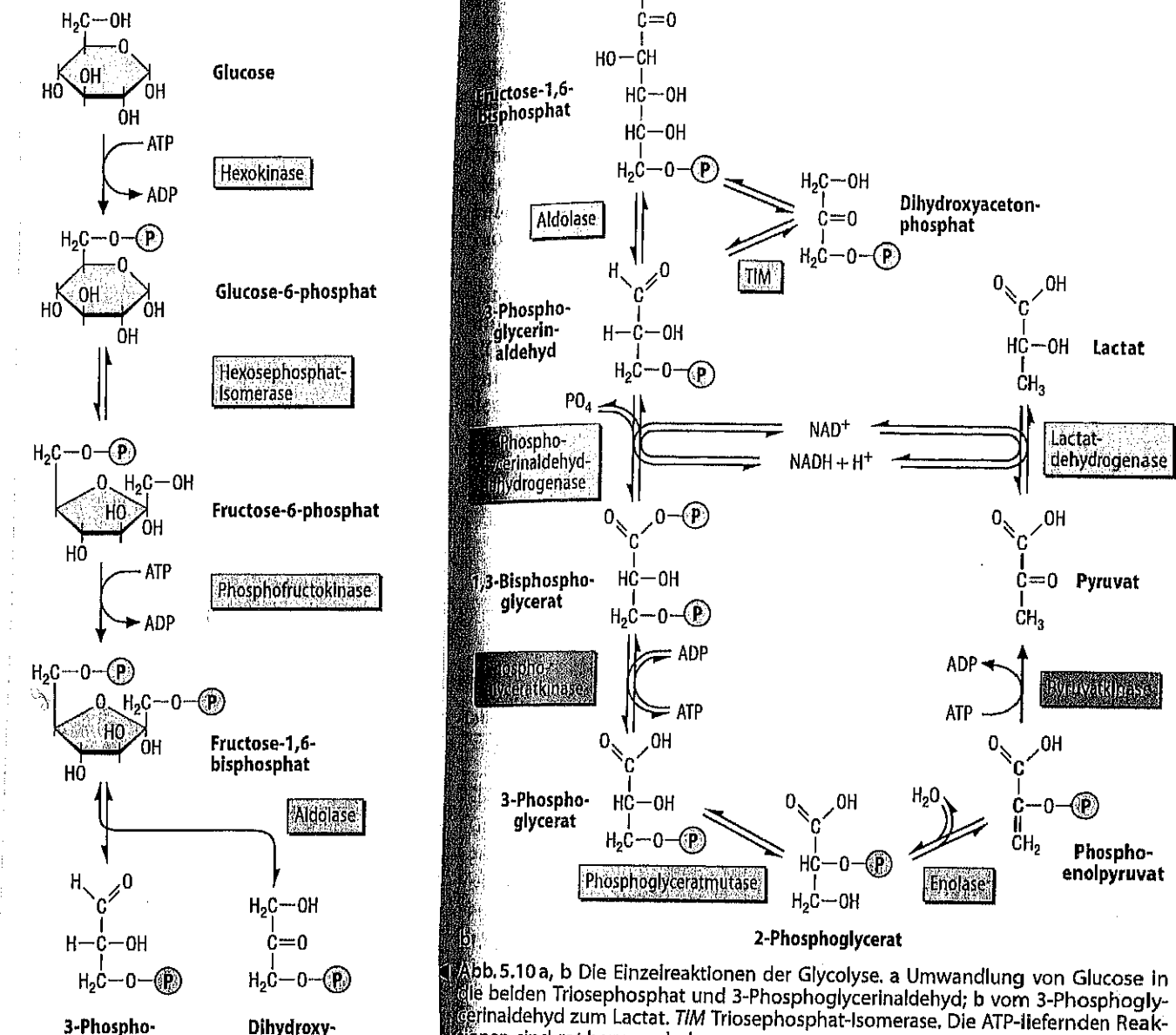
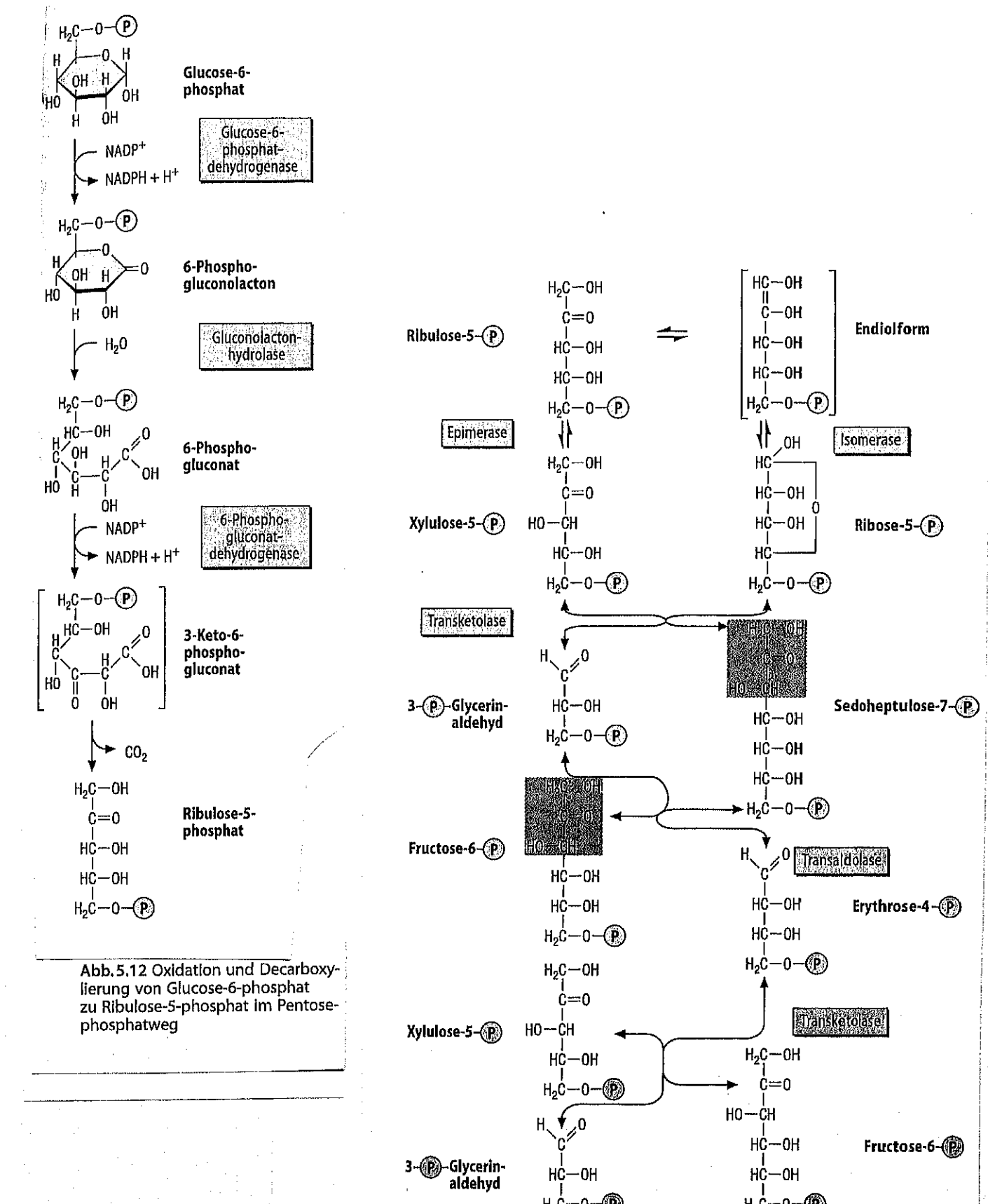
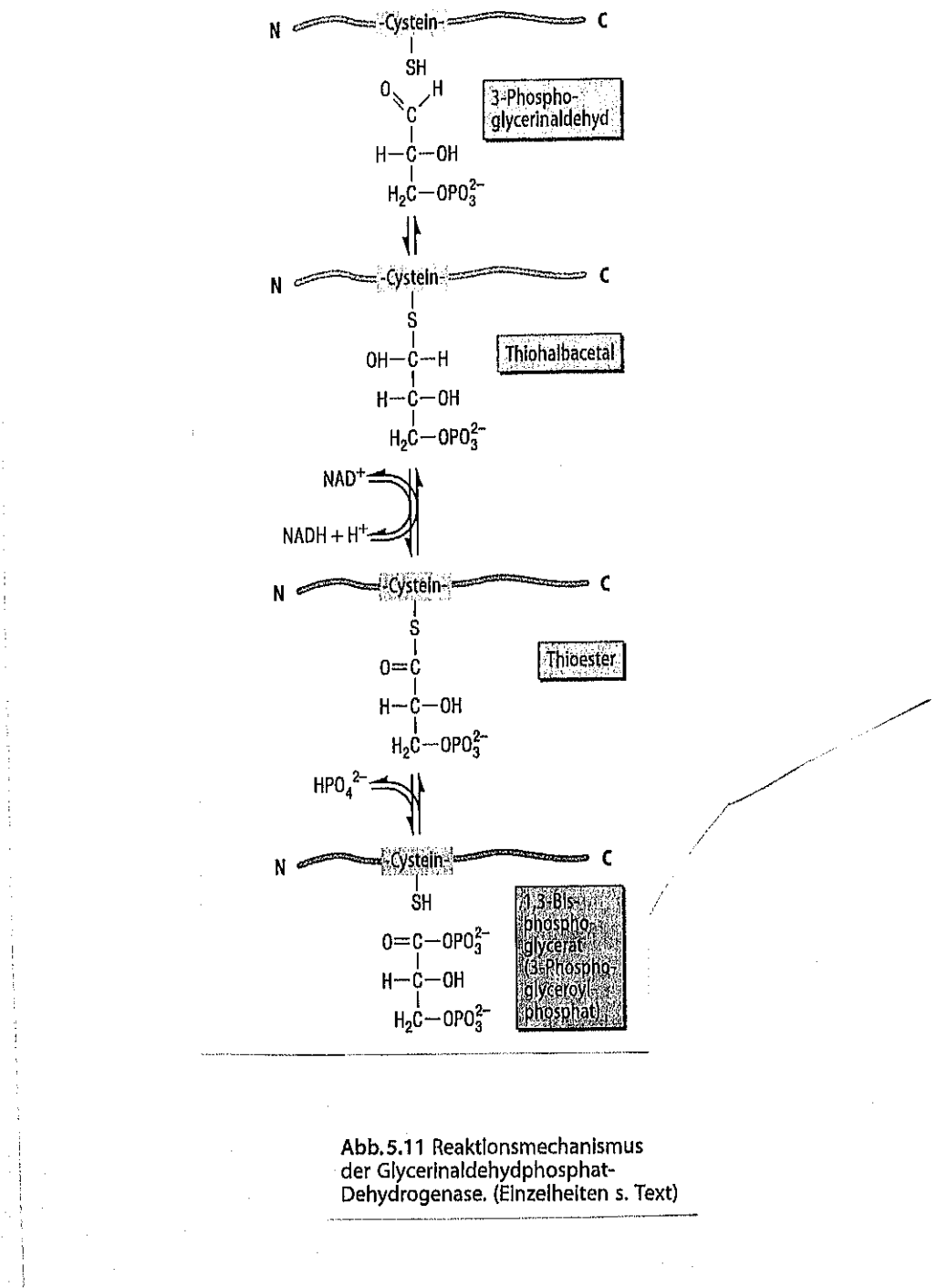
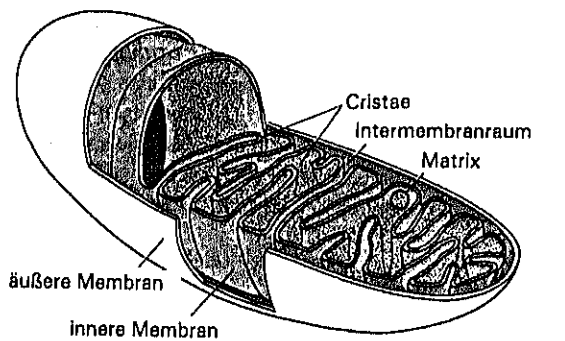


Abb. 5.10 a, b Die Einzelreaktionen der Glykolyse. a Umwandlung von Glucose in die beiden Triosephosphat und 3-Phosphoglycerinaldehyd; b vom 3-Phosphoglycerinaldehyd zum Lactat. T/M Triosephosphat-Isomerase. Die ATP-liefernden Reaktionen sind rot hervorgehoben

Tabelle 5.5 Energiebilanz der anaeroben Glykolyse

| Enzym | Reaktion | ATP-Ausbeute |
|------------------------|--|--|
| Hexokinase/Glukokinase | Glucose + ATP \rightarrow Glucose-6-P + ADP | -1 ATP |
| Phosphofructokinase | Fru-6-P + ATP \rightarrow Fru-1,6-BP + ADP | -1 ATP |
| Phosphoglyceratkinese | 1,3-Bisphosphoglycerat + ADP \rightarrow 3-Phosphoglycerat + ATP | +2 ATP aus Glucose entstehen zwei 1,3-Bisphosphoglycerat bzw. Phosphoenolpyruvat |
| Pyruvatkinase | Phosphoenolpyruvat + ADP \rightarrow Pyruvat + ATP | +2 ATP aus Glucose entstehen zwei 1,3-Bisphosphoglycerat bzw. Phosphoenolpyruvat |
| Zusammen | | +2 ATP |





17.3 Schematische Darstellung eines Mitochondriums. (Nach Wolfe, S. L. *Biology of the Cell*. © 1972 bei Wadsworth Publishing Company, Belmont, California 94002. Mit freundlicher Genehmigung des Verlags.)

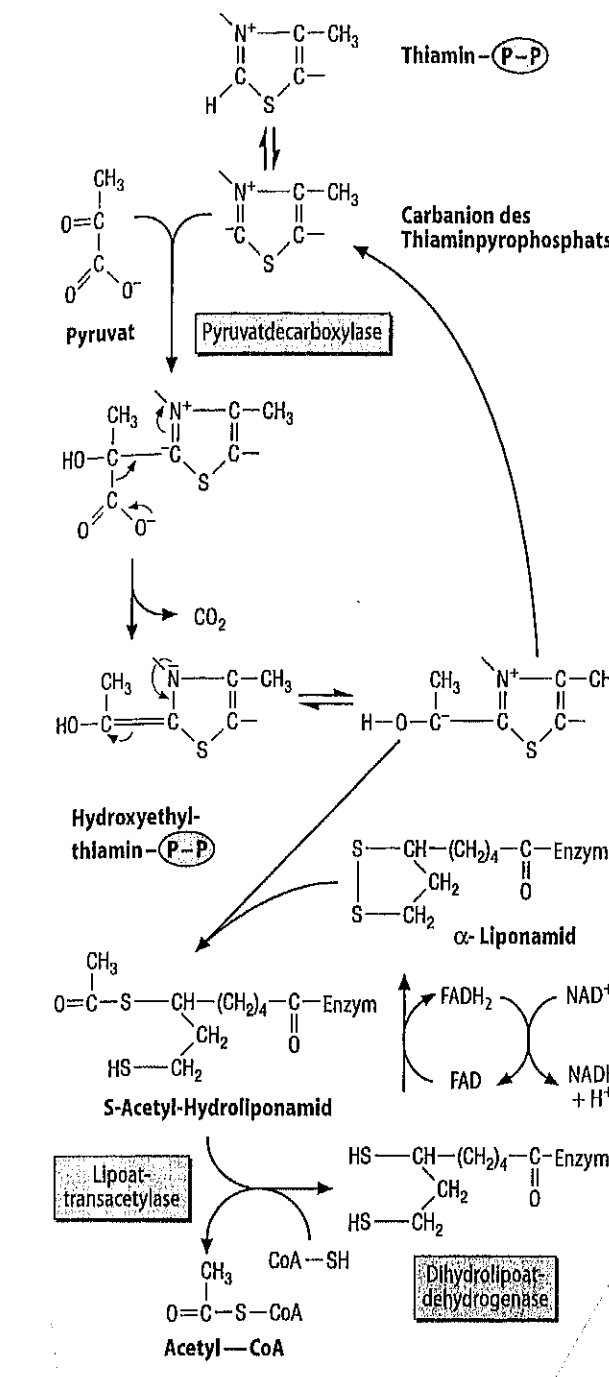
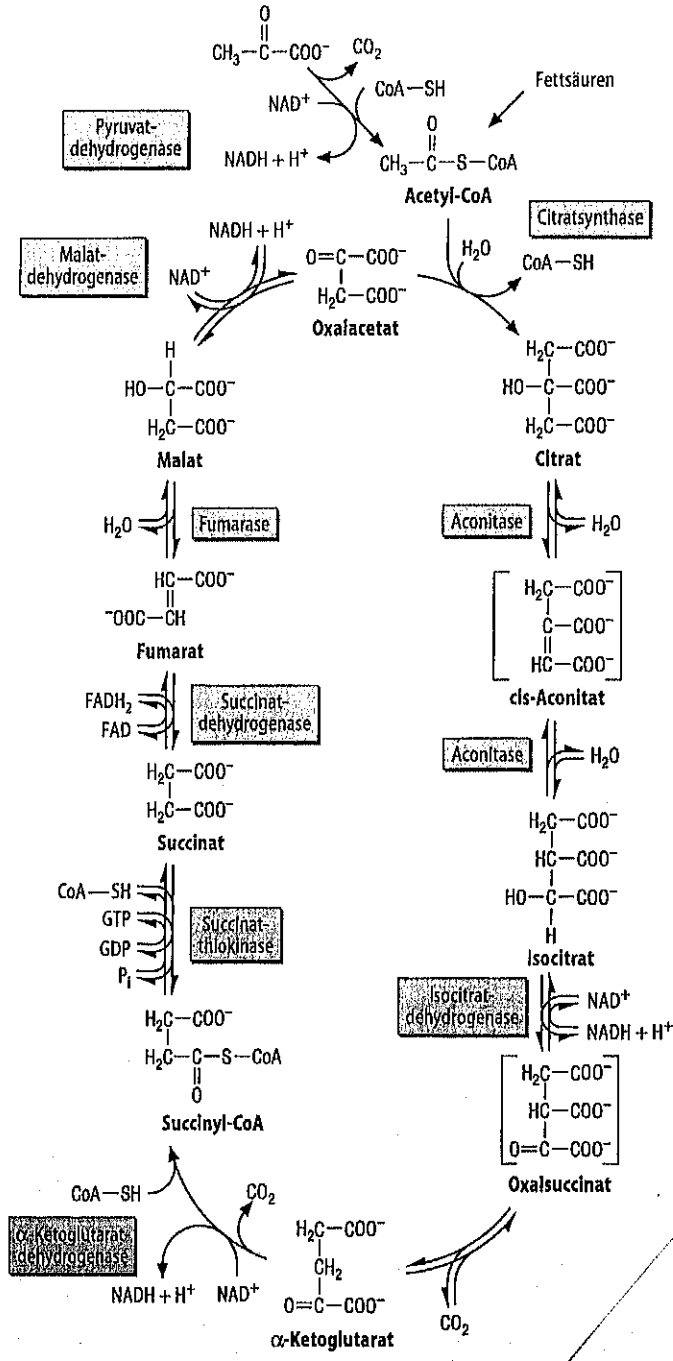


Tabelle 7.2 Energiebilanz bei der Oxidation von Acetyl-CoA im Citratzyklus

| Schritt | H-Akzeptor | ATP-Ausbeute ^a |
|-------------------------------|--|---------------------------|
| Isocitrat → α-Ketoglutarat | NAD ⁺ → NADH + H ⁺ | 3 |
| α-Ketoglutarat → Succinyl-CoA | NAD ⁺ → NADH + H ⁺ | 3 |
| Succinyl-CoA → Succinat | (Substratkettensphosphoryllierung) | 1 |
| Succinat → Fumarat | FAD → FADH ₂ | 2 |
| Malat → Oxalacetat | NAD ⁺ → NADH + H ⁺ | 3 |
| | Summe | 12 |

^a Über die ATP-Ausbeute bei der oxidativen Phosphorylierung s. S. 242

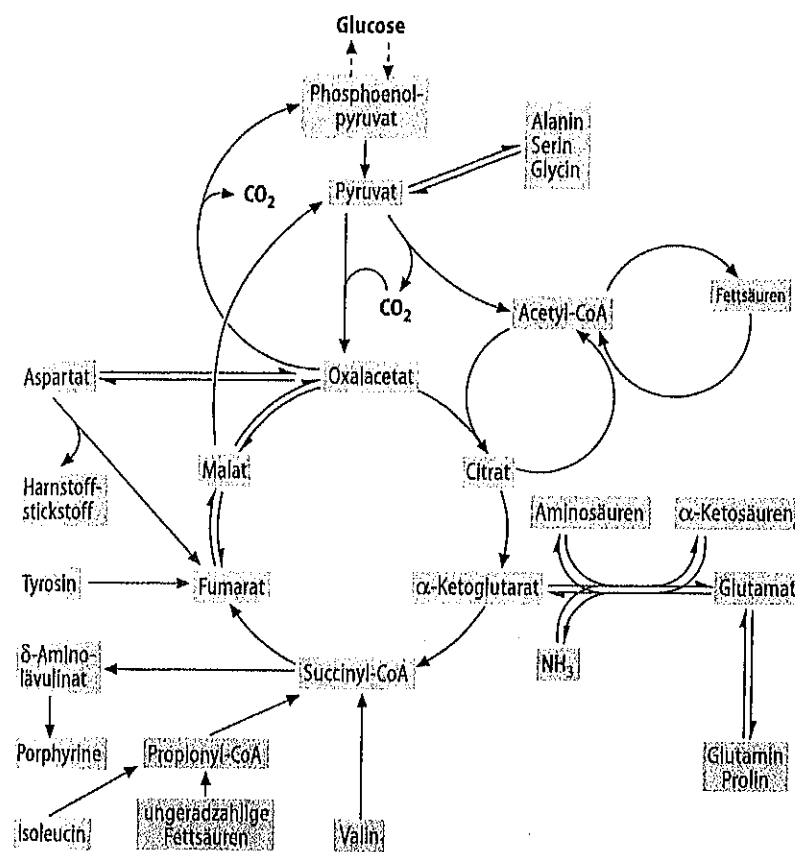


Abb. 7.5 Beziehungen des Citratzyklus zu anderen Stoffwechselwegen. Vom Citratzyklus ausgehende Biosynthesen sind rot, in den Citratzyklus hineinführende, anaplerotische Reaktionen blau dargestellt. (Einzelheiten s. Text)

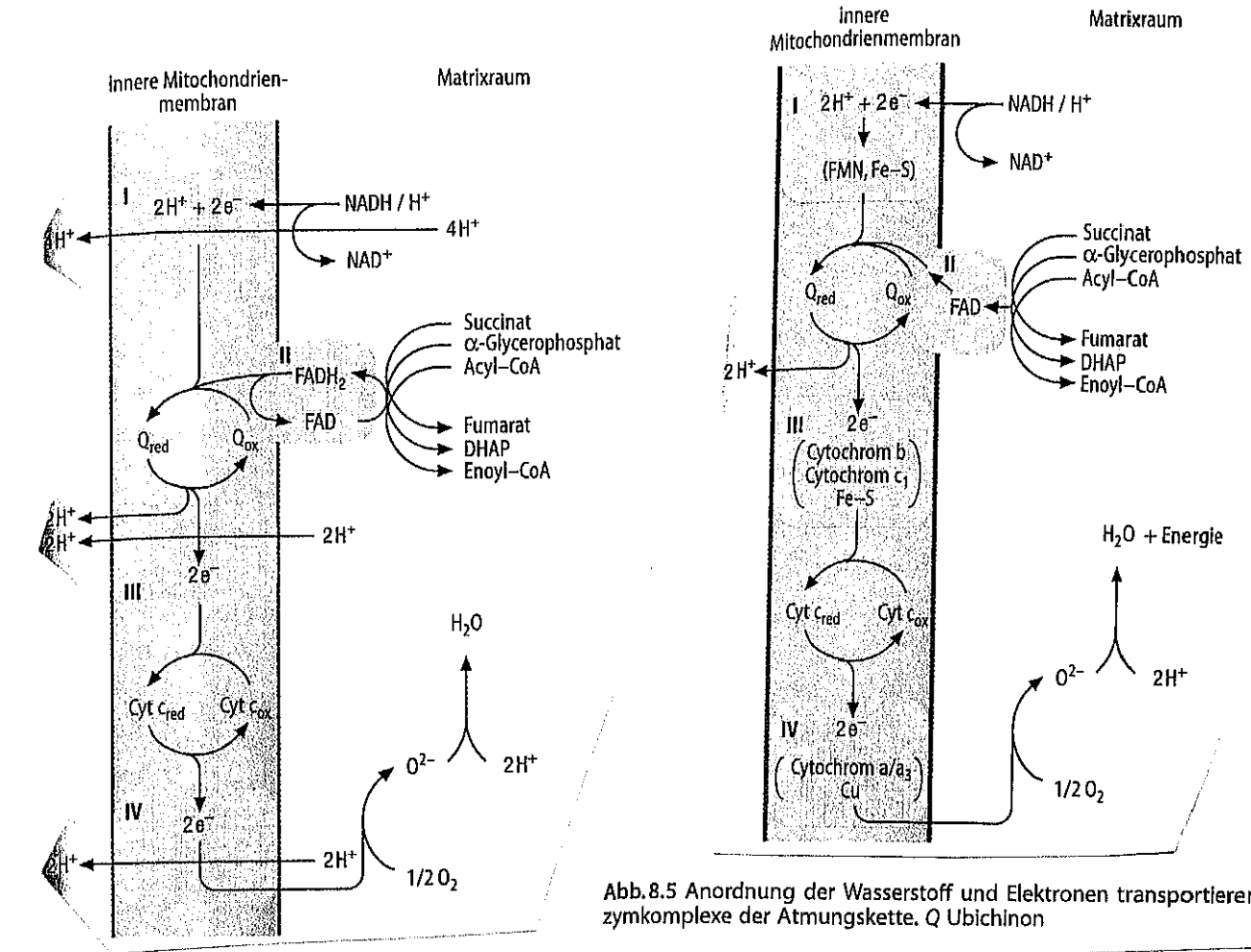


Abb. 8.5 Anordnung der Wasserstoff und Elektronen transportierenden Multienzymkomplexe der Atmungskette. Q Ubichinon

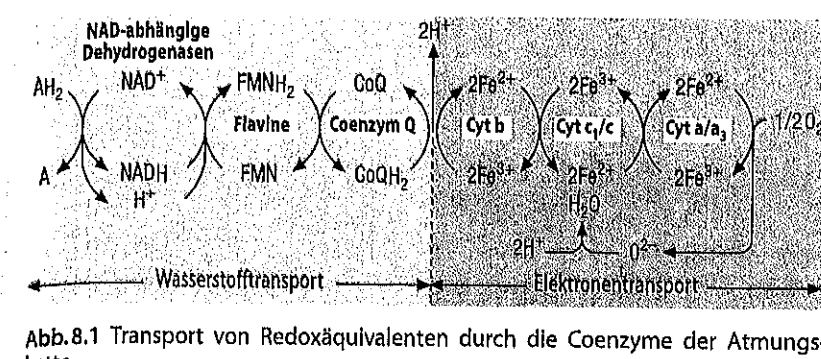


Abb. 8.1 Transport von Redoxäquivalenten durch die Coenzyme der Atmungskette

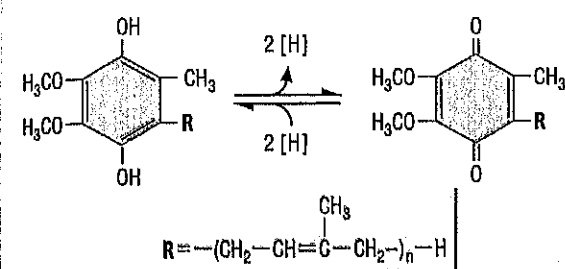


Abb. 8.2 Struktur von Ubichinol und Ubichinon (Coenzym Q, reduziert und oxidiert) (N = 6–10)

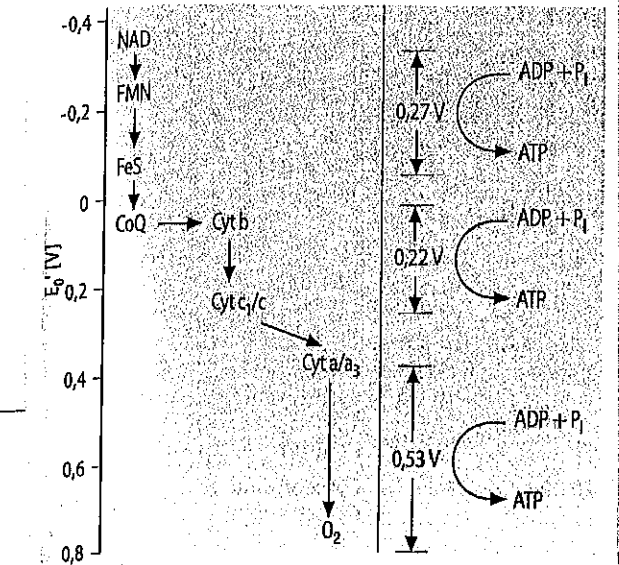
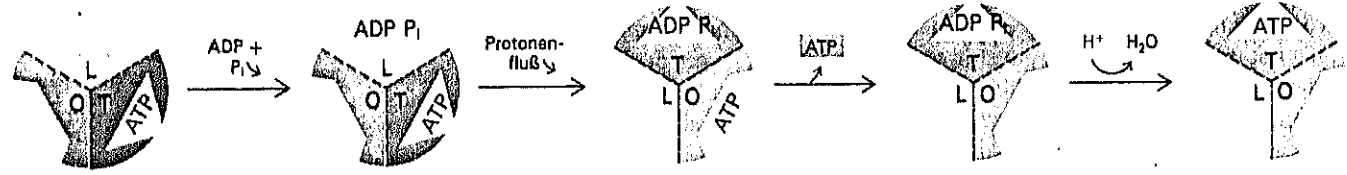
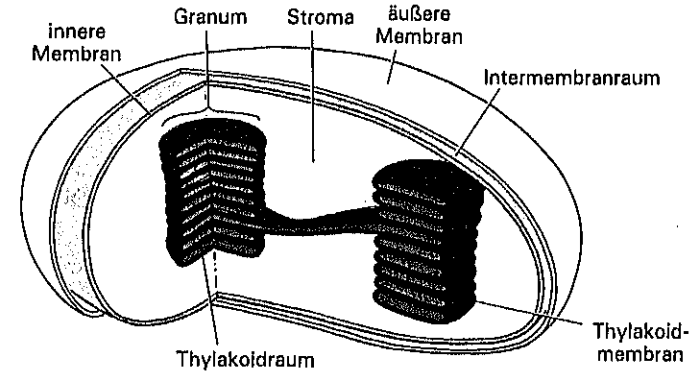


Abb. 8.4 Lokalisation der Schritte der Atmungskette, deren $\Delta E^{\circ'}_{\text{mV}}$ groß genug ist, um eine ATP-Synthese zu ermöglichen



17.28 Der Mechanismus des Bindungswechsels in der ATP-Synthase. Die drei katalytischen Zentren wechseln periodisch zwischen drei verschiedenen Konformationen: O (offen, keine Bindung), L (lockere Bindung) und T (feste Bindung). Der Protonenfluß durch die Synthase treibt die Umwandlung des einen Zustands in den anderen an. Das Wesentliche dieses vorgeschlagenen Mechanismus besteht darin, daß der Protonenfluß zur Freisetzung eines fest gebundenen ATP führt. (Nach Cross, R. L.; Cunningham, D.; Tamura, J. K. *Curr. Top. Cell. Regul.* 24 (1984) S. 336.)



22.2 Schema eines Chloroplasten. (Nach Wolfe, S. L. *Biology of the Cell*, S. 130. Copyright © 1972 bei Wadsworth Publishing Company. Übernommen mit Genehmigung des Verlags.)

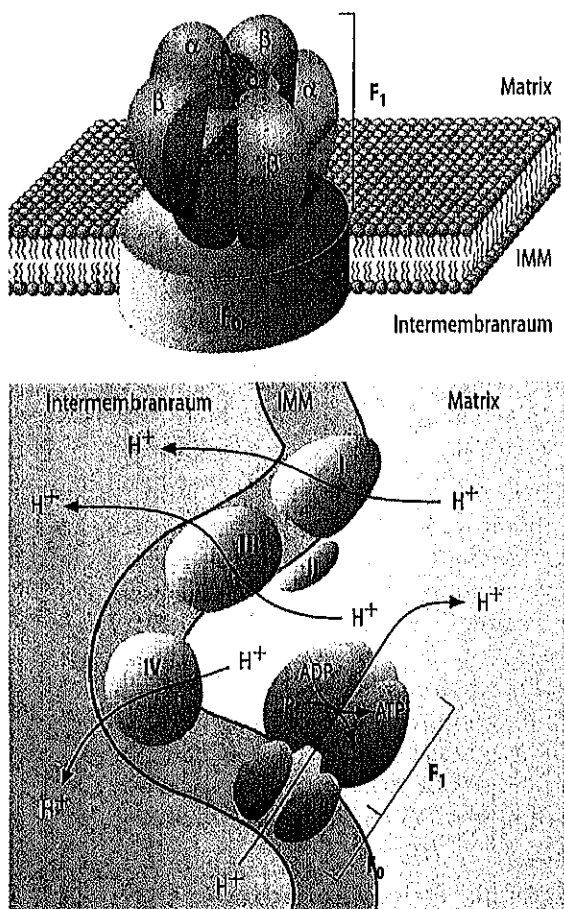
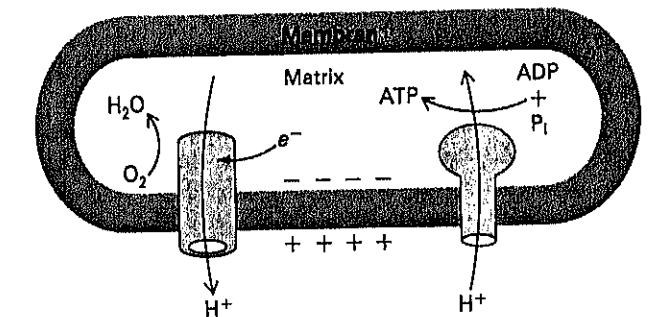
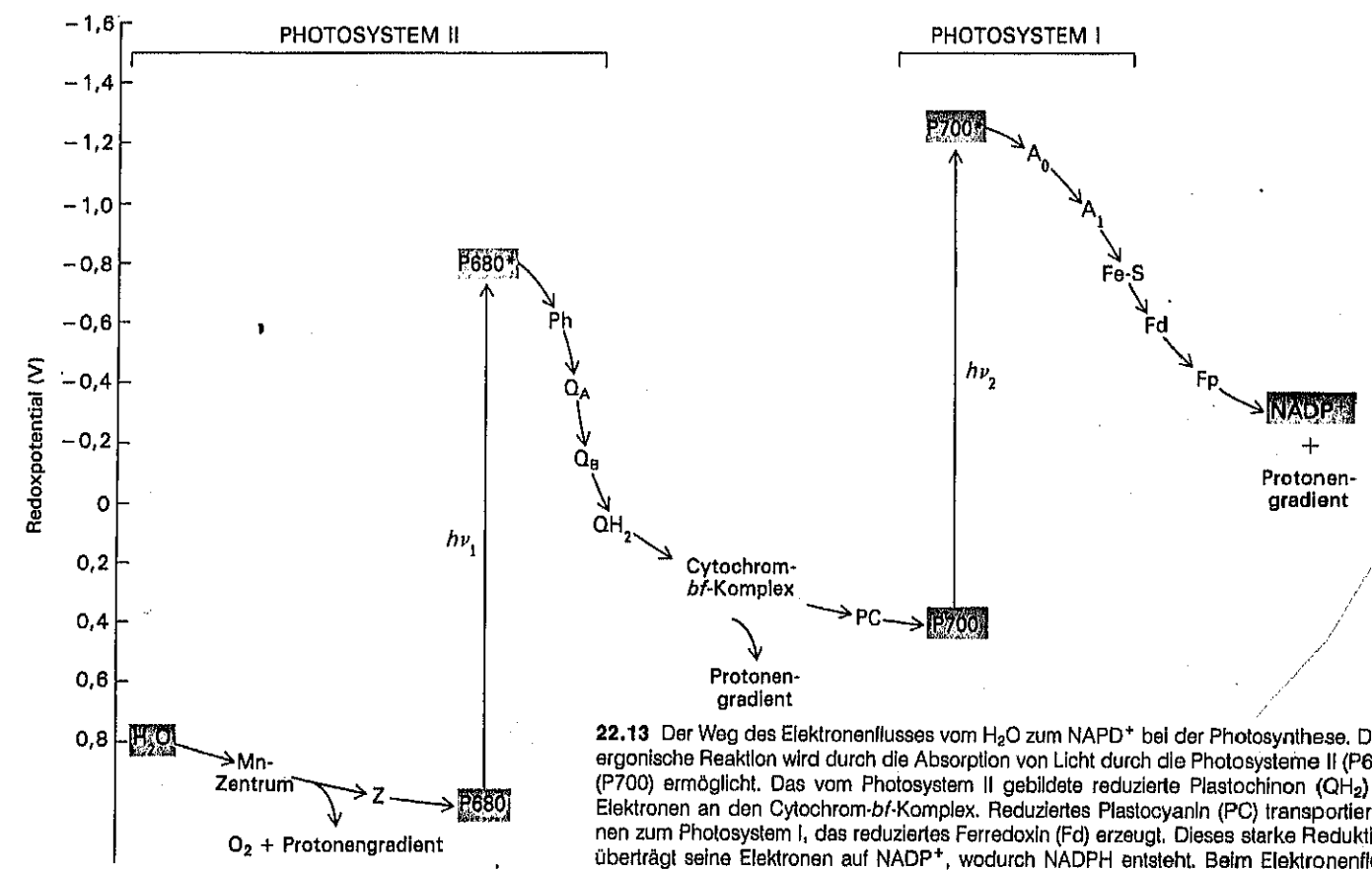


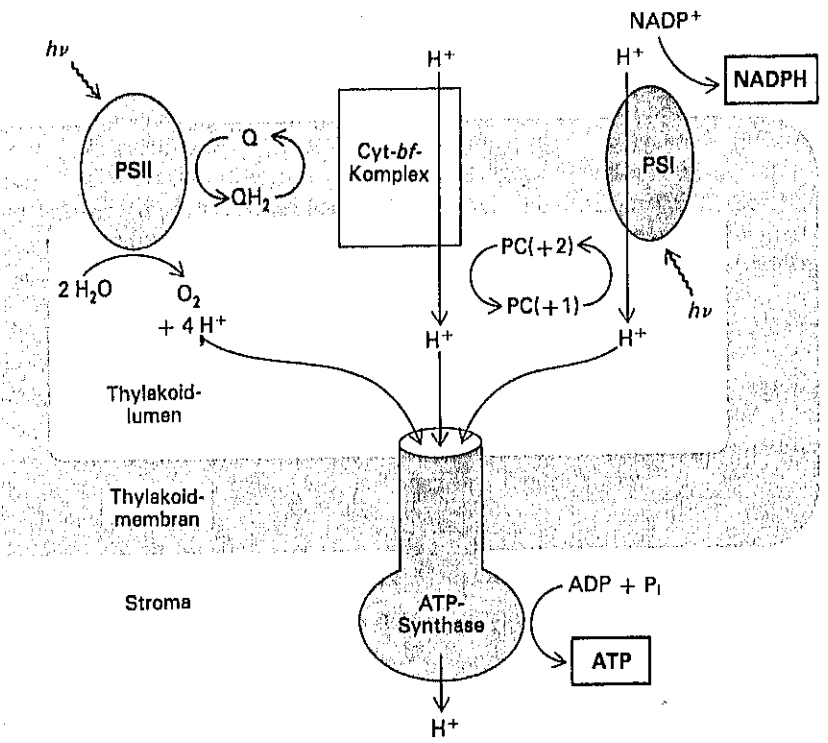
Abb. 8.7 Aufbau und Membranorientierung der F_1/F_0 -ATPase. Oben: Aufbau der F_1/F_0 -ATPase. Man beachte die dreifache Symmetrie des F_1 -Teils, die für den Katalysemechanismus eine entscheidende Rolle spielt. Unten: Zusammenspiel der Elektronen- und Protonen-transportierenden Enzymkomplexe mit der Protonen-translozierenden F_1/F_0 -ATPase.



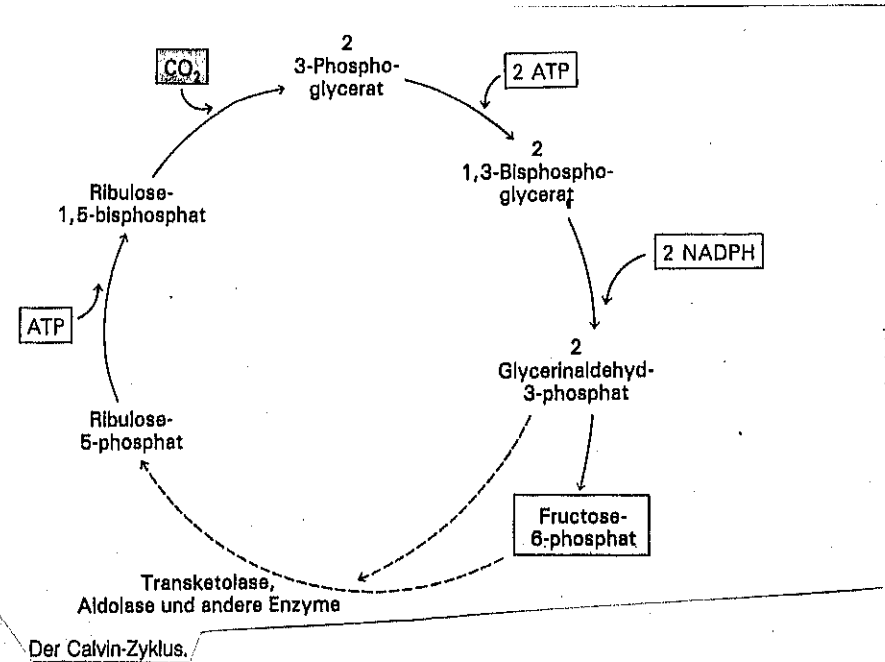
17.2 Oxidation und ATP-Synthese sind über transmembranale Protonenflüsse miteinander gekoppelt.



22.13 Der Weg des Elektronenflusses vom H_2O zum $NADP^+$ bei der Photosynthese. Diese endergonische Reaktion wird durch die Absorption von Licht durch die Photosysteme II (P680) und I (P700) ermöglicht. Das vom Photosystem II gebildete reduzierte Plastochinon (QH_2) übergibt Elektronen an den Cytochrome- bf -Komplex. Reduziertes Plastocyanin (PC) transportiert Elektronen zum Photosystem I, das reduziertes Ferredoxin (Fd) erzeugt. Dieses starke Reduktionsmittel überträgt seine Elektronen auf $NADP^+$, wodurch $NADPH$ entsteht. Beim Elektronenfluß durch den Cytochrome- bf -Komplex bildet sich ein Protonengradient über die Thylakoidmembran aus (Innenseite sauer). Die Wasserspaltung und die Reduktion von $NADP^+$ auf entgegengesetzten Seiten der Thylakoidmembran tragen ebenfalls zu einem Protonengradienten bei. Folgende andere Abkürzungen wurden verwendet: Z ist eine Zwischenstufe zwischen dem Mn-Zentrum und P680; Ph bedeutet Pheophytin; Q_A und Q_B sind plastochinonbindende Proteine; A_0 und A_1 übernehmen Elektronen von $P700^*$; Fp steht für ein Flavoprotein (Ferredoxin-NADP+-Reduktase). (Nach Blankenship, R. E.; Prince, R. C. *Trends Biochem. Sci.* 10 (1985) S. 383.)



22.19 Die vektorielle Anordnung der Photosysteme I und II, des Cytochrome-bf-Komplexes und der ATP-Synthase in der Thylakoidmembran. Durch das lichtinduzierte Photonenpumpen wird der Innenraum sauer. Der Protonenfluß durch CF_0 zur Stomaseite führt zur Synthese von ATP durch CF_1 . Auch NADPH entsteht auf der Stomaseite. (Nach Harold, F. M. *The Vital Force: A Study of Bioenergetics*. New York (Freeman) 1986. S. 271.)

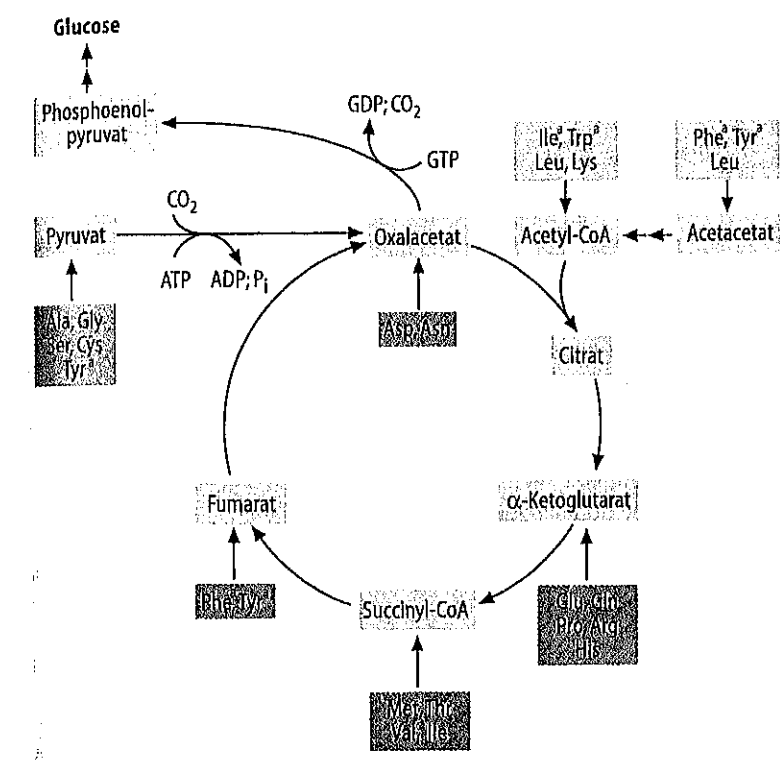
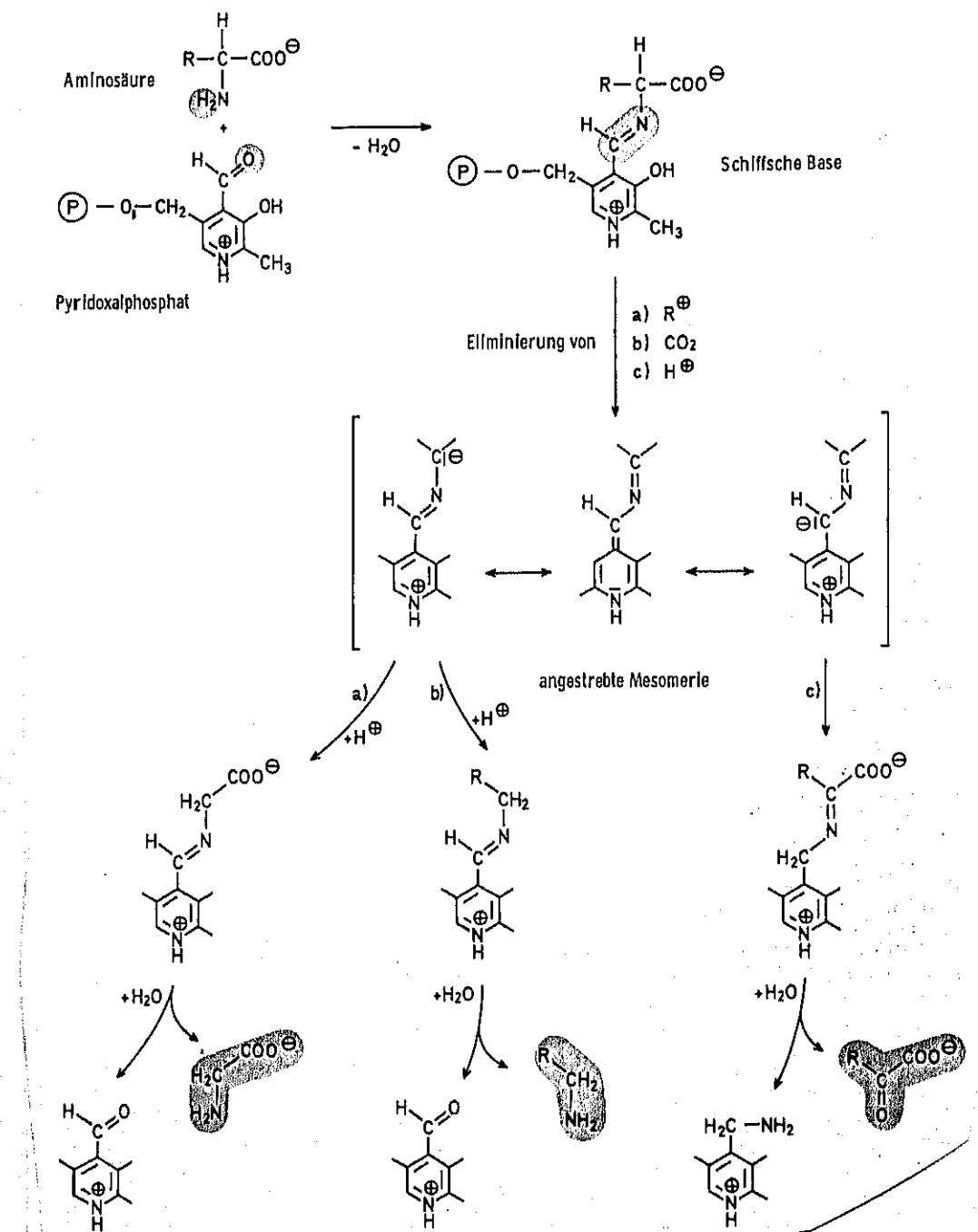
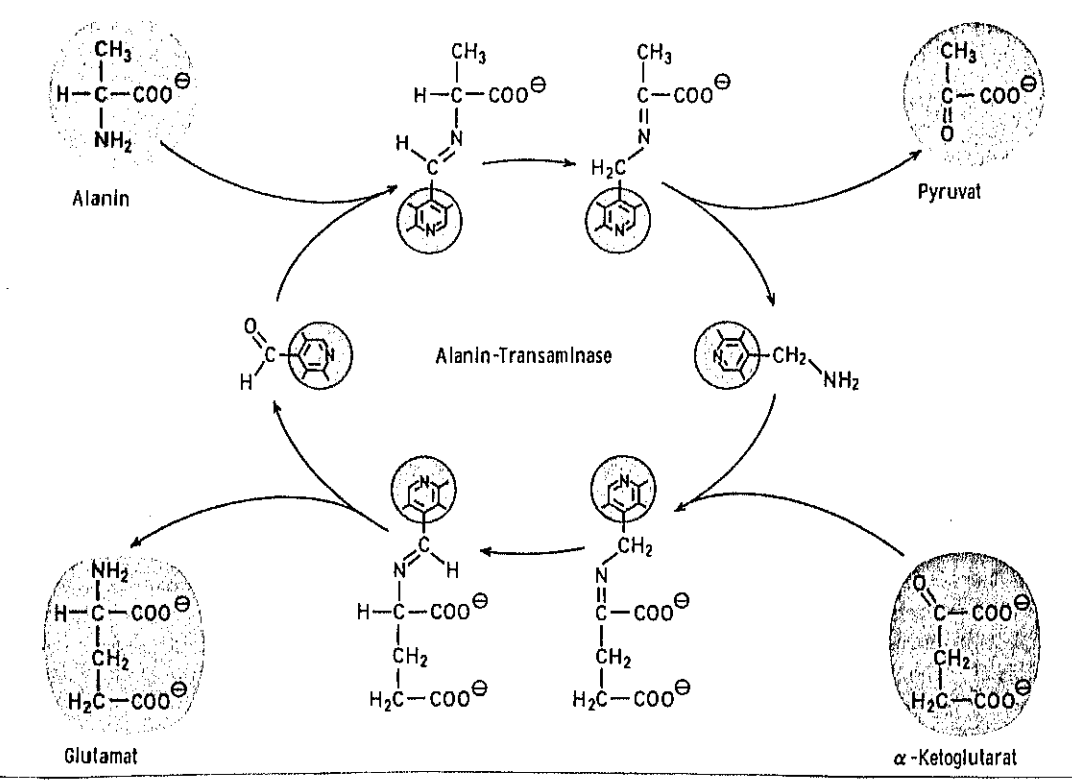


Einige wichtige proteolytische Enzyme

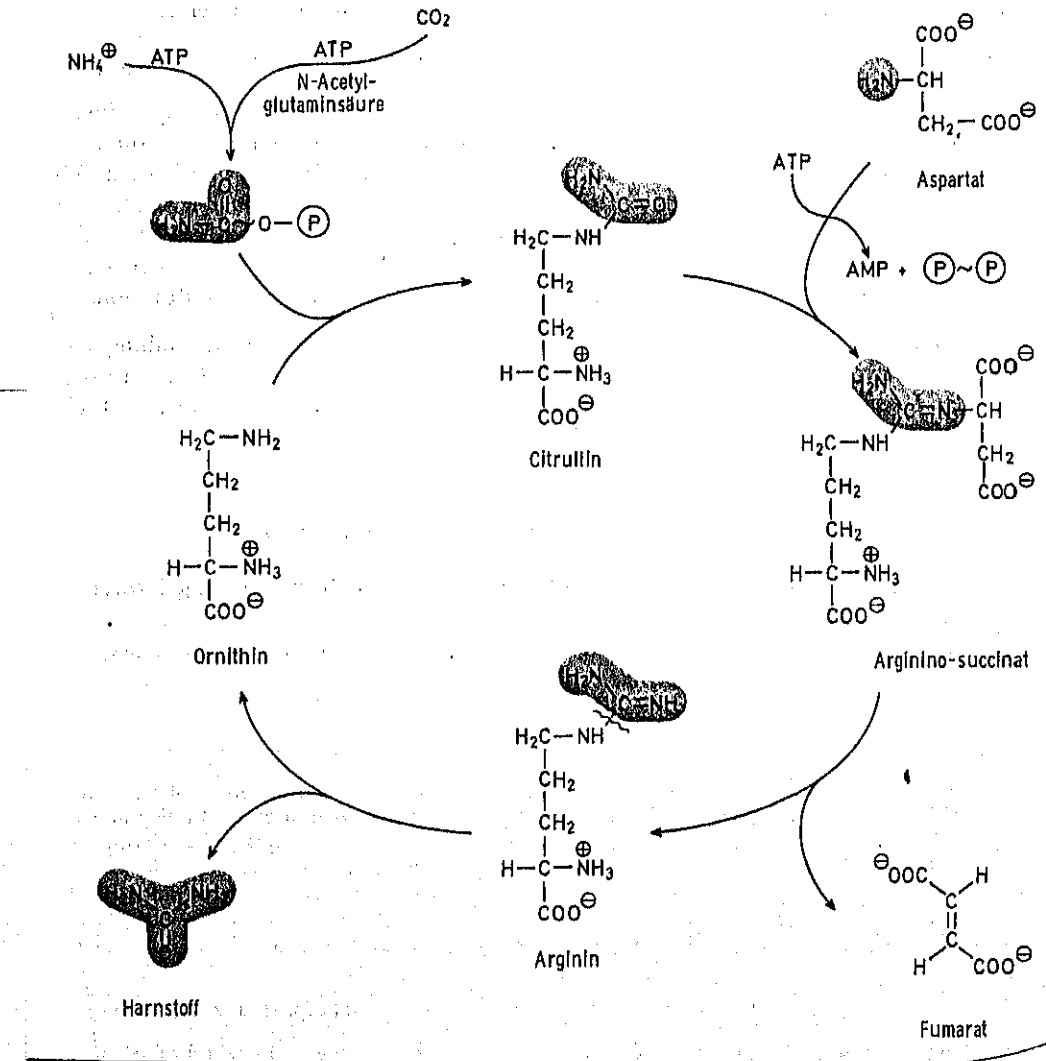
| Name | Aktives Zentrum | Vorkommen | pH-Optimum | Spezifität |
|-----------------------|------------------|-------------------------|------------|---|
| Chymotrypsin A | Ser His | Dünndarm | 7,8 | Tyr ⁻ , Trp ⁻ , Phe ⁻ , Leu ⁻ |
| Trypsin | Ser His | Dünndarm | 7,5–8,5 | Arg ⁻ , Lys ⁻ |
| Thrombin | Ser His | Blutplasma | 7,4 | Arg ⁻ , (Fibrinogen) |
| Kathepsin B | HS-Gruppe | intrazellulär | 5–6 | Arg ⁻ , Lys ⁻ , Phe-X ⁻ |
| Papain | HS-Gruppe | Papaya-Frucht | 5 | Arg ⁻ , Lys ⁻ , Phe-X ⁻ |
| Pepsin A | -COOH-Gruppe | Magen | 1,3–3 | (-Tyr ⁻ , -Phe ⁻) |
| Pepsin C (Gastricsin) | -COOH-Gruppe | Magen | 3–3,5 | (-Tyr ⁻ , -Phe ⁻) |
| Rennin | -COOH-Gruppe | Kälbermagen | | (-Caseinogen) |
| Kathepsin D | -COOH-Gruppe | intrazellulär | 3–4,5 | wie Pepsin |
| Thermolysin | Zn ²⁺ | Bakterien | 6–10 | -Leu, -Phe |
| Kollagenase | Ca ²⁺ | Clostridium (Bakterien) | 8,6 | -Pro-X-Gly-Pro (Kollagen) |

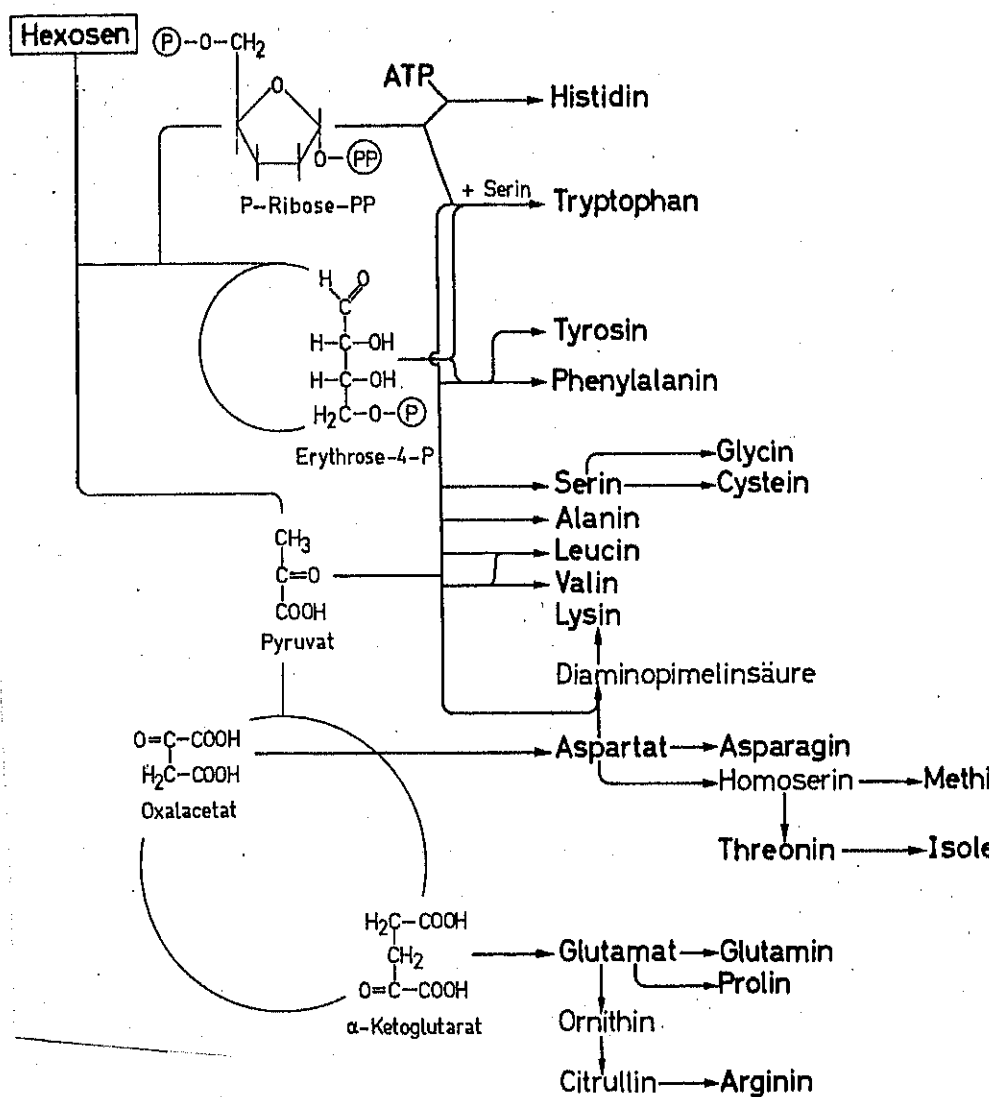
Tabelle 8-2. Einige biogene Amine

| Aminosäure | Decarboxylierungsprodukt | Vorkommen und Bedeutung |
|---------------------------|----------------------------|----------------------------|
| Lysin | Cadaverin | Ribosomen; Bakterien |
| Ornithin | Putrescin | Ribosomen; Bakterien |
| Methionin | (→ Spermidin, Spermin) | Ribosomen; Sperma |
| Arginin | Agmatin | Bakterien (Darmflora) |
| Serin | Äthanolamin | Phosphatide |
| Threonin | Propanolamin | Vitamin B ₁₂ |
| Cystein | Cysteamin | Coenzym A |
| Asparaginsäure | β-Alanin | Coenzym A, Pantothensäure |
| Glutaminsäure | γ-Aminobuttersäure | Gehirn (Ganglienblocker) |
| Histidin | Histamin | Blutdruckwirksam |
| Tyrosin | Tyramin | Uterus-kontrahierend |
| 3,4-Dihydroxyphenylalanin | Dopamin (→ Adrenalin) | Gewebshormon (→ Hormon) |
| Tryptophan | Tryptamin | Hormon? |
| 5-Hydroxytryptophan | Serotonin (→ Melatonin) | Gewebshormon (Hormon) |



(Abb. 9.10 Beziehungen zwischen Aminosäureabbau und Citratzyklus. Rot: Glucogene Aminosäuren; grün: Ketogene Aminosäuren; ^a: Aminosäuren, deren Abbau sowohl glucogene als auch ketogene Bruchstücke liefert.





Die zwanzig zum Aufbau der Proteine notwendigen Aminosäuren werden aus einfachen Verbindungen des Intermediärstoffwechsels synthetisiert

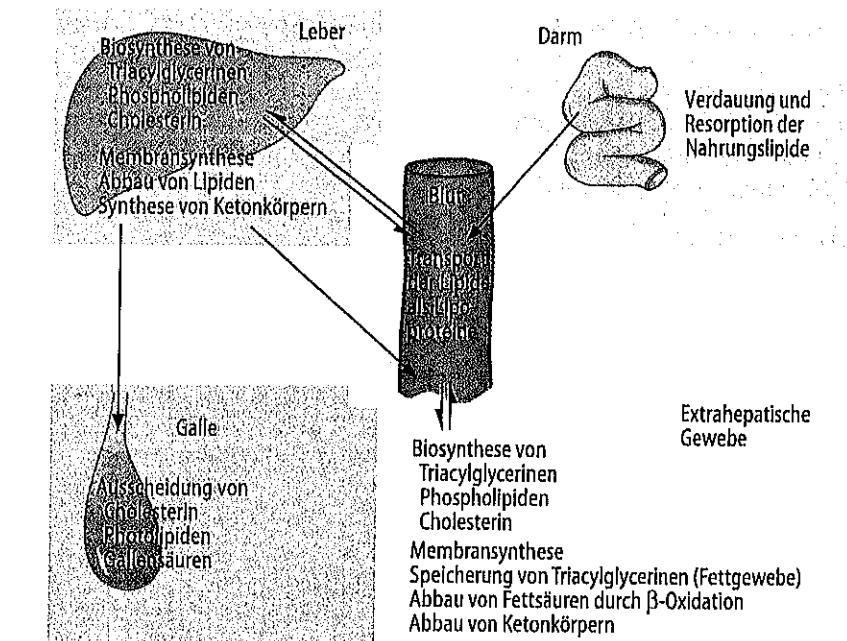


Abb. 6.9 Grundzüge des Lipidstoffwechsels im menschlichen Organismus.

| Nicht verseifbare Lipide | | Verseifbare (zusammengesetzte) Lipide | | | |
|--------------------------|--------------------------|---------------------------------------|---------------|-----------------------|------------------|
| Fettsäuren und Derivate | Isoprenerivate | Acylreste | Verestert mit | Weitere Komponenten | Bezeichnung |
| Gesättigte Fettsäuren | Retinol Phyllochinone | Cholesterin Steroidhormone | 1 | Langketigen Alkoholen | Wachse |
| Ungesättigte Fettsäuren | Tocopherol Dolichol | D-Vitamine Gallensäuren | 1-3 | Glycerin | Acylglycerine |
| Essentielle Fettsäuren | | | 1-2 | Glycerin-3-phosphat | Phosphoglyceride |
| | Prostaglandine | | 1 | Sphingosin | Sphingolipide |
| | | | 1 | Cholesterin | Cholesterinester |

gesättigte Fettsäure

ungesättigte Fettsäure

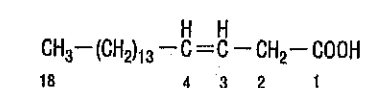
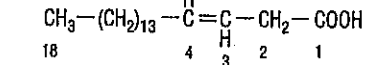
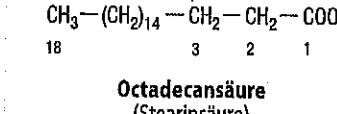


Abb. 6.1 Allgemeiner Aufbau von gesättigten und ungesättigten Fettsäuren. Die Abbildung zeigt die funktionellen Gruppen von Fettsäuren sowie die Möglichkeiten der Zählung der einzelnen C-Atome

Tabelle 6.2 Wichtige Fettsäuren

| Trivialname | Chemischer Name | Formel | Vorkommen |
|--|--|-------------------|---|
| Gesättigte Fettsäuren: Summenformel $C_nH_{2n+1}COOH$ | | | |
| Myristinsäure | Tetradecansäure | $C_{14}H_{28}O_2$ | Anker für Membranproteine |
| Palmitinsäure | Hexadecansäure | $C_{16}H_{32}O_2$ | Bestandteil tierischer und pflanzlicher Lipide |
| Stearinsäure | Octadecansäure | $C_{18}H_{36}O_2$ | Bestandteil tierischer und pflanzlicher Lipide |
| Lignocerinsäure | Tetracosansäure | $C_{24}H_{48}O_2$ | Bestandteil der Cerebroside und Sphingomyeline |
| Einfach ungesättigte Fettsäuren: Summenformel $C_nH_{2n-1}COOH$ | | | |
| Palmitoleinsäure | cis- Δ^9 -Hexadecensäure | $C_{16}H_{30}O_2$ | In Milchfett und Depotfett, Bestandteil der Pflanzenöle |
| Ölsäure | cis- Δ^9 -Octadecensäure | $C_{18}H_{34}O_2$ | Hauptbestandteil aller Fette und Öle |
| Nervonsäure | cis- Δ^{15} -Tetraconensäure | $C_{24}H_{46}O_2$ | In Cerebroiden |
| Mehrfach ungesättigte Fettsäuren | | | |
| Linolsäure ^a | $\Delta^{9,12}$ -Octadecadiensäure | $C_{18}H_{32}O_2$ | In Pflanzenölen und Depotfett |
| Linolensäure ^a | $\Delta^{9,12,15}$ -Octadecatriensäure | $C_{18}H_{30}O_2$ | In Fischölen |
| Arachidonäure | $\Delta^{5,8,11,14}$ -Eicosatetraensäure | $C_{20}H_{32}O_2$ | In Fischölen, Bestandteil vieler Phosphoglyceride |

^a Essentielle Fettsäuren (S.576).

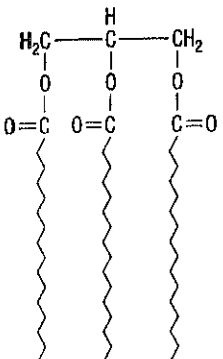


Abb. 6.2 Tripalmitoylglycerin als Beispiel für ein Triacylglycerin

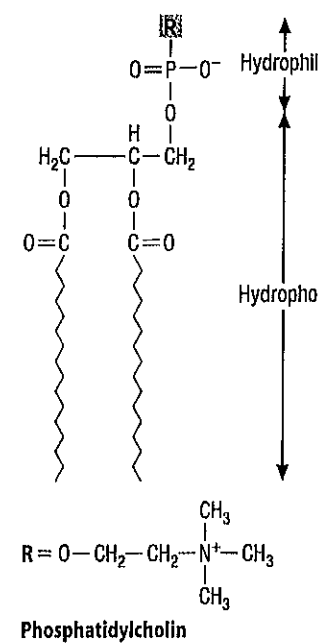


Abb. 6.3 Aufbau von Phosphoglyceriden. Der hydrophobe Teil des Moleküls besteht aus den Alkanketten der Fettsäurereste, die mit zwei der drei Hydroxylgruppen des Glycerins verestert sind. Die dritte Hydroxylgruppe ist mit Phosphorsäure verestert, welche in Form eines Diesters mit den als R bezeichneten Substituenten verknüpft ist. Diese sind für die hydrophilen Eigenschaften des Moleküls verantwortlich

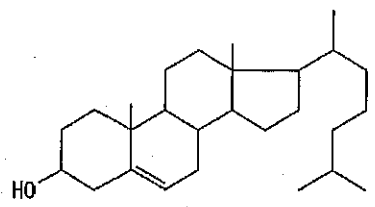


Abb. 6.8 Struktur des Cholesterins

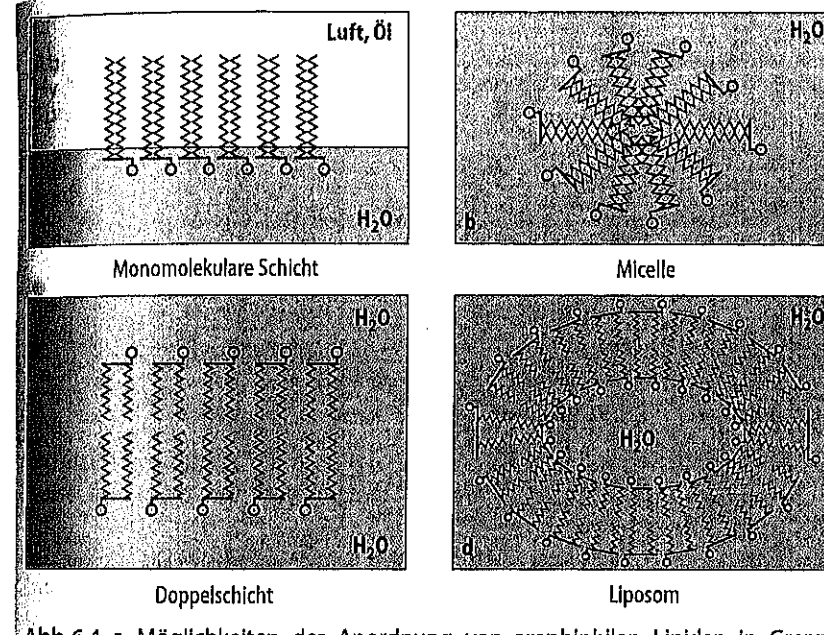


Abb. 6.4 a Möglichkeiten der Anordnung von amphiphilen Lipiden in Grenzschichten; b – d im Wasser. Die rot hervorgehobenen Teile der Phospholipidmoleküle stellen die hydrophilen Bezirke, die schwarz gezeichneten die hydrophoben Bezirke dar

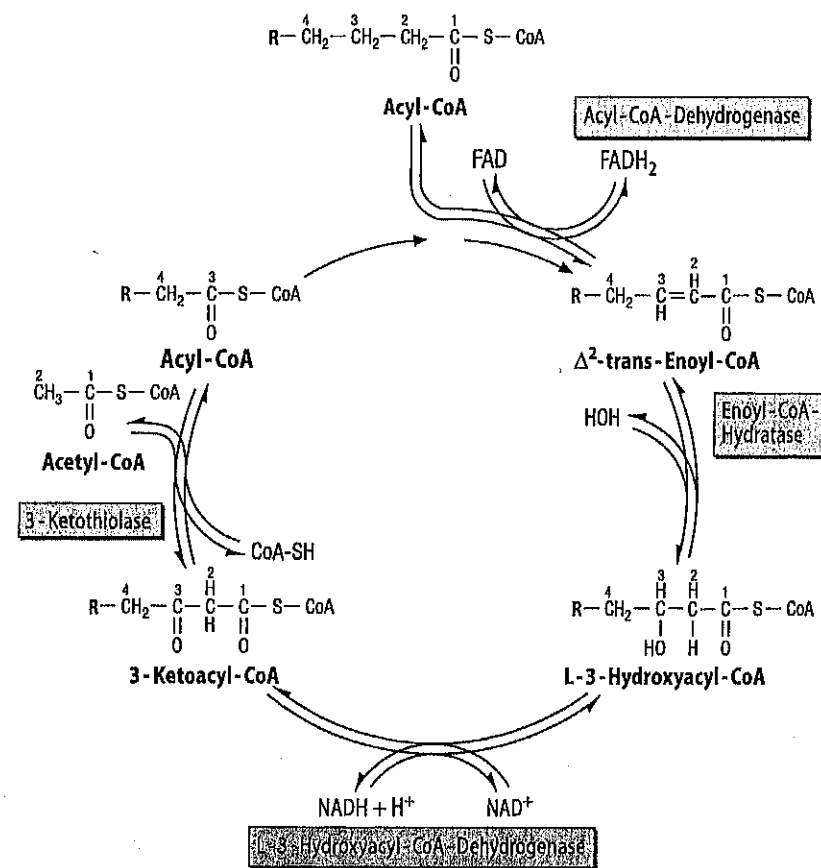


Abb. 6.11 Abbau geradzahliger Fettsäuren durch β -Oxidation. (Einzelheiten s. Text)

Passiver Transport
(einen Konzentrationsgradienten abwärts)

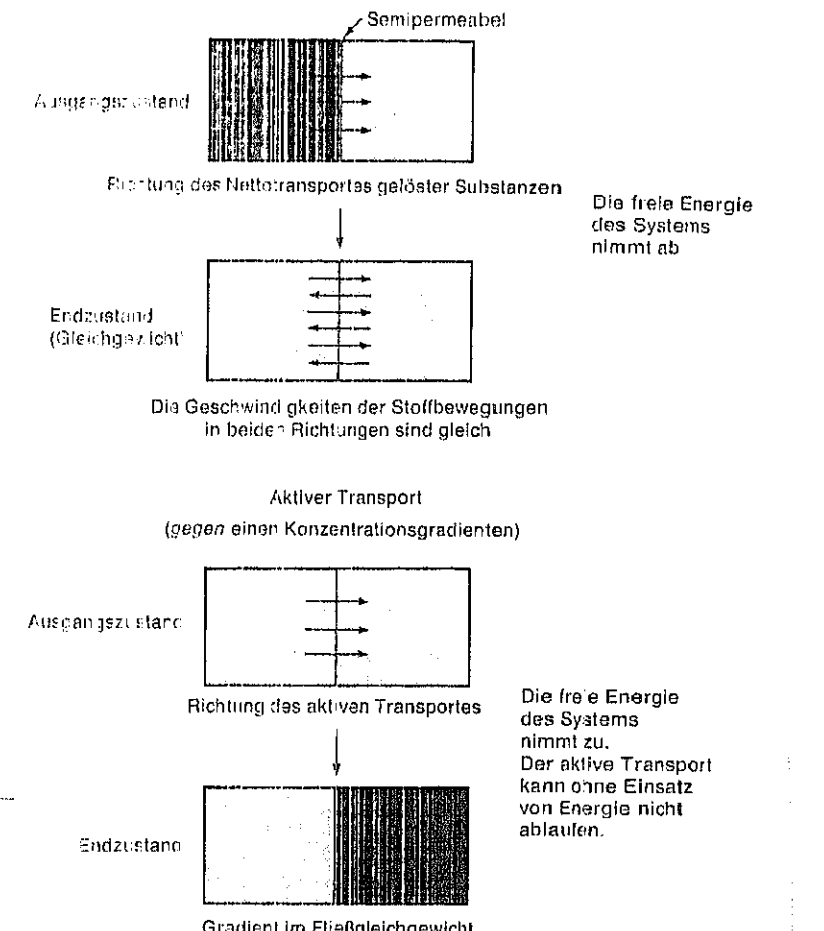


Abb. 78 Schematische Darstellung eines aktiven Transportsystems. Der energieübertragende Prozeß (farbig) erlaubt den Transport von S gegen einen Konzentrationsgradienten.

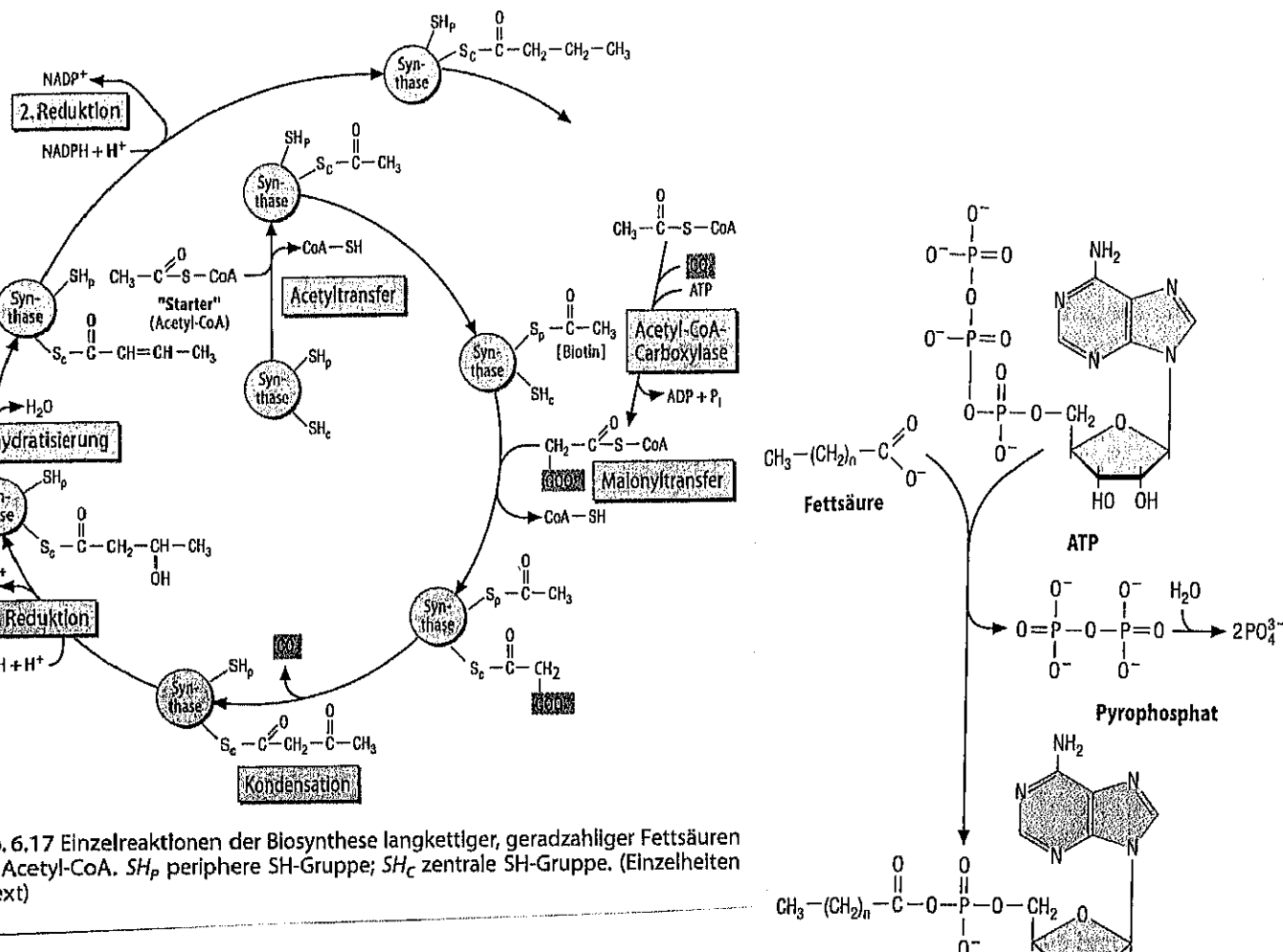
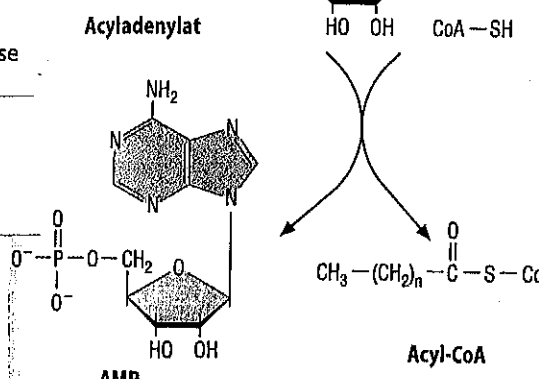


Abb. 6.17 Einzelreaktionen der Biosynthese langkettiger, geradzahliger Fettsäuren aus Acetyl-CoA. SH_p periphere SH-Gruppe; SH_c zentrale SH-Gruppe. (Einzelheiten s. Text)

Abb. 6.10 Aktivierung von Fettsäuren zu Acyl-CoA durch die Thiolkinase



Polypeptidkette von ACP (Serinrest)

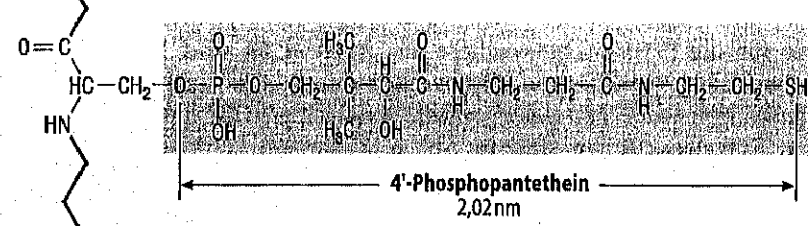


Abb. 6.18 4'-Phosphopantethein als prostetische Gruppe der Acyl-Carrier-Domäne der Fettsäuresynthase. Diese Domäne wird auch als Acyl-Carrier-Protein (ACP) bezeichnet

Abb. 75 Schematische Darstellung des passiven und aktiven Transports. Die Farbdichte der Kompartimente soll die Stoffkonzentrationen widerspiegeln.

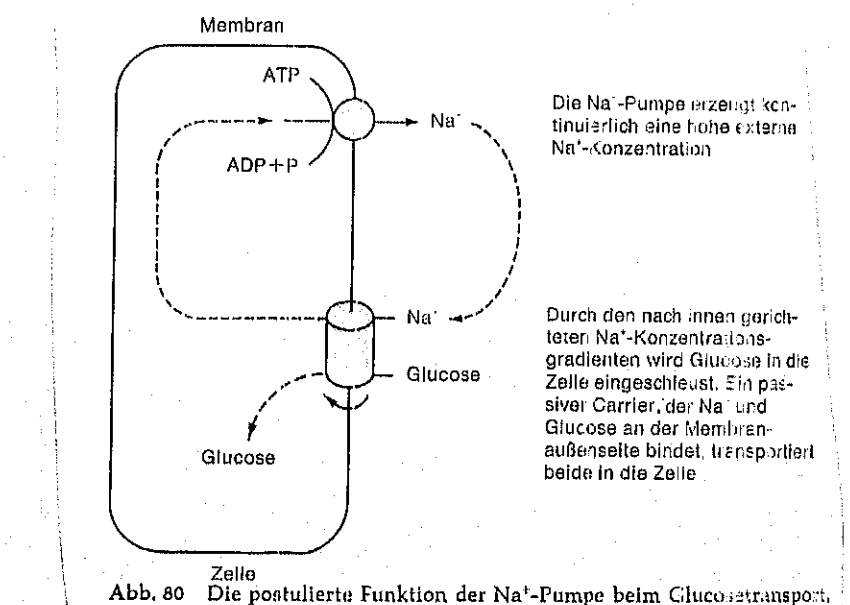


Abb. 80 Die postulierte Funktion der Na⁺-Pumpe beim Glucosetransport

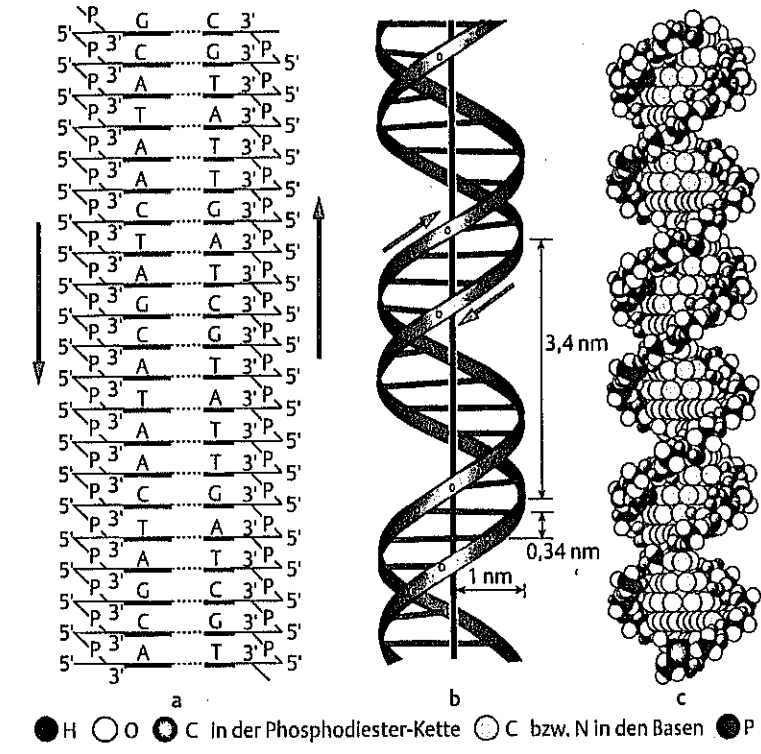
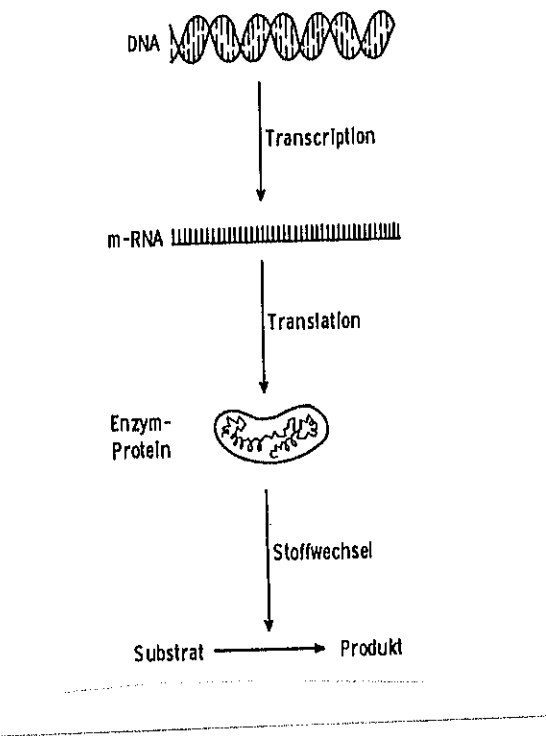
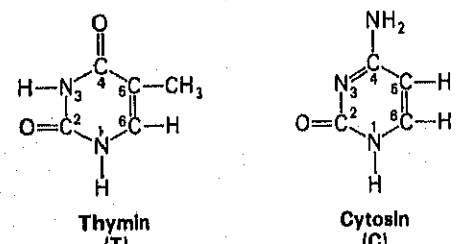
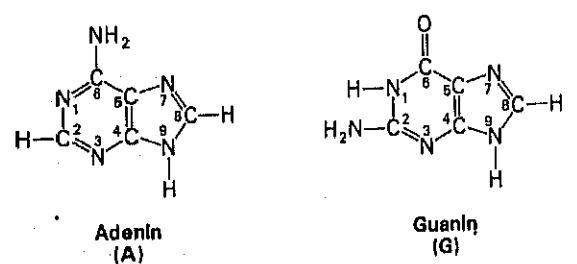
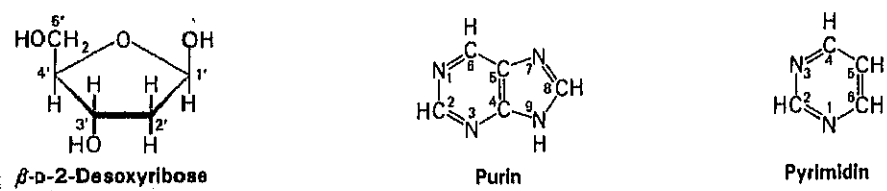


Abb. 2.6 Die DNA-Doppelhelix. a Die beiden Strände der DNA verlaufen „antiparallel“: ein „freies“ nicht mit einem Nachbar-Nucleotid verknüpftes 5'-Ende befindet sich am linken Strang unten und am rechten Strang oben. b Dimensionen der Doppelhelix: eine vollständige Windung verläuft über 3,4 nm und enthält 10 Basenpaare. c Kalottenmodell der DNA-Doppelhelix [nach 4].



4.2 Struktur eines kurzen Stückes einer DNA-Kette.

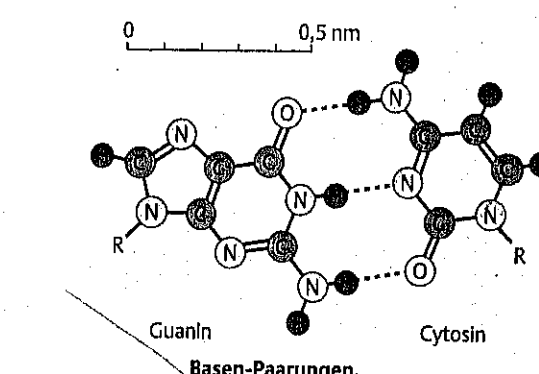
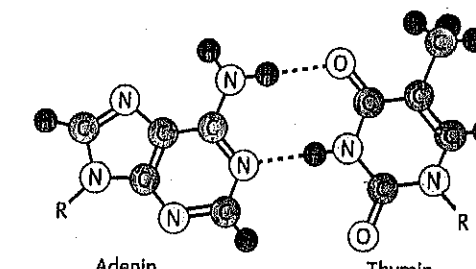
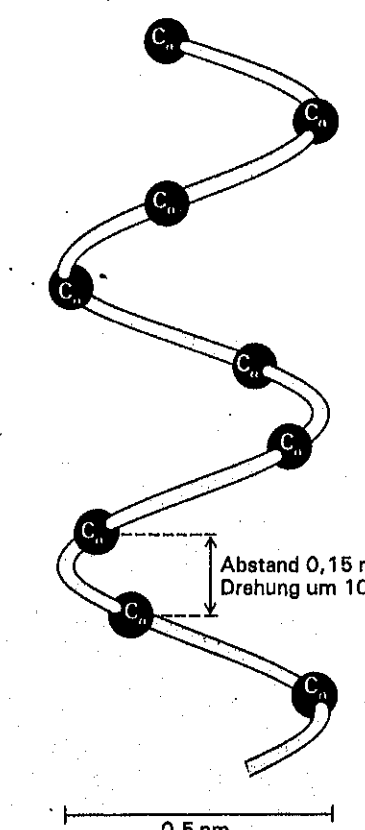
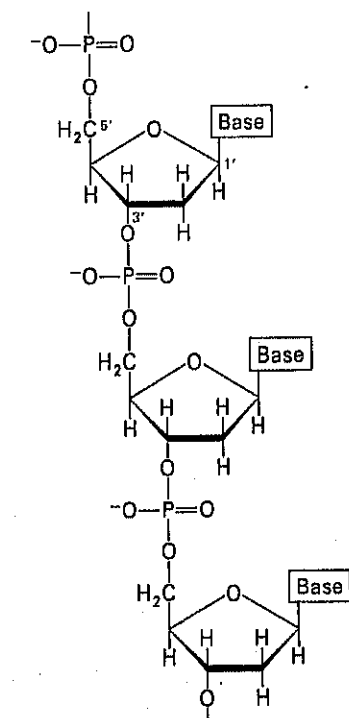


Tabelle 6.1: RNA-Moleküle in *E. coli*

| Typ | relative Menge (%) | Sedimentationskoeffizient (S) | Masse (kd) | Anzahl der Nucleotide |
|-----------------------|--------------------|-------------------------------|--------------------|-----------------------|
| ribosomale RNA (rRNA) | 80 | 23 | $1,2 \times 10^3$ | 3700 |
| | | 16 | $0,55 \times 10^3$ | 1700 |
| | | 5 | $3,6 \times 10^1$ | 120 |
| transfer-RNA (tRNA) | 15 | 4 | $2,5 \times 10^1$ | 75 |
| messenger-RNA (mRNA) | 5 | | heterogen | |

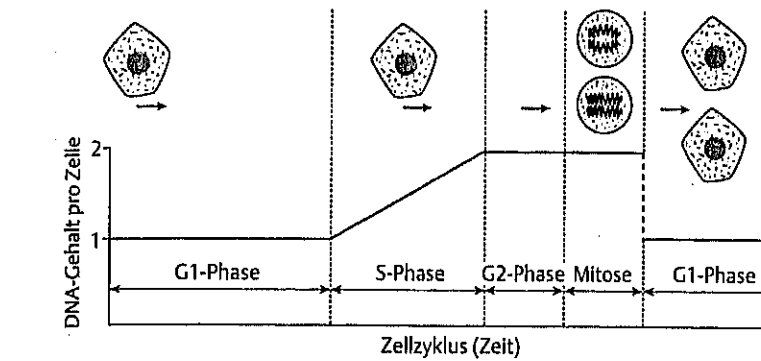
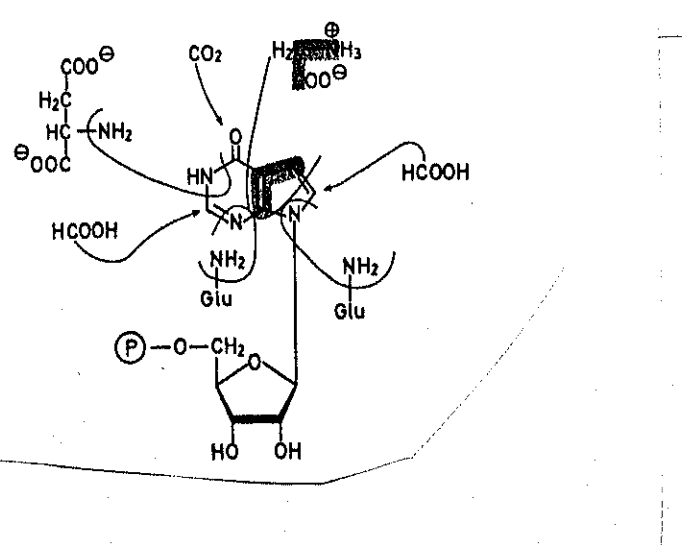
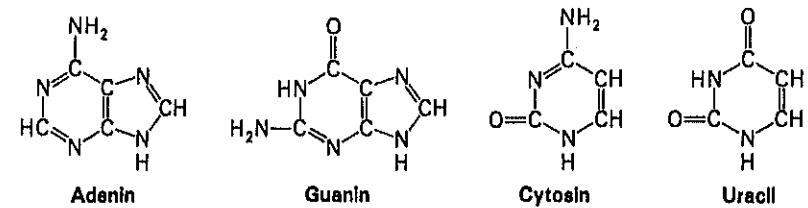
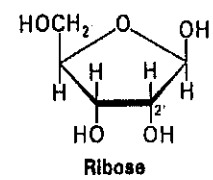
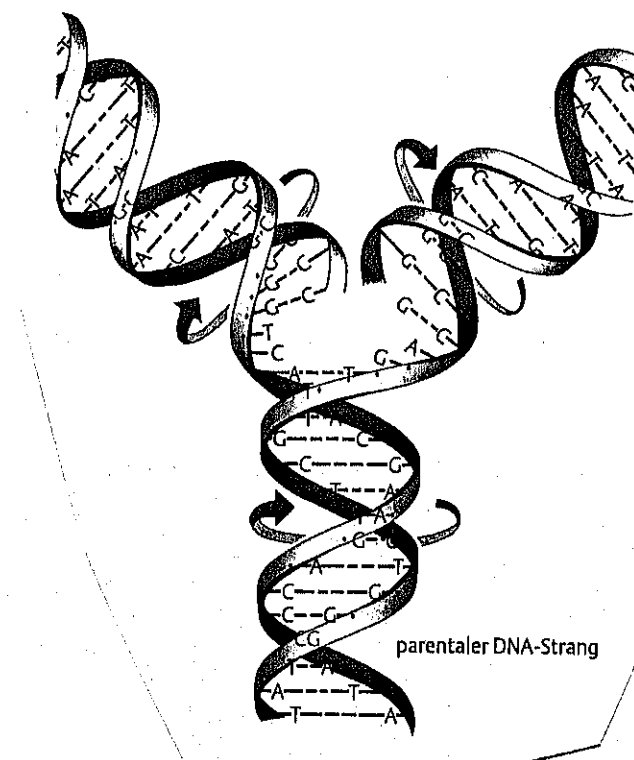


Abb. 6.25 Phasen des Zellzyklus. Die DNA-Synthese-Phase bestimmt man mit Hilfe autoradiographischer Methoden (siehe Box); und die M-Phase durch einfache mikroskopische Beobachtung. Die experimentell nicht direkt zugänglichen Zellen dazwischen sind die beiden G-Phasen (gap, Lücke). Die G1-Phase ist von unterschiedlicher Länge: In schnell proliferierenden Zellen liegt sie zwischen 2 und 20 Stunden. In ruhenden Geweben, etwa in Nervenzellen, kann sie ein Erwachsenenleben dauern. Man spricht dann – und in vergleichbaren zellbiologischen Situationen – von der G0-Phase. Im Gegensatz dazu sind die übrigen Zellzyklus-Zeiten relativ konstant: S-Phase: 6–10 Stunden; G2-Phase: 2–4 Stunden; M-Phase (Mitose): 3–4 Stunden.



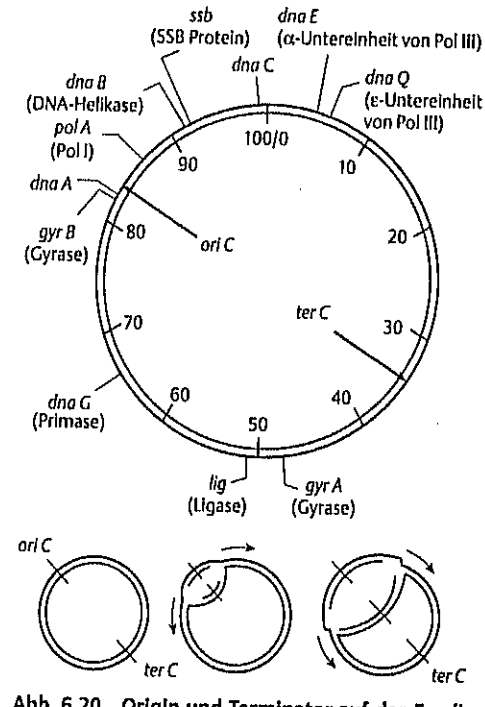


Abb. 6.20 Origin und Terminator auf der *E. coli*-Genkarte

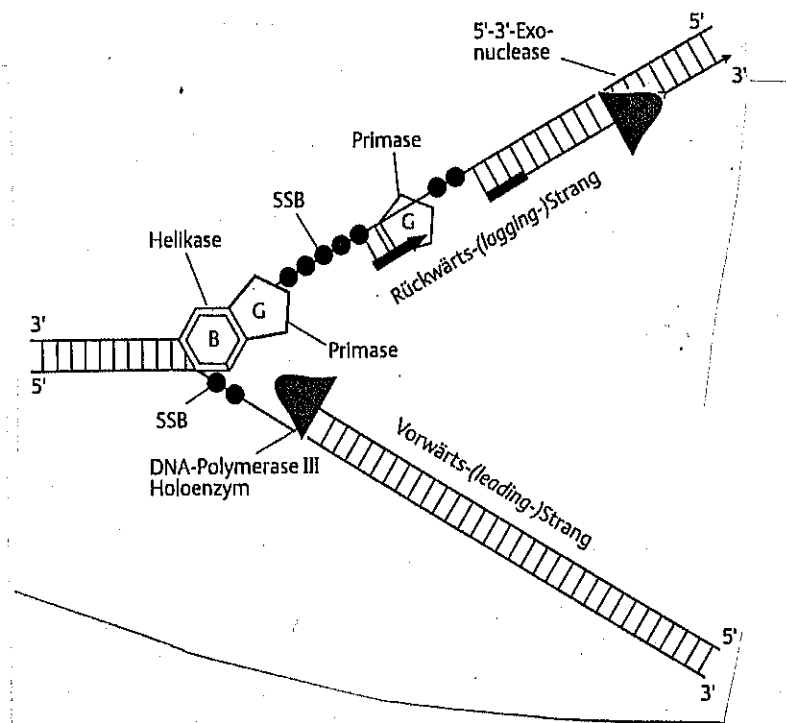


Abb. 6.17 Replikationsgabel: Einfache Version.
Die RNA-Primer sind als dicke grüne Linien gezeichnet.
Beachte, daß einige wichtige Enzyme in der Skizze nicht erwähnt werden: DNA-Ligase, DNA-Topsomerase u.a.

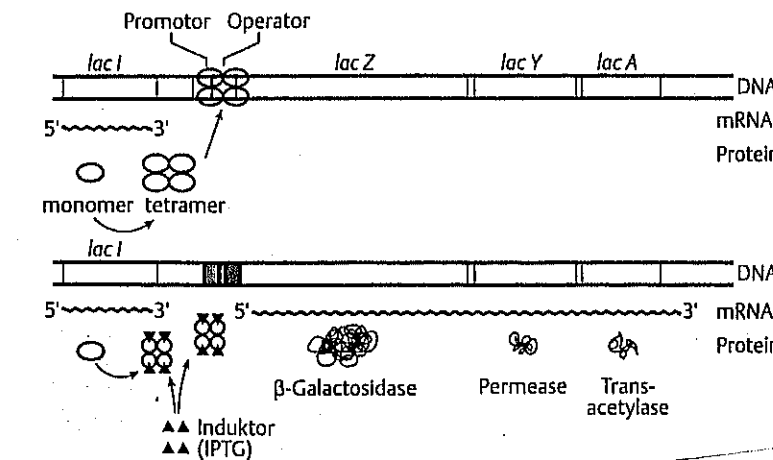


Abb. 4.38 Repression und Expression des *lac*-Operons. oben In Abwesenheit eines Induktors bindet sich der Repressor an die Operator-Sequenz und blockiert damit den Zugang der RNA-Polymerase zum Promotor. Das *lac*-Operon ist geschlossen. unten Ein Induktor wie Allolactose oder IPTG bindet an den Repressor, der dabei seine Konformation verändert und die Fähigkeit zur DNA-Bindung verliert. Die RNA-Polymerase kann nun die Synthese von mRNA durchführen. Das *lac*-Operon wird exprimiert.

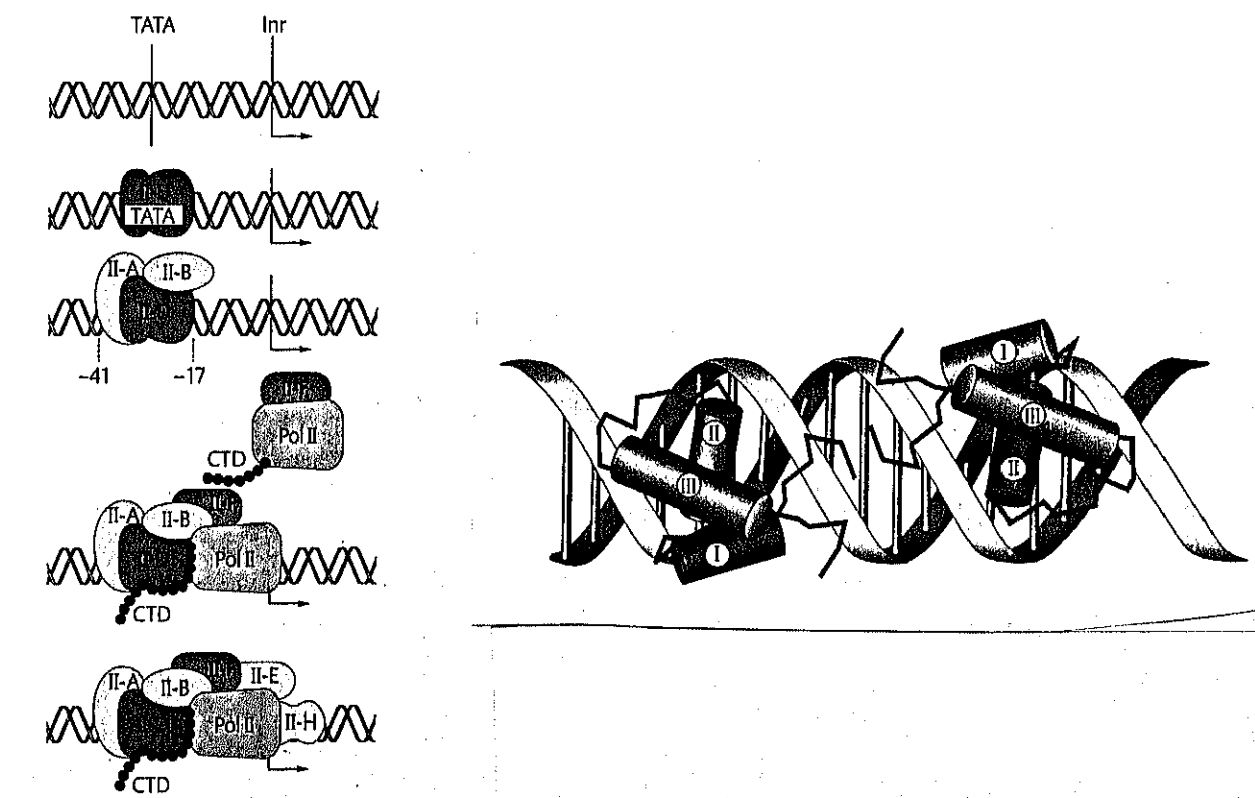
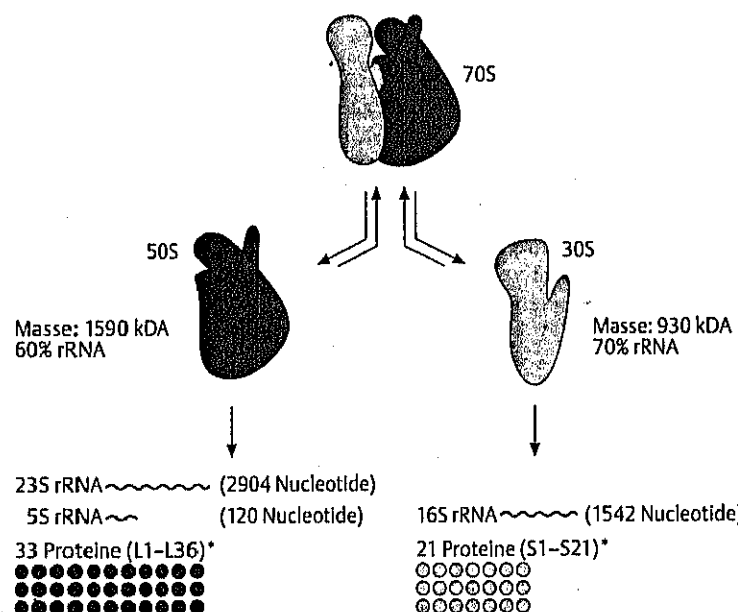
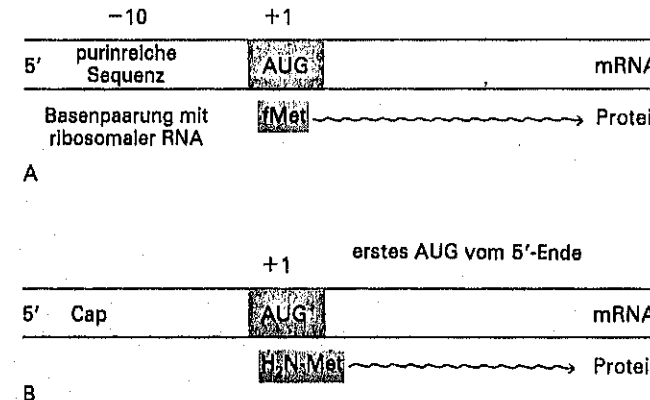


Abb. 11.17 Der schrittweise Aufbau des Initiations-Komplexes. Nach Bindung von TFIID an die TATA-Box und Stabilisierung durch TFIIB und TFIID, bindet die RNA-Polymerase II mit Hilfe von TFIIF an den Promotor. TFIIF-E, -H und -J vervollständigen den Initiations-Komplex. Beachte die Bindung der carboxyterminalen Wiederholungs-Domäne (CTD) der RNA-Polymerase II an den Faktor TFIID, bzw. dessen zentralen Baustein TBP



* L7 = N-acetyliert L12
L8 = [L7/L12]₄ L10
L26 = S20

Abb. 3.22 Bestandteile von bakteriellen Ribosomen. In Lösungen mit niedrigen Magnesium-Salzkonzentrationen zerfällt das Ribosom in seine Untereinheiten. Unter denaturierenden Bedingungen lässt sich dann jede Untereinheit in die Bestandteile, rRNA und Proteine, zerlegen. Unter geeigneten Bedingungen können sich die getrennten Bestandteile wieder zum intakten Ribosom zusammenfügen (Rekonstitution) [nach 25].



5.17 Startsignale für die Initiation der Proteinsynthese in Prokaryoten (A) und in Eukaryoten (B). In eukaryotischen mRNAs enthält das als Cap („Kappe“) bezeichnete 5'-Ende modifizierte Basen (Kapitel 29).

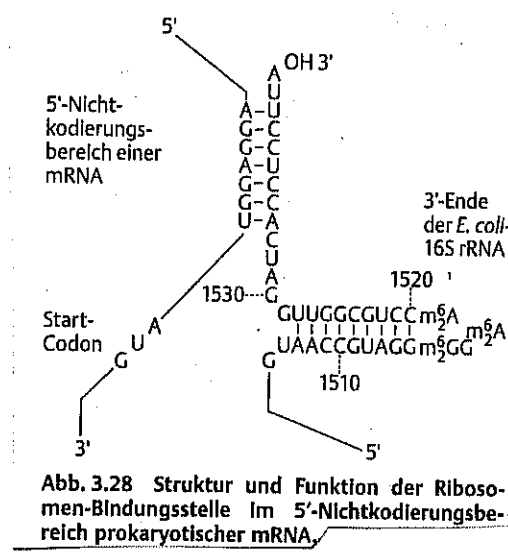
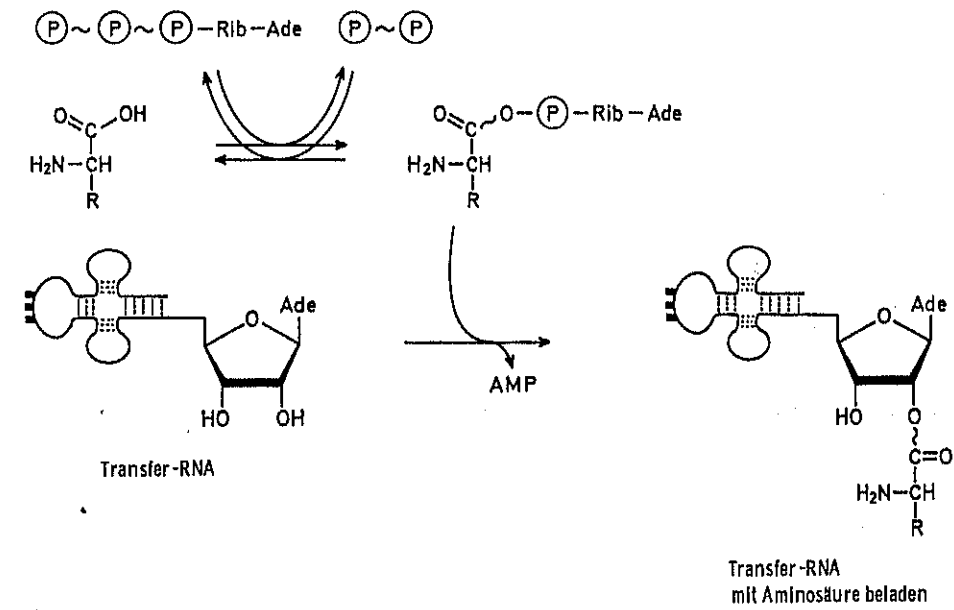


Abb. 3.28 Struktur und Funktion der Ribosomen-Bindungsstelle im 5'-Nichtkodierungs-bereich prokaryotischer mRNA.

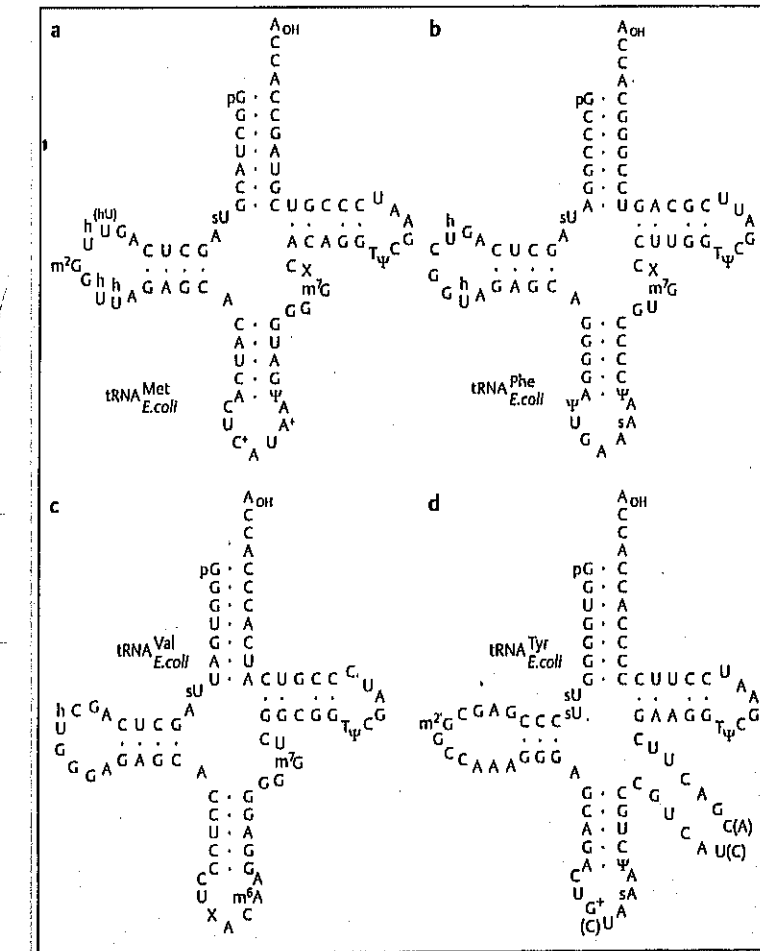


Abb. 3.13 Sekundärstruktur von tRNAs.

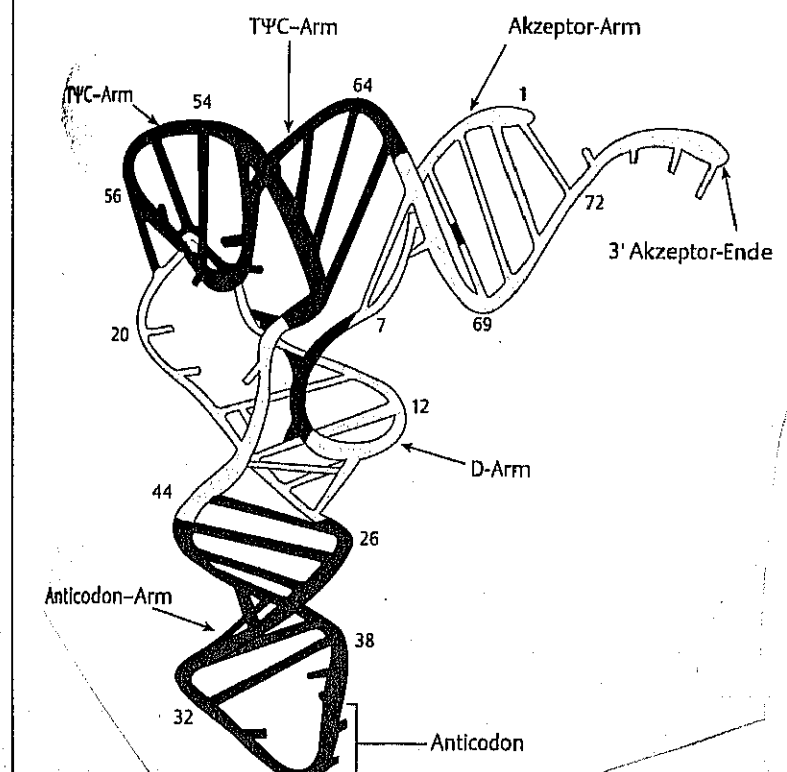


Abb. 3.16 Dreidimensionale Struktur einer tRNA. Ein allgemeines Bild der Struktur mit dem durchgehenden Phosphodiester-Band und den intramolekularen Basenpaaren [nach 19].

Tabelle 5.5: Der genetische Code

| erste Position (5'-Ende) | zweite Position | | | | dritte Position (3'-Ende) |
|-----------------------------|-----------------|-----|------|------|------------------------------|
| | U | C | A | G | |
| U | Phe | Ser | Tyr | Cys | U |
| | Phe | Ser | Tyr | Cys | C |
| | Leu | Ser | Stop | Stop | A |
| | Leu | Ser | Stop | Trp | G |
| C | Leu | Pro | His | Arg | U |
| | Leu | Pro | His | Arg | C |
| | Leu | Pro | Gln | Arg | A |
| | Leu | Pro | Gln | Arg | G |
| A | Ile | Thr | Asn | Ser | U |
| | Ile | Thr | Asn | Ser | C |
| | Ile | Thr | Lys | Arg | A |
| | Met | Thr | Lys | Arg | G |
| G | Val | Ala | Asp | Gly | U |
| | Val | Ala | Asp | Gly | C |
| | Val | Ala | Glu | Gly | A |
| | Val | Ala | Glu | Gly | G |

Tabelle 5.6: Besondere Codons
in den Mitochondrien des Menschen

| Codon: | Standard- code | mitochondrialer Code |
|--------|-------------------|-------------------------|
| UGA | Stop | Trp |
| UGG | Trp | Trp |
| AUA | Ile | Met |
| AUG | Met | Met |
| AGA | Arg | Stop |
| AGG | Arg | Stop |

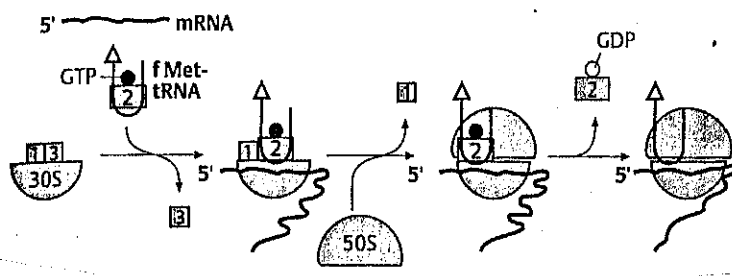


Abb. 3.27 Bildung des Initiations-Komplexes.
Die Quadrate kennzeichnen die Initiations-faktoren.
IF2 trägt GTP (als Punkt gekennzeichnet). Nach Bindung der 50S-Untereinheit wird IF2 abgelöst und GTP in GDP und anorganisches Phosphat gespalten.

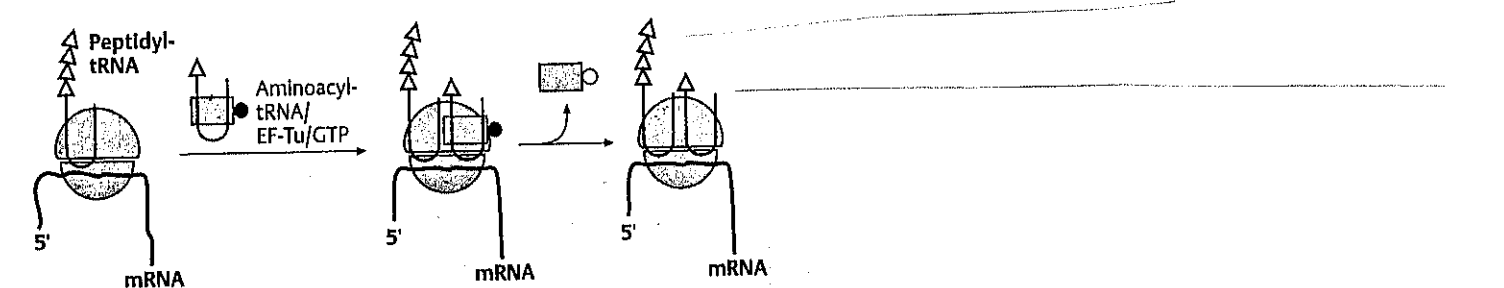


Abb. 3.29 Kettenverlängerung. Bindung von Aminoacyl-tRNA, Peptidyl-Transferase-Reaktion, Translokation. blaue Dreiecke: Aminoacyl-Reste; geschlossene Punkte: GTP; offene Punkte: GDP.

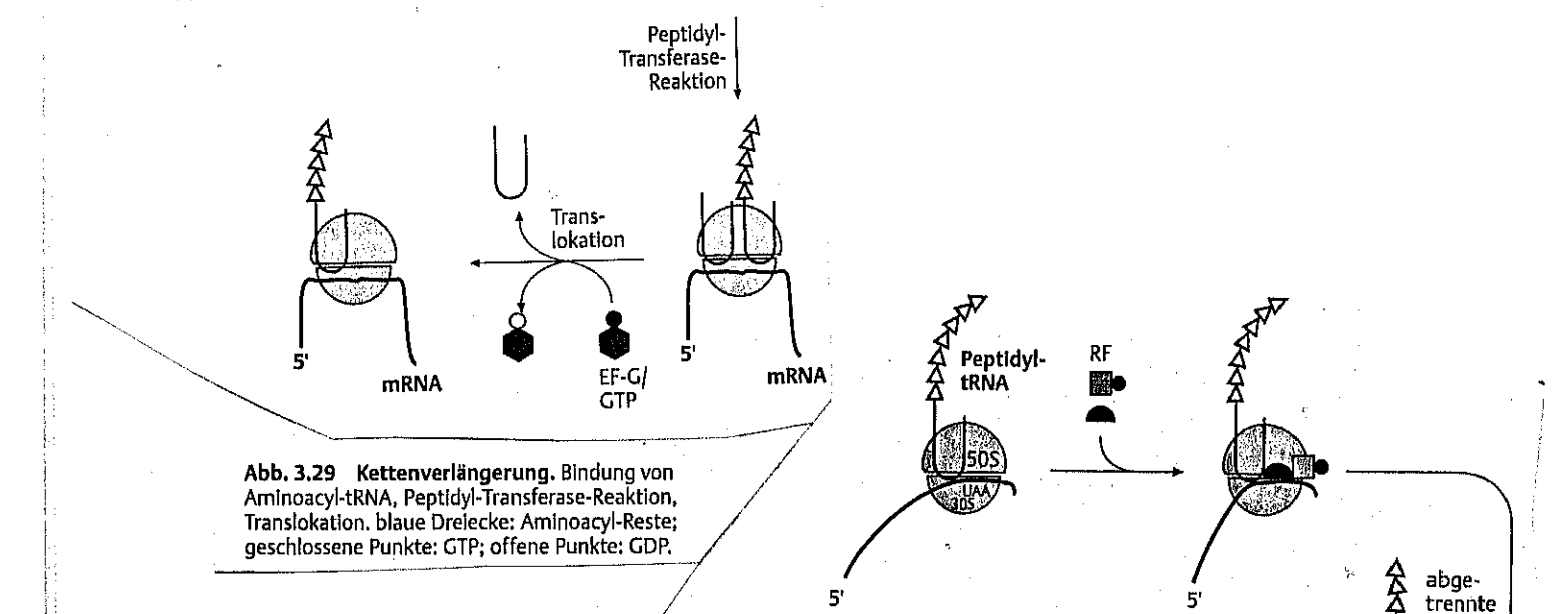
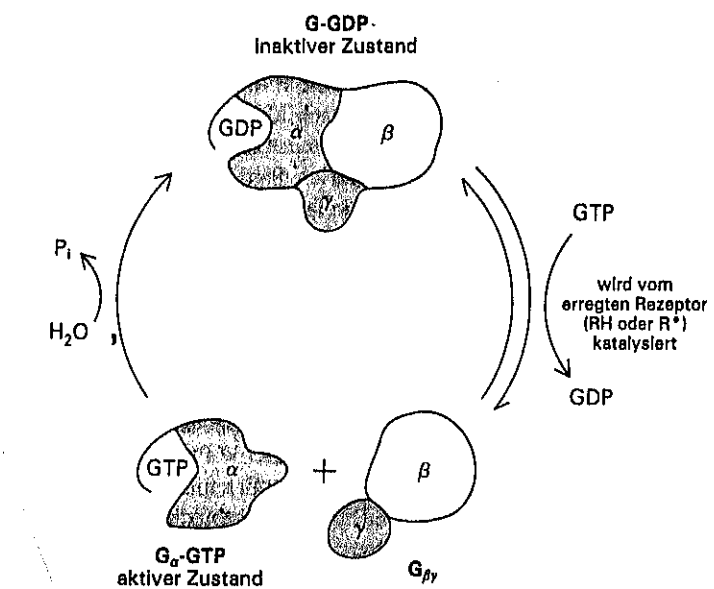
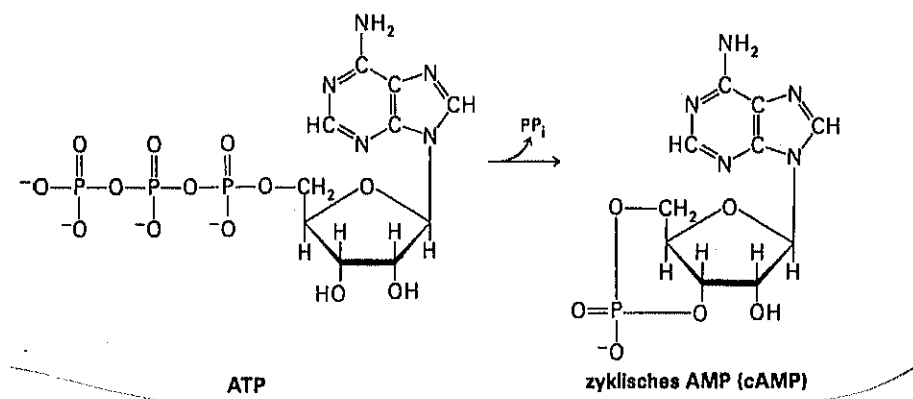
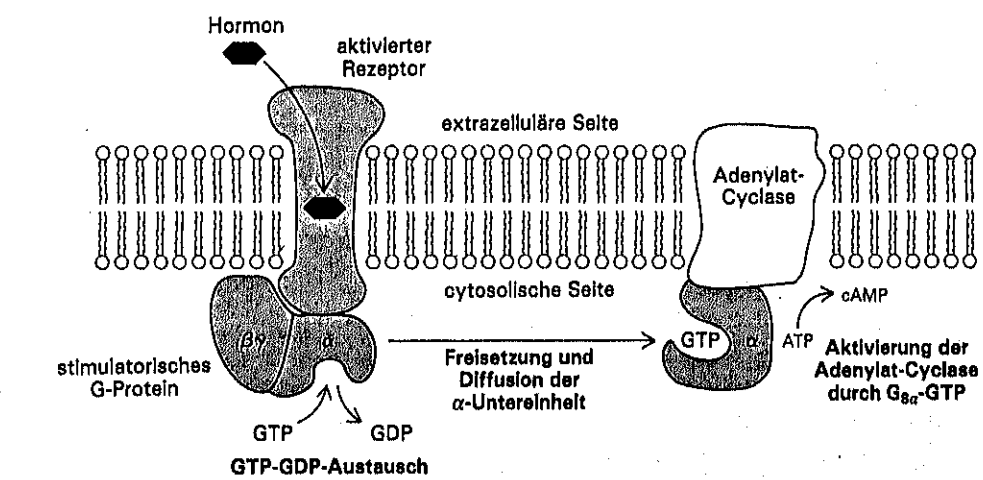
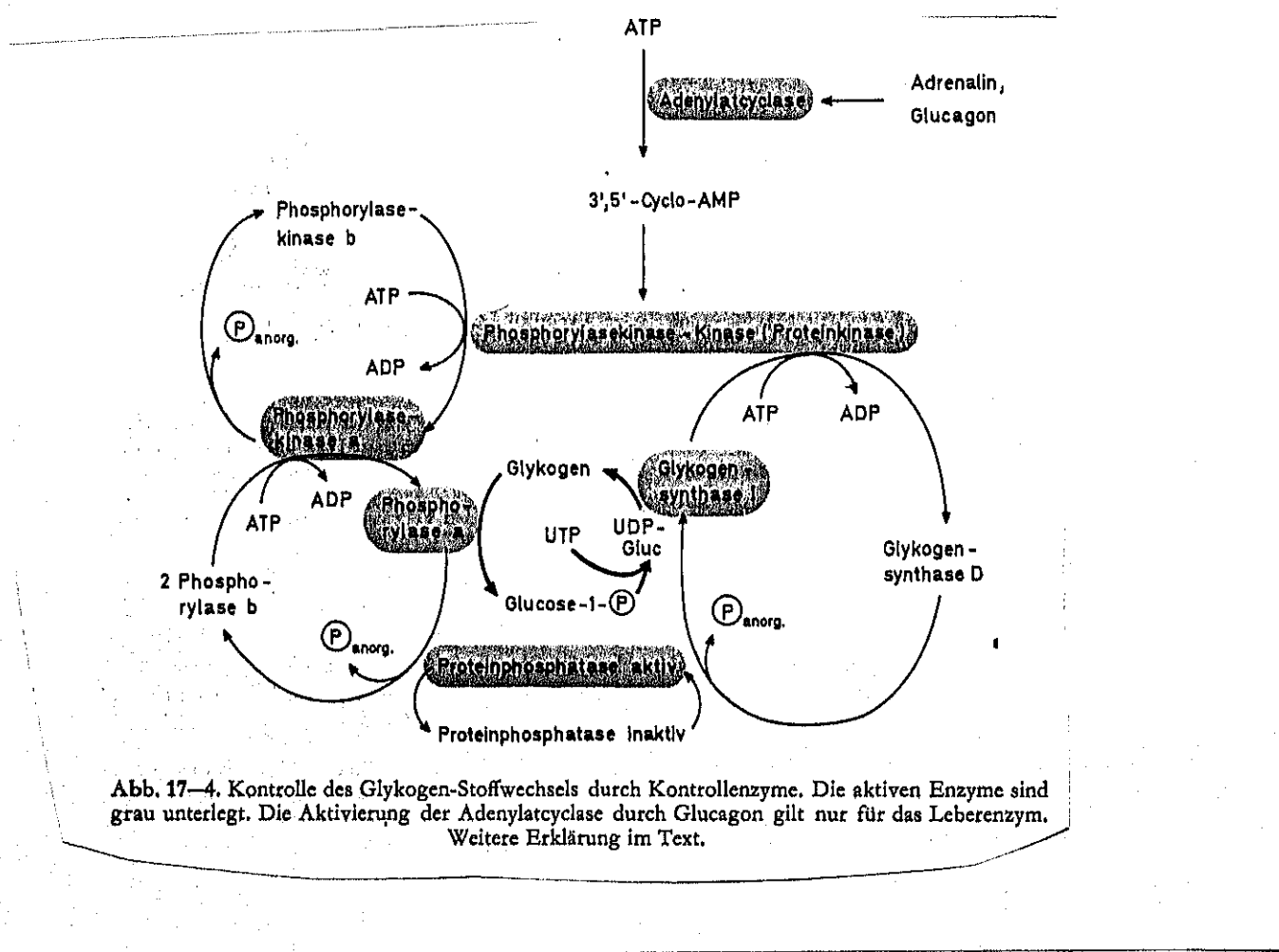


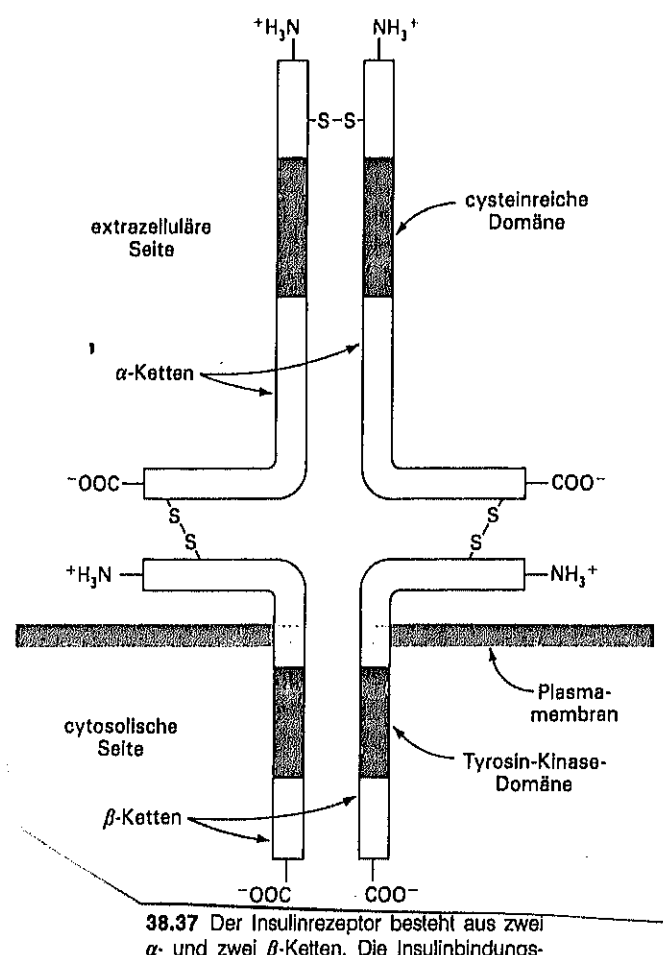
Abb. 3.32 Termination der Protein-Synthese.



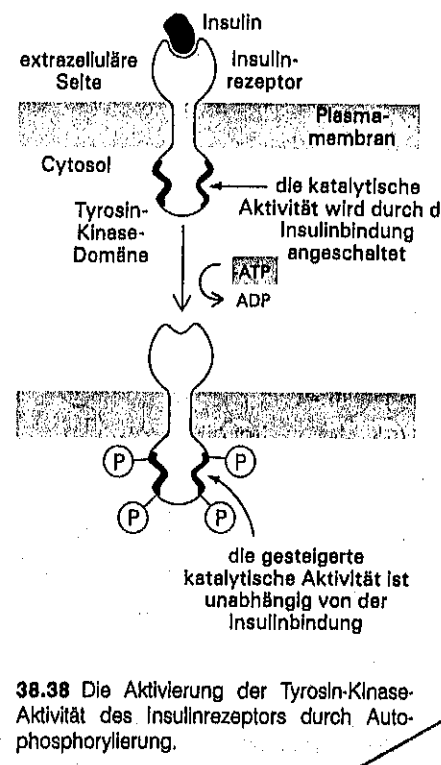
38.5 G-Proteine können eine inaktive GDP-Form und eine aktive GTP-Form annehmen. Der Austausch von gebundemem GDP gegen GTP wird vom Hormon-Rezeptor-Komplex katalysiert. G α -GTP aktiviert das Effektorprotein. Die Hydrolyse des gebundenen GTP stellt den inaktiven Zustand des G-Proteins wieder her. Der Zyklus wird vom Phosphorylpotential des GTP betrieben.



38.6 Die Aktivierung der Adenylat-Cyclase durch Bindung eines Hormons an seinen spezifischen Rezeptor wird von G $_s$, dem stimulatorischen G-Protein, vermittelt. Ein einziger Hormon-Rezeptor-Komplex katalysiert die Bildung vieler G $_s$ -Moleküle. Die Hydrolyse des an die α -Untereinheit von G $_s$ gebundenen GTP beendet die Aktivierung der Adenylat-Cyclase.



38.37 Der Insulinrezeptor besteht aus zwei α - und zwei β -Ketten. Die Insulinbindungsstellen befinden sich auf der extrazellulären Seite der Plasmamembran, die Tyrosin-Kinase-Domänen auf der cytosolischen Seite.



38.38 Die Aktivierung der Tyrosin-Kinase-Aktivität des Insulinrezeptors durch Auto-phosphorylierung.

